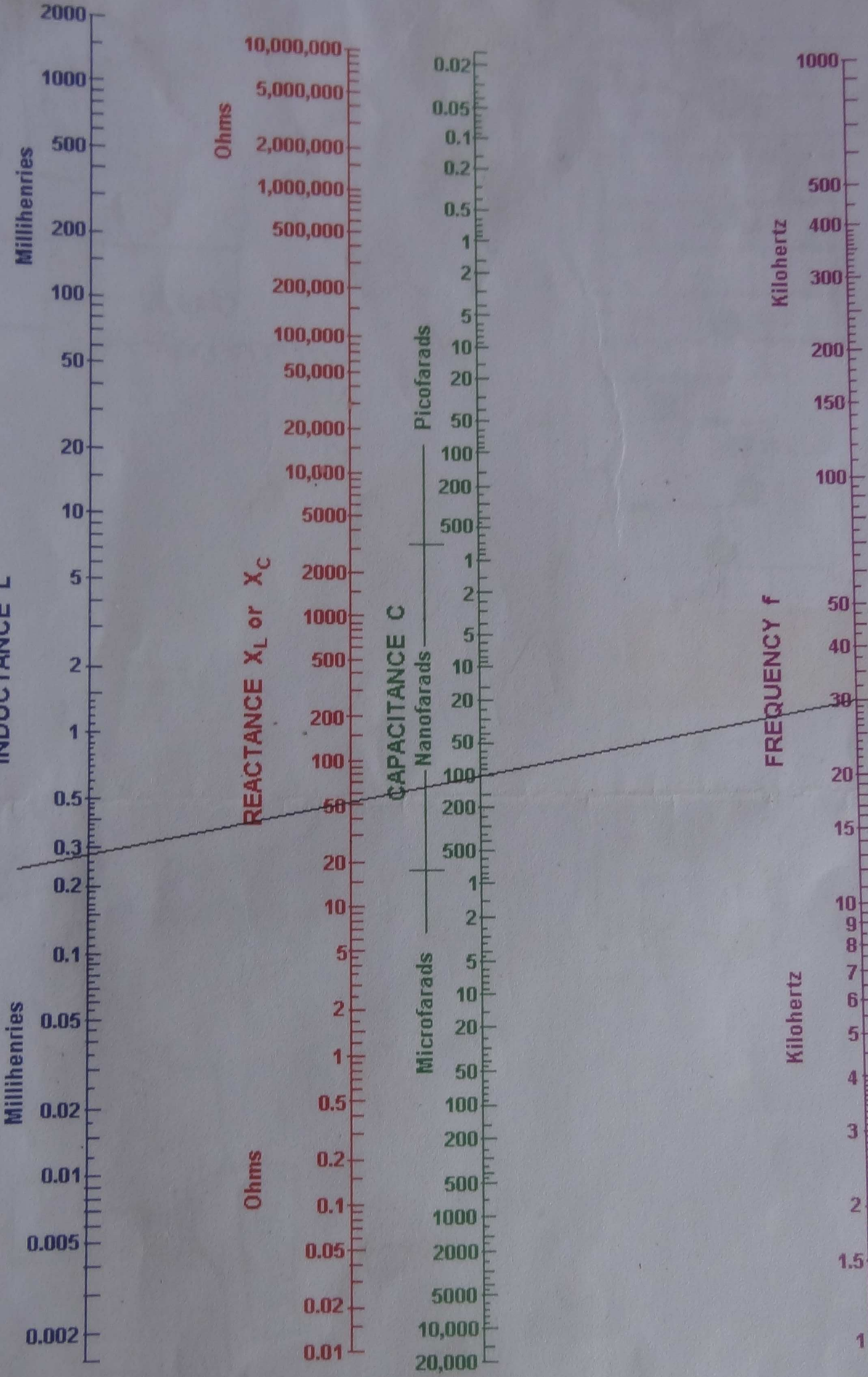

Don. Schmitt.

31/01/2012

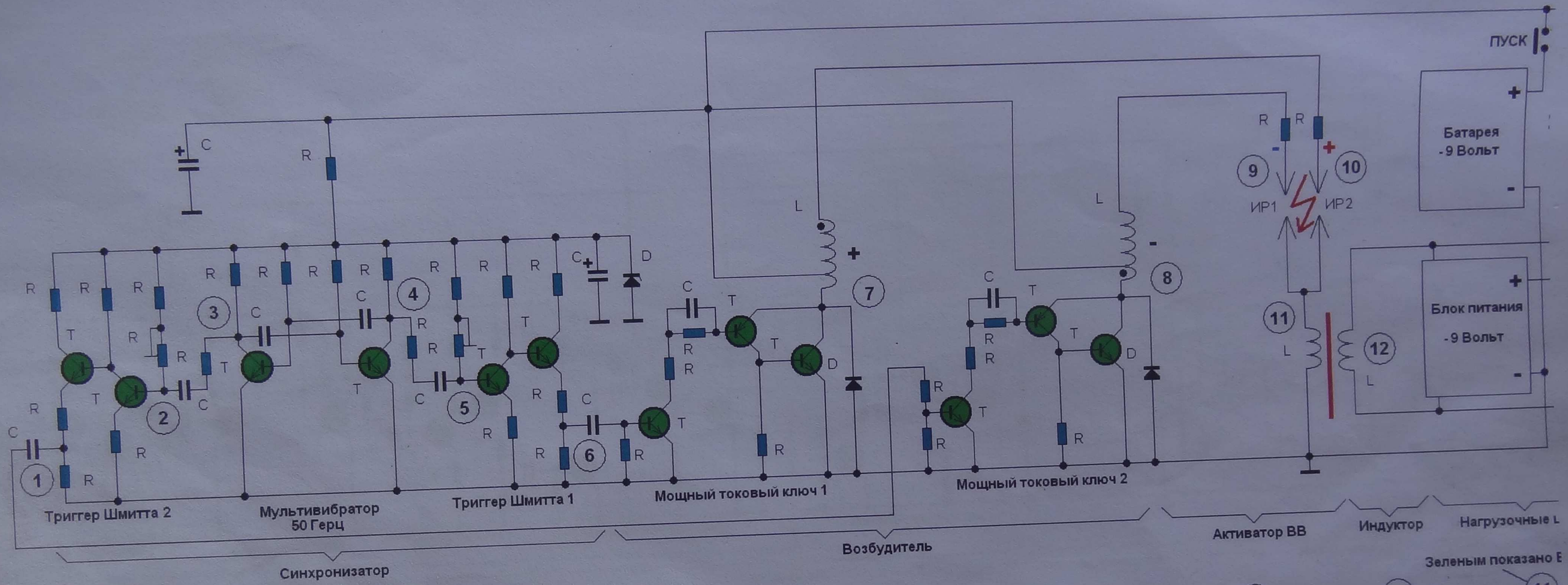

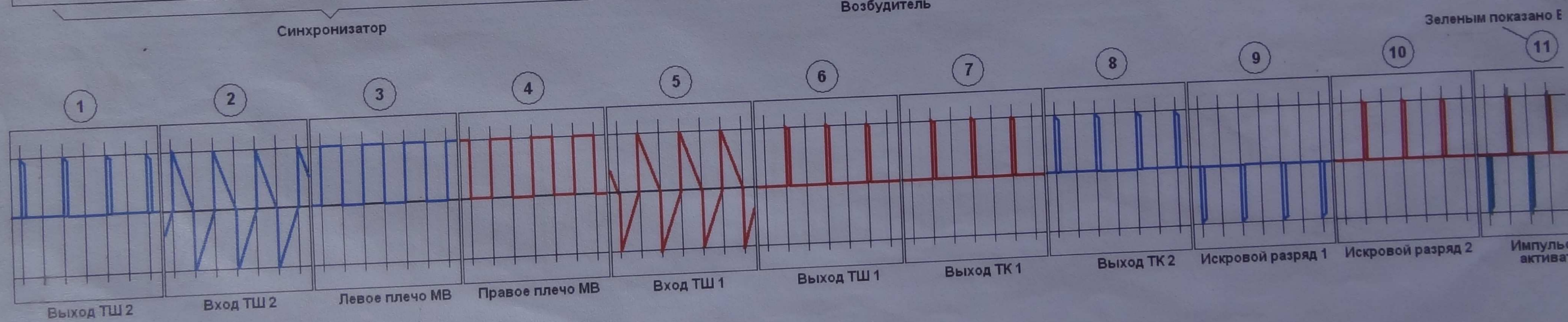

10/08/2011

file://C:\Users\Dominique\Pictures\pic01.gif

DC to AC Inverter with the 555

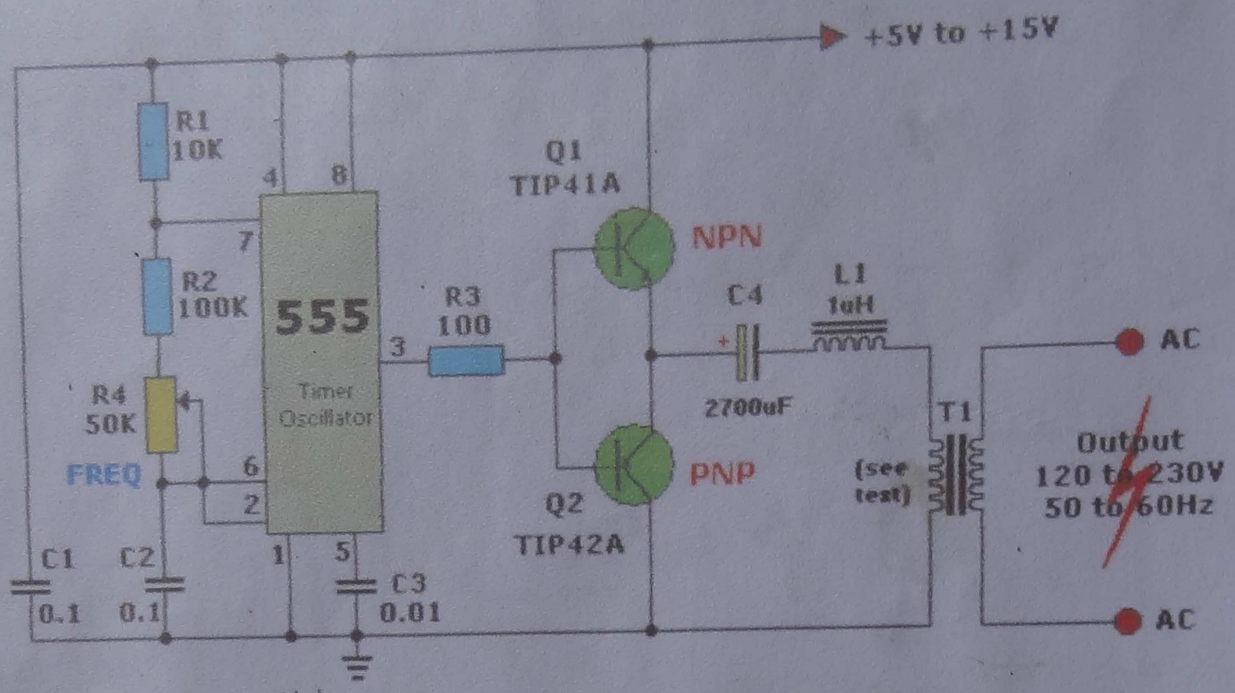

TIP-42A / 41A-C		TIP-3055
VCB 60V	100	100V
VCE 60V	100	70V
VEB 5V	5V	7V
Ic Max 6A	6A	15A
HFE 15/45	15/75	20/70
Ic pour HFE 3A	3A	4A

C1 : Iel 8038

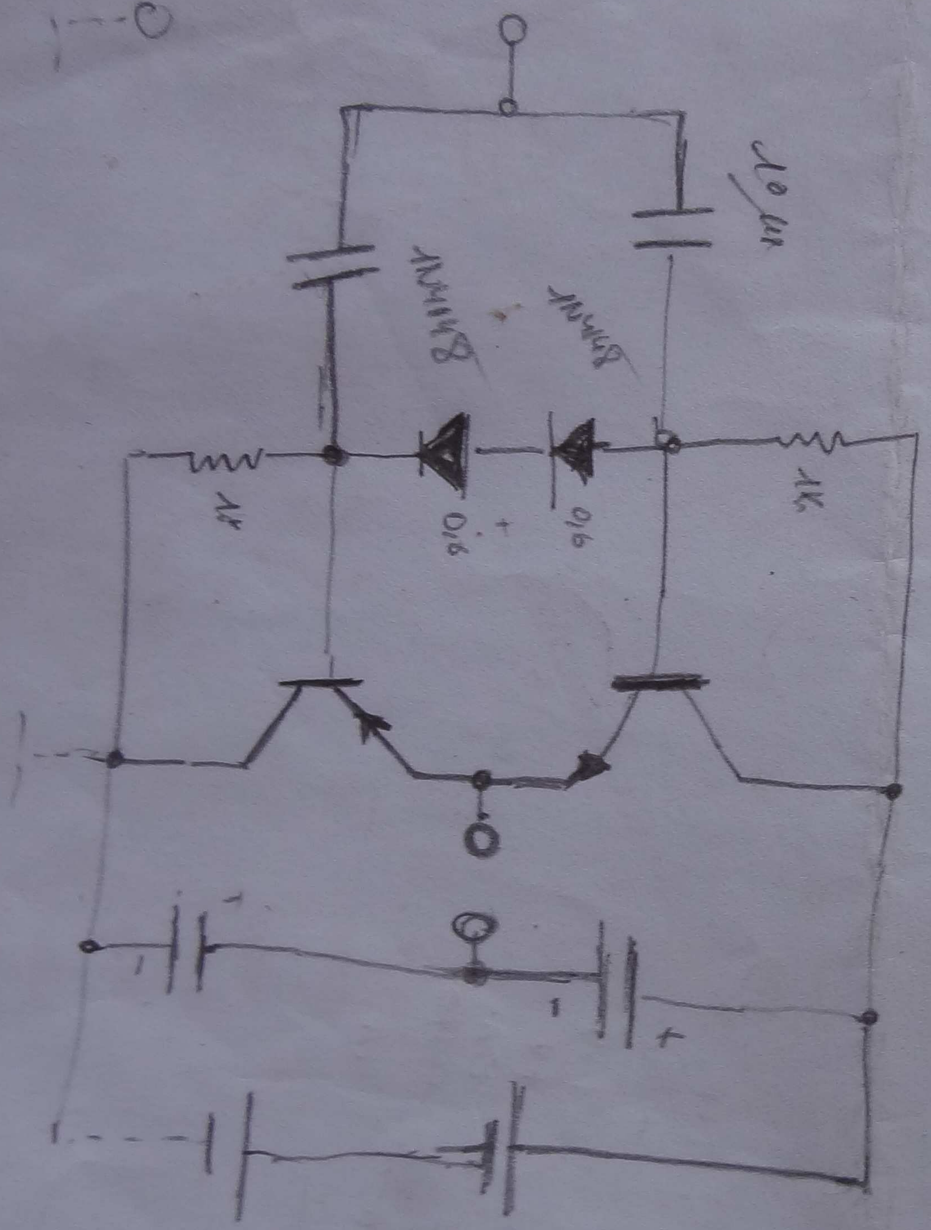
1K
0.6
0.6
1K

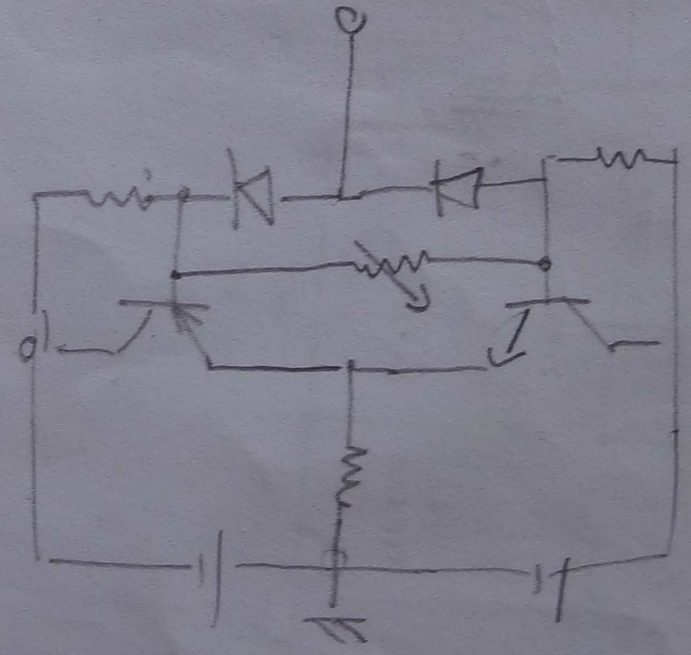

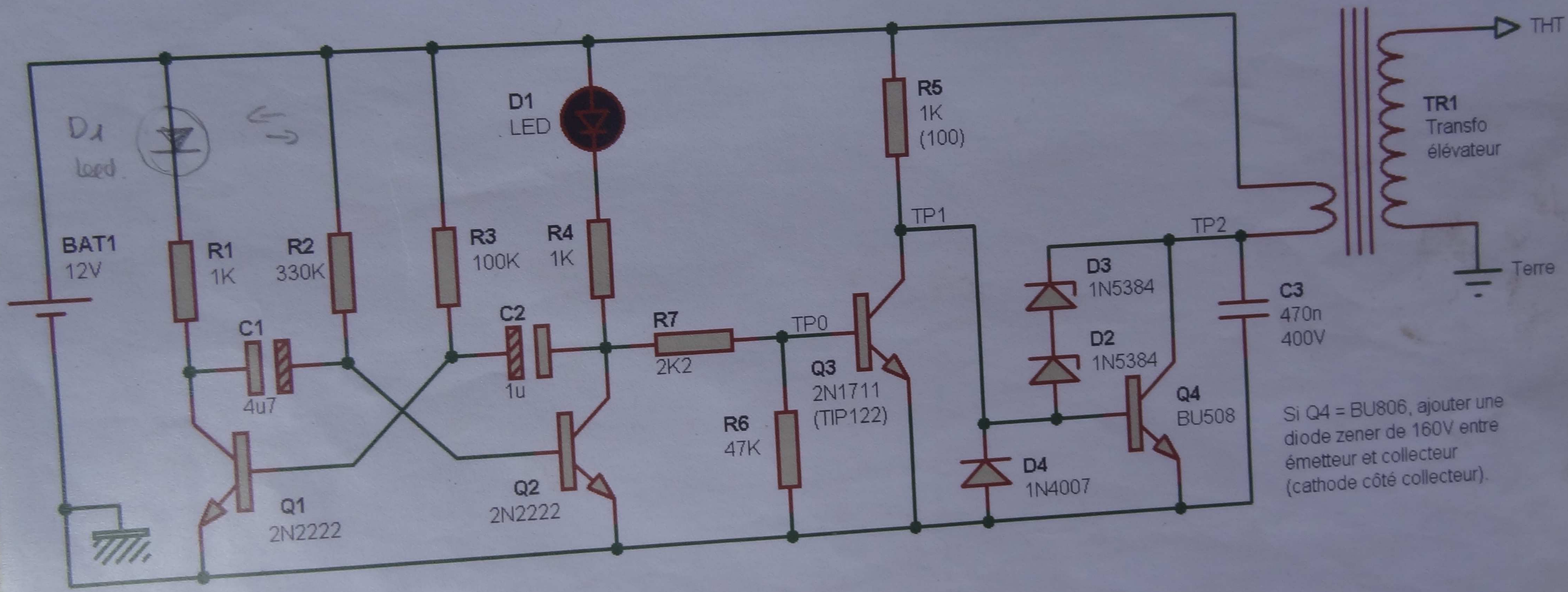
D1
Led
BAT1
12V
R1
1K
R2
330K
C1
4u7
Q1
2N2222
D1
LED
R3
100K
R4
1K
C2
1u
Q2
2N2222
R7
2K2
TP0
R6
47K
Q3
2N1711
(TIP122)
R5
1K
(100)
TP1
TP2
D3
1N5384
D2
1N5384
D4
1N4007
Q4
BU508
C3
470n
400V
TR1
Transfo
élévateur
THT
Terre
Si Q4 = BU806, ajouter une diode zener de 160V entre émetteur et collecteur (cathode côté collecteur).

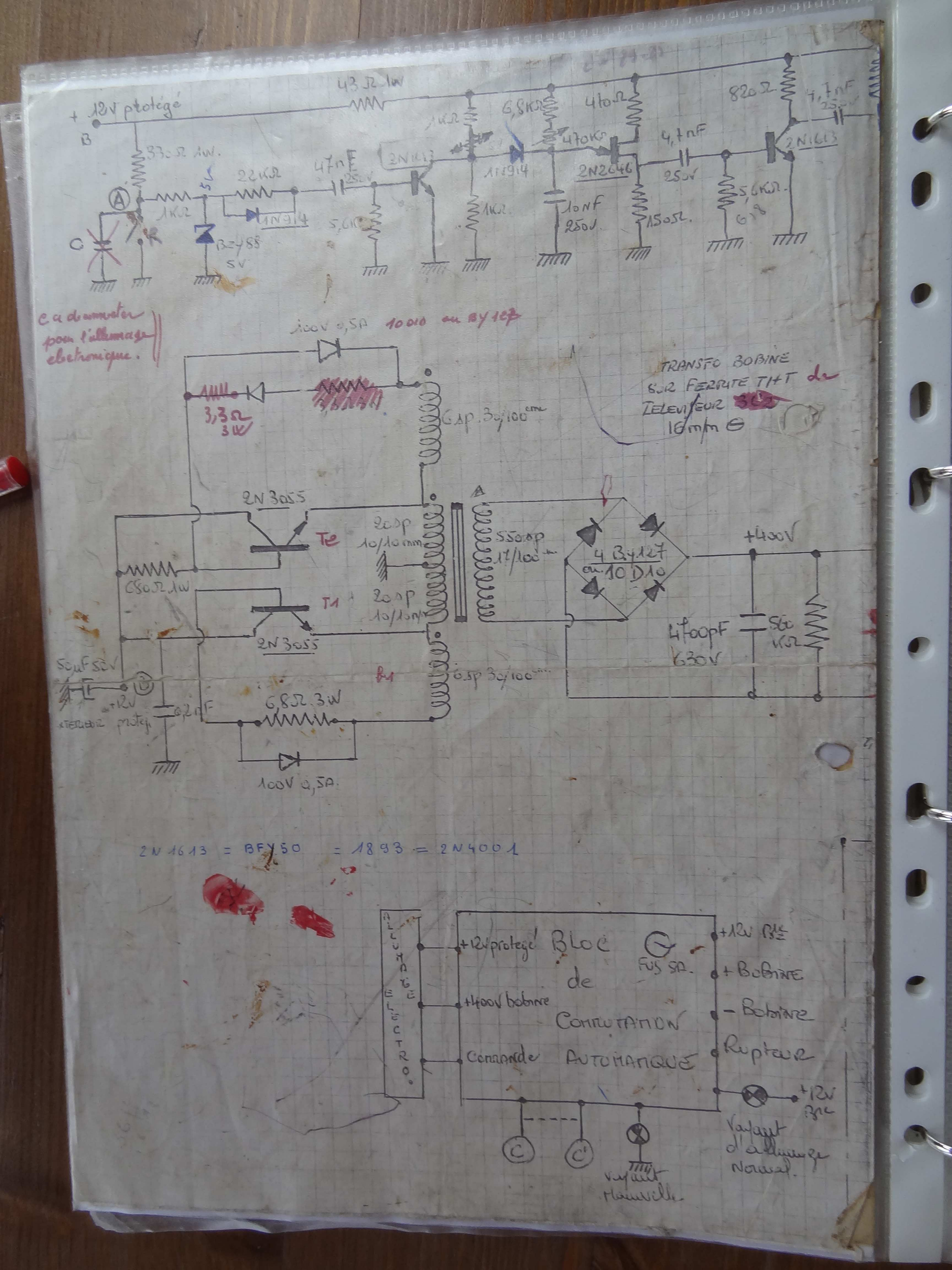
+ 12V protégé
B
43 Ω 1W
330 Ω 1W
1KΩ
22KΩ
47nF
250V
5V
1N914
BZY88
5V
5,6KΩ
2N1613
1KΩ
6,8KΩ
470KΩ
1N914
10nF
250V
470Ω
2N2646
150Ω
4,7nF
250V
5,6KΩ
6,8
820Ω
4,7nF
2N1613
C
ca diminuer pour l'allumage électronique.
100V 0,5A
10010 ou BY127
3,3Ω
3W
6sp. 30/100cm
TRANSFO BOBINE SUR FERRITE T1+T de TELEVISEUR 16mm ⊖
2N3055
T2
20sp
10/10mm
550sp
17/100cm
4 BY127
ou 10 D10
+400V
680Ω 1W
T1
20sp
10/10mm
2N3055
4700pF
630V
560 KΩ
50µF 50V
+12V
protégé
0,2nF
6,8Ω 3W
6sp 30/100cm
100V 0,5A
2N1613 = BFY50 = 1893 = 2N4001
ALLUMAGE ELECTRO.
+12V protégé
+400V bobine
Commande
BLOC de COMMUTATION AUTOMATIQUE
FUS 5A.
+12V Bte
+ Bobine
- Bobine
Rupteur
+12V Bte
Voyant d'allumage Normal.
C
C'
Voyant Mauvaise

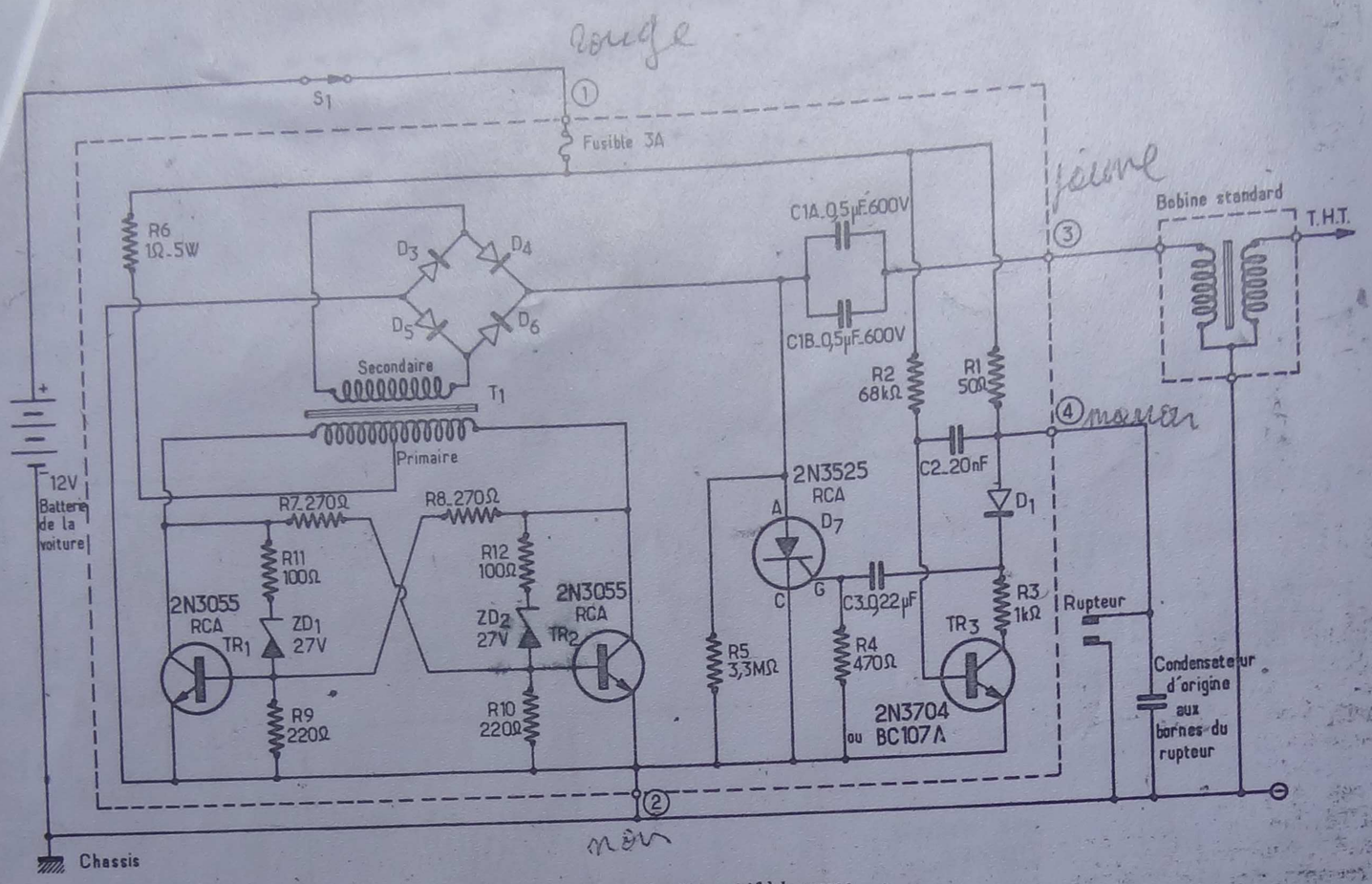

Fig. 6. — *Circuit avec le pôle positif à la masse*

masse, alors la base de TR_3 devient très négative et ce transistor se bloque.

Le condensateur C_3 n'a pas de circuit de décharge et garde donc sa charge. En conséquence, les amorçages intempestifs du thyristor ne peuvent se produire. Au moment de la fermeture du rupteur, pendant les 2 ou 3 micro-secondes qui suivent, il y a souvent amorçage d'oscillations parasites qui peuvent déclencher le thyristor. Dès maintenant, à la fermeture des électrodes du rupteur, le condensateur C_2 se décharge par la résistance R_2 et après 600 μs, la charge tombe à zéro et TR_3 est polarisé par R_2. Une fois passé à l'état conducteur, TR_3 fournit un circuit de décharge à C_3 via le collecteur de ce transistor et les résistances R_3 et R_4 ; C_3 se décharge très rapidement avec une constante de temps de 35 μs. En fin de ce cycle, C_2 et C_3 sont, une fois de plus, complètement déchargées et le thyristor est prêt à être réamorcé.

En résumé, le thyristor est amorcé dès l'ouverture des contacts, mais ne peut bouger de cet état jusqu'à la réouverture des contacts ceux-ci ayant été formés pendant 600 μs. Le thyristor est alors immunisé, contre tout amorçage parasite comme il est expliqué plus haut.

La version « plus à la masse » courante avec certaines voitures anglaises est donnée figure 6. Elle est identique à celle employée avec le « moins à la masse » à quelques particularités près. Le transistor TR_3 du circuit anti déclenchement parasite et metteur en forme des impulsions est un PNP/2N3702. Le thyristor est amorcé par une impulsion négative appliquée à la cathode via D_2 au lieu d'être amorcé par un impulsion positive sur la gâchette.

Le problème le plus important à résoudre est la construction du transformateur du convertisseur. Celui-ci est d'un type extérieur identique à un transformateur de sortie pour ampli à tubes avec un circuit magnétique 50 × 60. Le rapport de transformation est de 15/1 et la puissance dissipable de 30 VA ou plus. L'enroulement basse-tension (primaire) est muni d'une prise médiane. La façon la plus simple d'avoir un transformateur T_1 adapté au montage étudié est de se procurer un transformateur basse tension du type chauffage filaments ou chargeur de batterie et de le rebobiner au primaire selon les indications suivantes :

Un rapport de transformation de 15/1 est exigé ainsi qu'une puissance supérieure ou égale à 30 VA. Un transformateur 240 V — 16 V est dans ce cas particulier. Si nous avons, par exemple, un transformateur de 240 V — 17 V, il faut d'abord le détôler en notant la position exacte des lames métalliques constituant le circuit magnétique. Puis on enlève l'enroulement proprement dit.

L'enroulement basse-tension étant toujours à l'extérieur, celui-ci est facile à débobiner en comptant soigneusement le nombre de spires. Diviser ce nombre de spires par la tension de sortie, de l'enroulement à l'origine. Nous obtenons le nombre de spires par volt. Si nous avons 134 spires et 17 V à l'origine, cela fait 7,9 spires par volt. Pour satisfaire le rapport de transformation (15/1) et l'obtention des 16 V, il faut n 16 × 7,9 pour donner 12 au lieu des 134 initialleme dant le rebobinage de l' ment basse tension, il ne oublier la prise médian 64 spires. Enfin remonter cuit magnétique du tran est alors prêt à l'emploi. maire du transformateur devient le secondaire du rebobiné.

Le constructeur et l'ass ne doivent pas poser de pr La figure 8 donne une l'assemblage interne du type. Les 2 transistors TR du type 2N3055 sont mo les bords du coffret ainsi thyristor SCR_1. Au mon ces éléments, ne pas ou feuille isolante de mica et versées de châssis en téflo considérons donc que le co fit comme radiateur.

Quand la construction plètement terminée, bran borne 2 à la masse et la au pôle positif (cas d'un e à pôle négatif à la masse devons entendre une indiquant le bon fonctio du convertisseur. La con tion doit être de l'ordre de Avec un contrôleur 20 0 nous mesurons 400 V entr et cathode du thyristor. Si préliminaires donnent tion, l'ensemble peut êtr sur la voiture. Il peut êt ché directement sur la d'allumage et le rupteur, m préférable d'employer un teur professionnel entre cuits et le dispositif d'allum tronique avec le pouvoir d

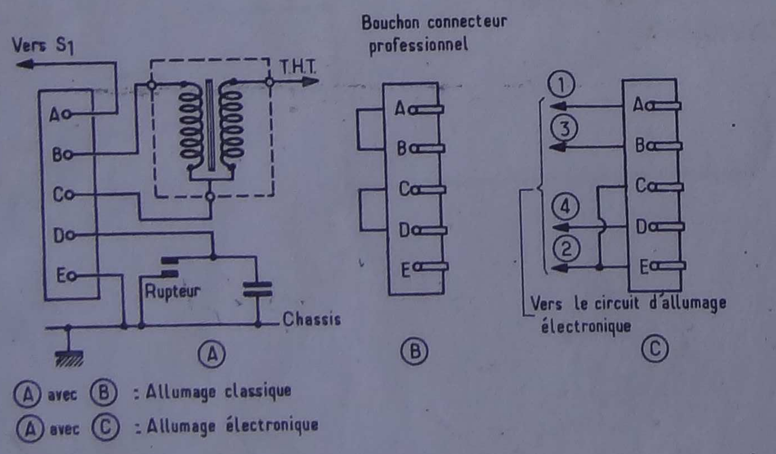

Fig. 7. — *Branchement d'un connecteur permettant le passage de l'allumage classique à l'allumage électronique et inversement*

Alim 10 volts et 12 V

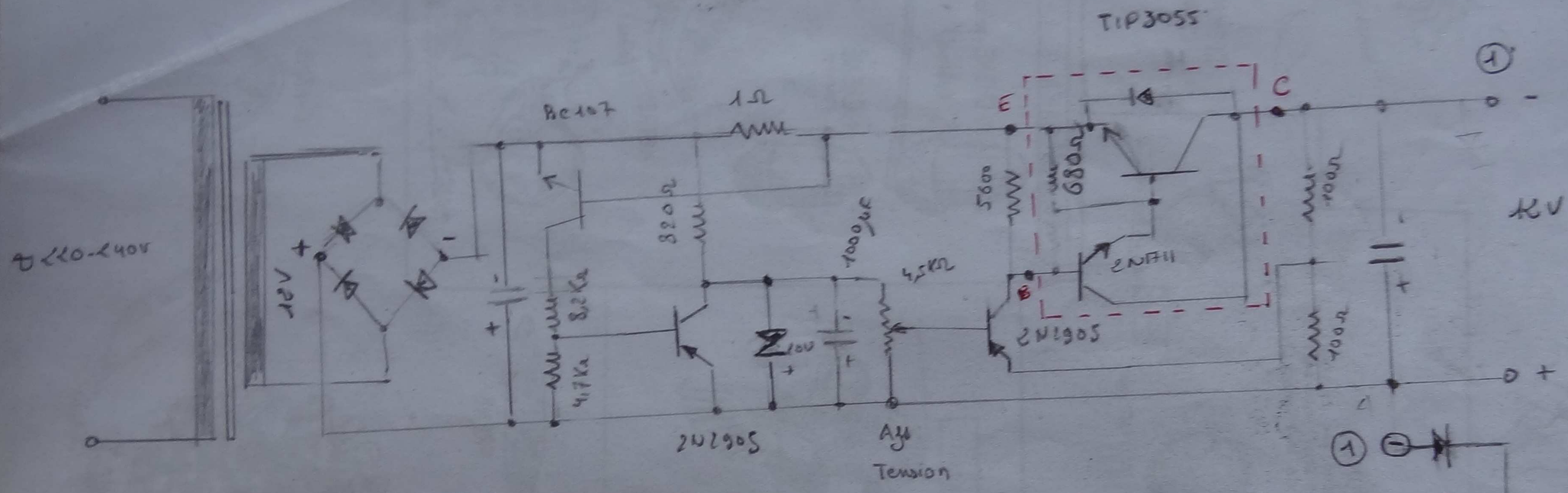

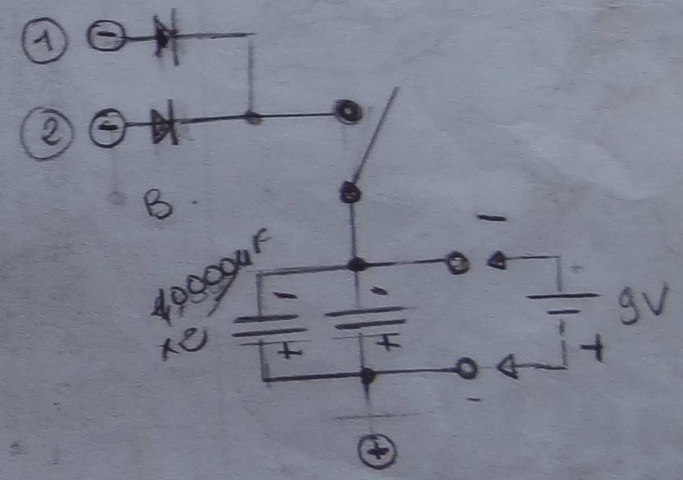

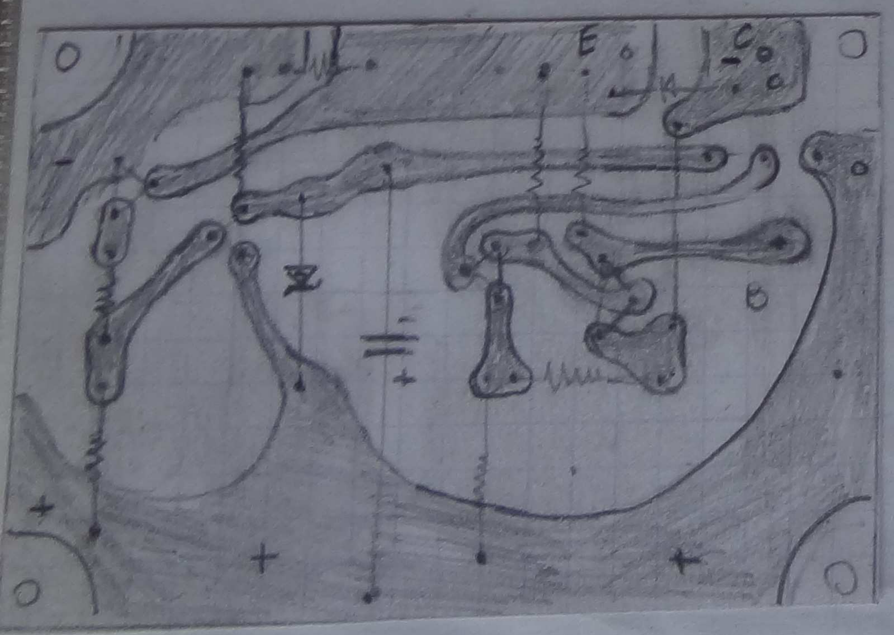

Page 1 fig 4

Roto Verter

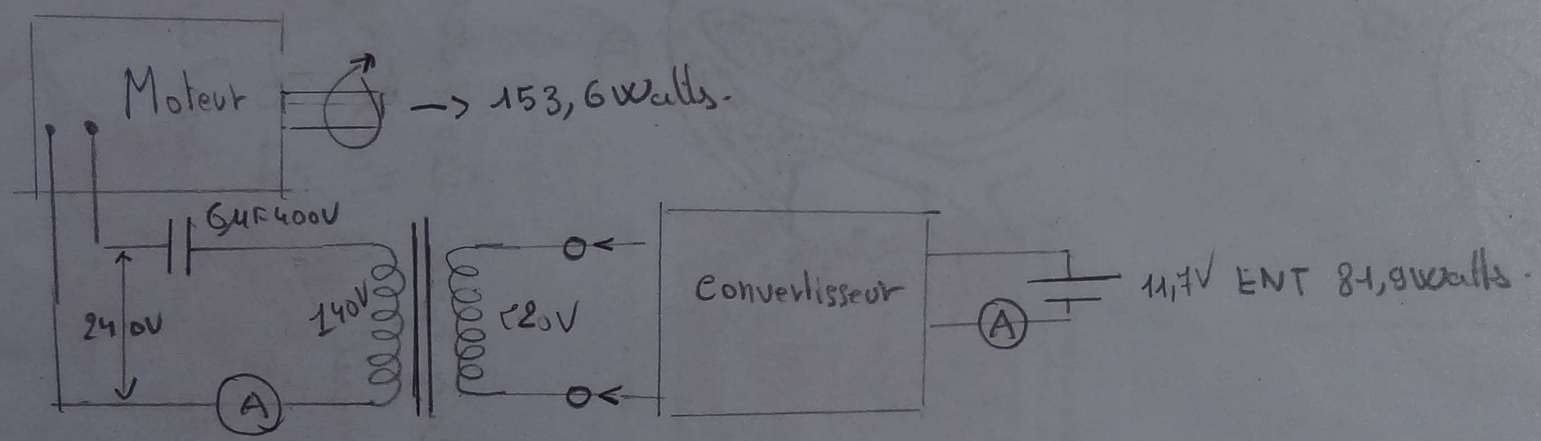

7A · 11,7V = 81,9 Wt

0,64A · 240V = 153,6 W.

153,6 / 81,9 = 1,87 = 187%

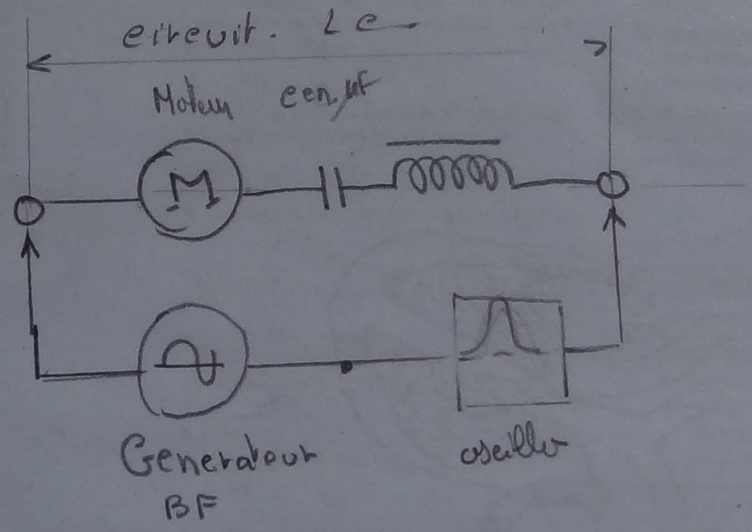

Roto Verter :

TESLA COIL

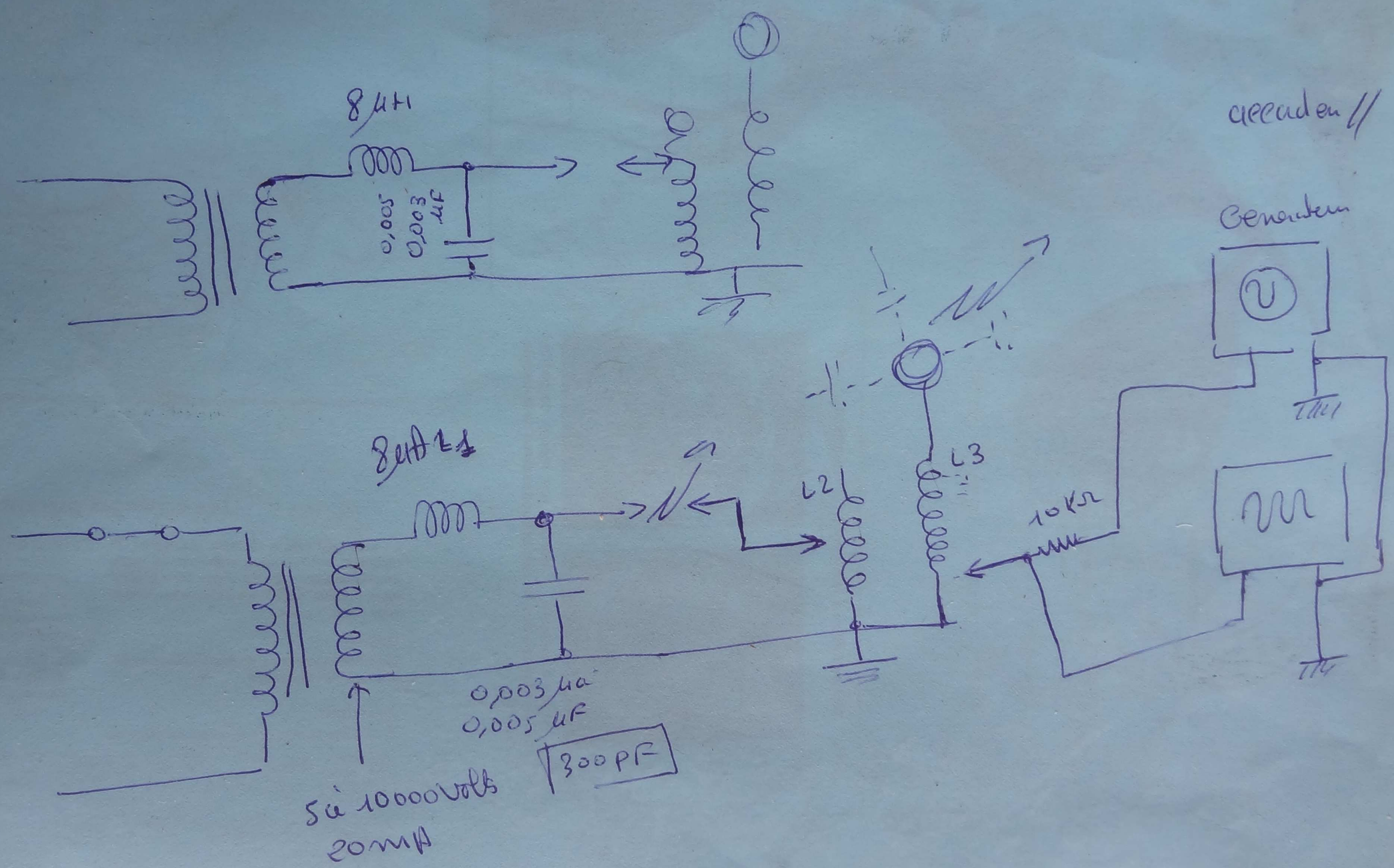

8 µH
0,005
0,003 µF
accaden //
Generatum
8 µH L1
L2
L3
10 KΩ
0,003 µa
0,005 µF
300 pF
5 à 10000 volts
20 mA

Tariel Kapanadze. "Boite Transparent" Full video.

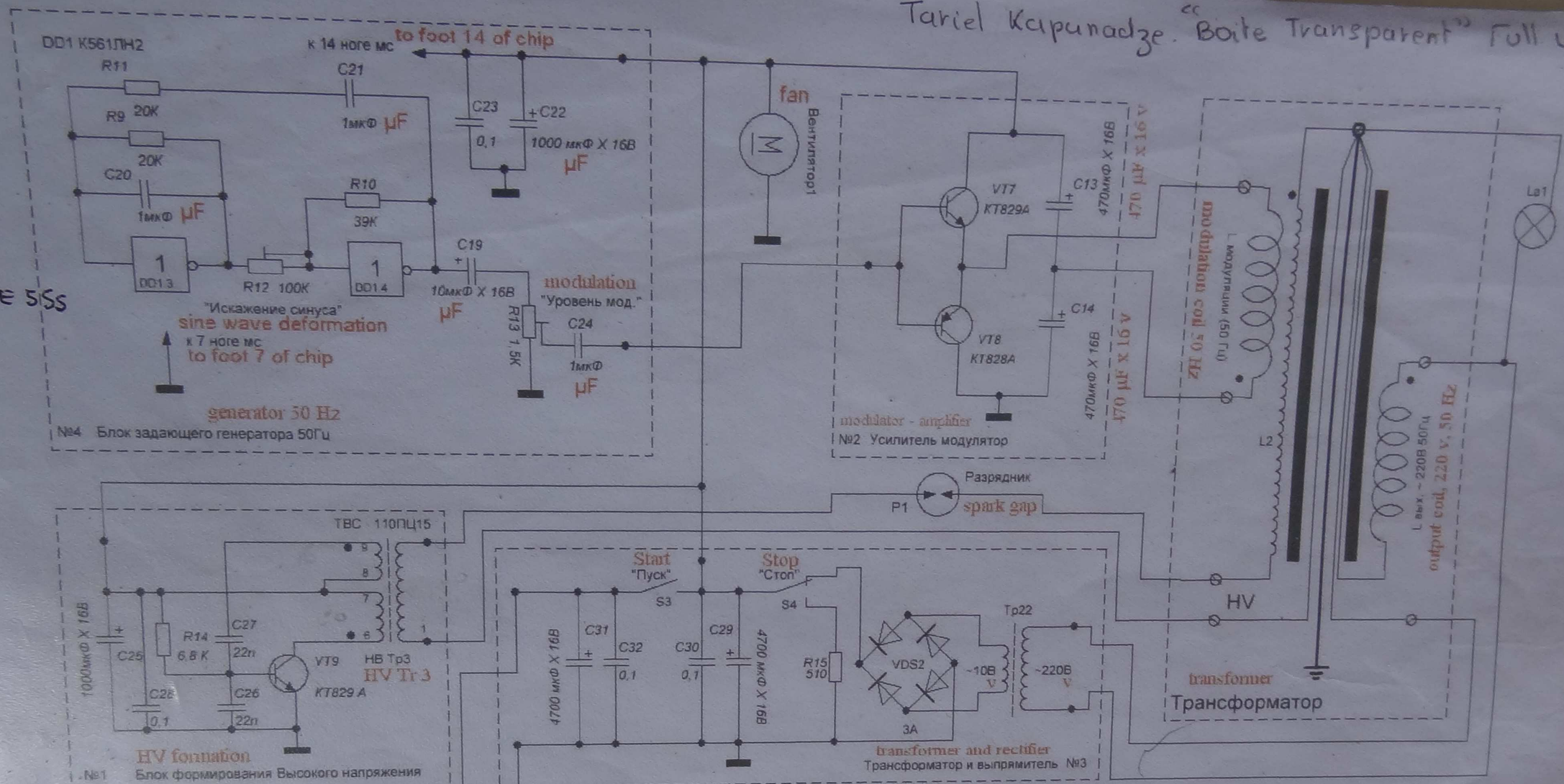

1. Сердечник набран из 20 штук ферромагнитных колец Ø 45 мм проницаемостью 2000 НМ.
   Катушки трансформатора намотаны на отрезок ПВХ трубы, внутренним Ø 46 мм. Длиной 140 мм.
2. Катушка НВ (L2) по всей длине сердечника. Хорошо изолирована.
3. Катушка модуляции (L модул. 50 Гц) двухслойная 38 витков. По 19 витков в слое.
   Занимает половину каркаса. Диаметр жилы провода 1 мм. Намотка монтажным силовым проводом в ПВХ (ПВ - 3х1)изоляции.
4. Катушка съёма (L вых. 220В 50Гц) - трёхслойная 48 витков. По 16 витков в слое.
   Занимает другую половину каркаса. Диаметр провода в зависимости от нужного тока в нагрузке.
   Количество витков определяет нужное напряжение. Намотка монтажным силовым проводом в ПВХ(ПВ - 3х1.5) изоляции.
5. Разрядник самодельный, из медного провода диаметром 3 мм.
6. Вентилятор компьютерный напряжением 12 вольт.
7. Радиаторы на ключах модулятора - алюминий.
8. Заземление выполнено силовым проводом в ПВХ(ПВ - 3х6) изоляции.

1. Core: pile of 20 ferrite rings OD 45 mm, μ=2000 = perméabilité de la ferrite (TX48x26x13 - 3c90) μ=2300.
   The coils wound on PVC tube ID 46 mm, length 140 mm
2. HV coil (L2) wound on total length of the core and perfectly insulated
3. Modulation coil (L, 50 Hz modulation) is two layers coil, 38 turns, 19 turns in each layer
4. Output coil (L out, 220 v, 50 Hz is three layers coil 48 turns, 16 turns in each layer
   It takes second half of carcass. The wire gauge depends on the current needed
   The number of turns determines the tension needed
5. Spark gap is home made from copper wire of 3 mm diameter
6. Fan is 12 v computer fan
7. Radiators are Aluminium
8. Ground made from PVC insulated heavy wire (3x6)

Sortie

fig 3 page 1

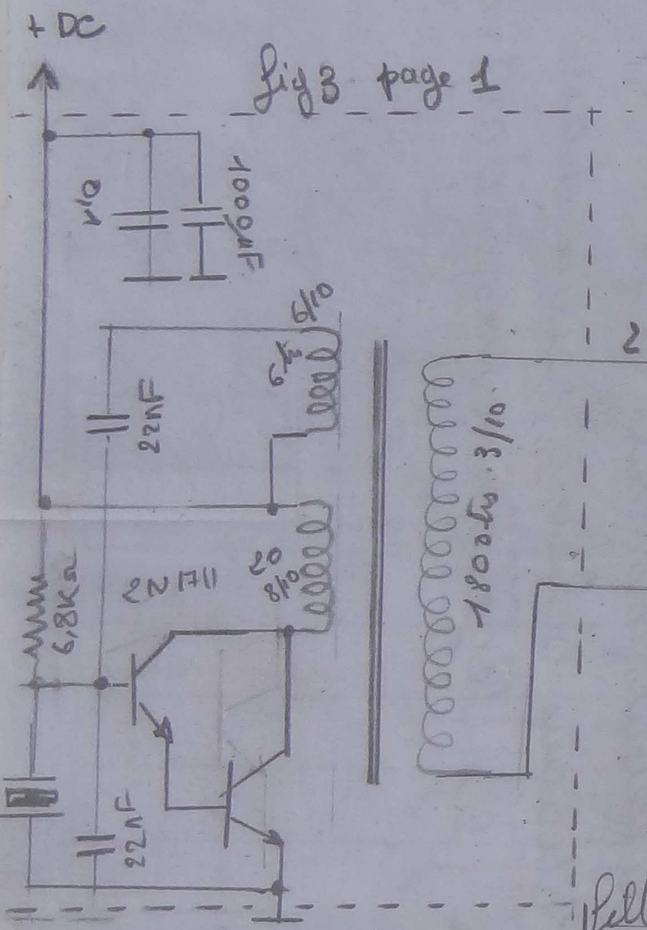

Oscillateur Haute Tension

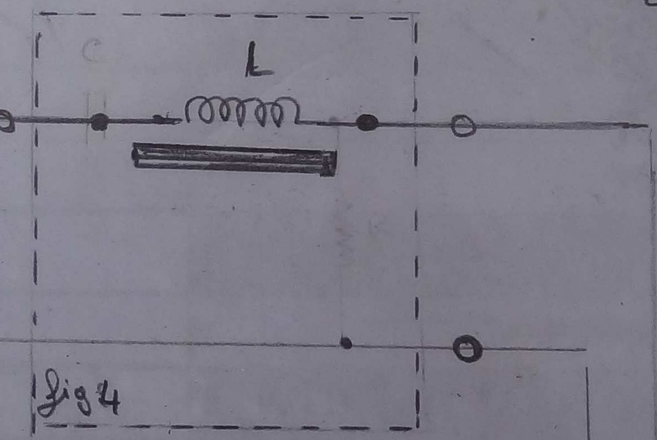

fig 4

Ajustage Fréquence 1

Selecteur de bande : Il ne laisse passer qu'une certaine bande de fréquence et atténue tout ce qui est au dessus ou en dessous. (pour isoler la fréquence que l'on veut garder)

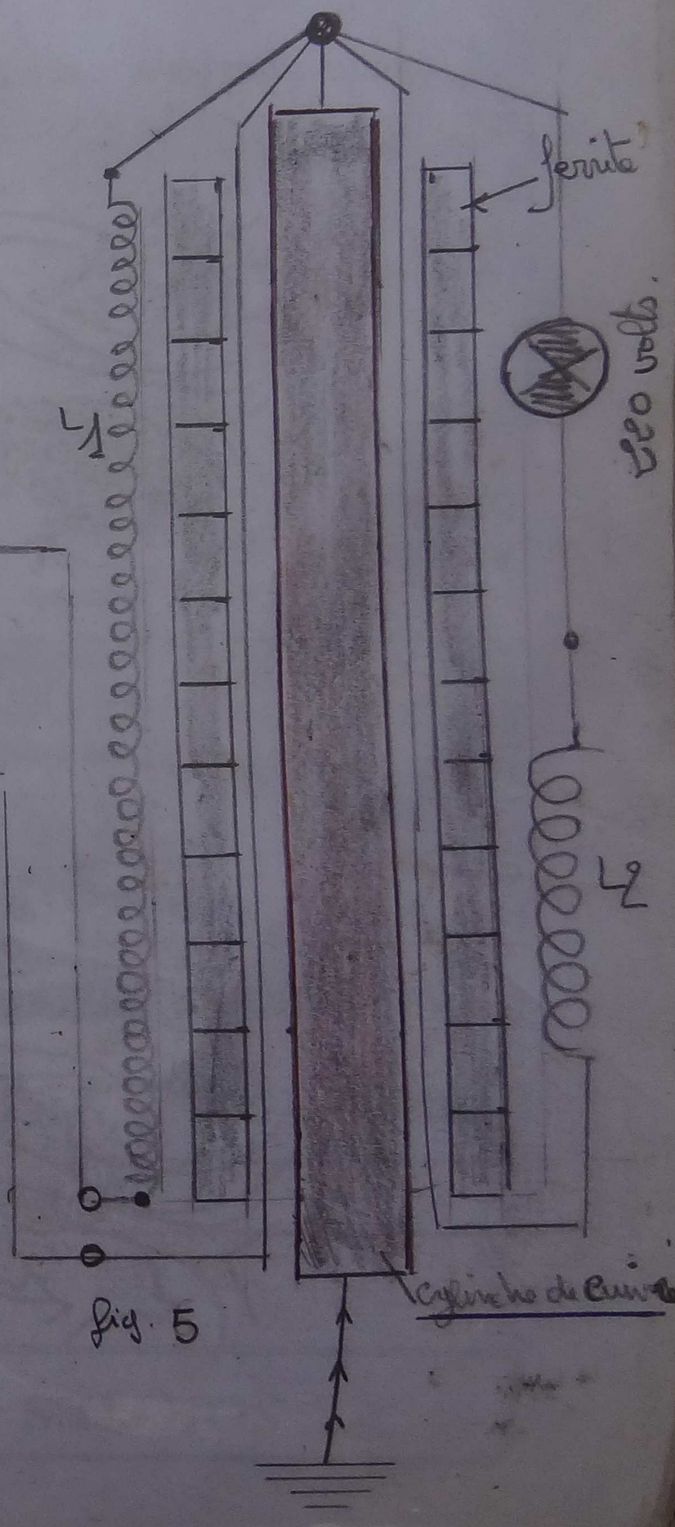

fig. 5

Calcul de la Bobine finale

OK

Calcul de la self en Nh.

Ferrite μ (permeabilité) : 2000

1 H | mH | μH | nH

le nH = 10^{-9}
μH = 10^{-6}
mH = 10^{-3}

$L(nH) = N^2 \times AL$ ~~L = 2000 μH~~ (valeur de la ferrite)

N^2 = nombre de tours au 2 $AL = \frac{L}{N^2}$

AL = Inductance spécifique de la ferrite (voir fabriquant) exprimée en nH ou pH

Bobine de KAPANADZ Valeur de la ferrite : 2000 μH = 2 mH

Valeur de la self : L1 (Kapanadze)

L1 = $50^2 \cdot 2$ mH 5000 mH

Valeur de la self ferrite Megatron

1 Tore = 9,014 nH

12 Tores = 12 × 9,014 nH = 108,168 nH = 108,168 μH

Valeur de la self

108,168 × 50^2 = 270420 μH = 270 mH au lieu de 5000 mH

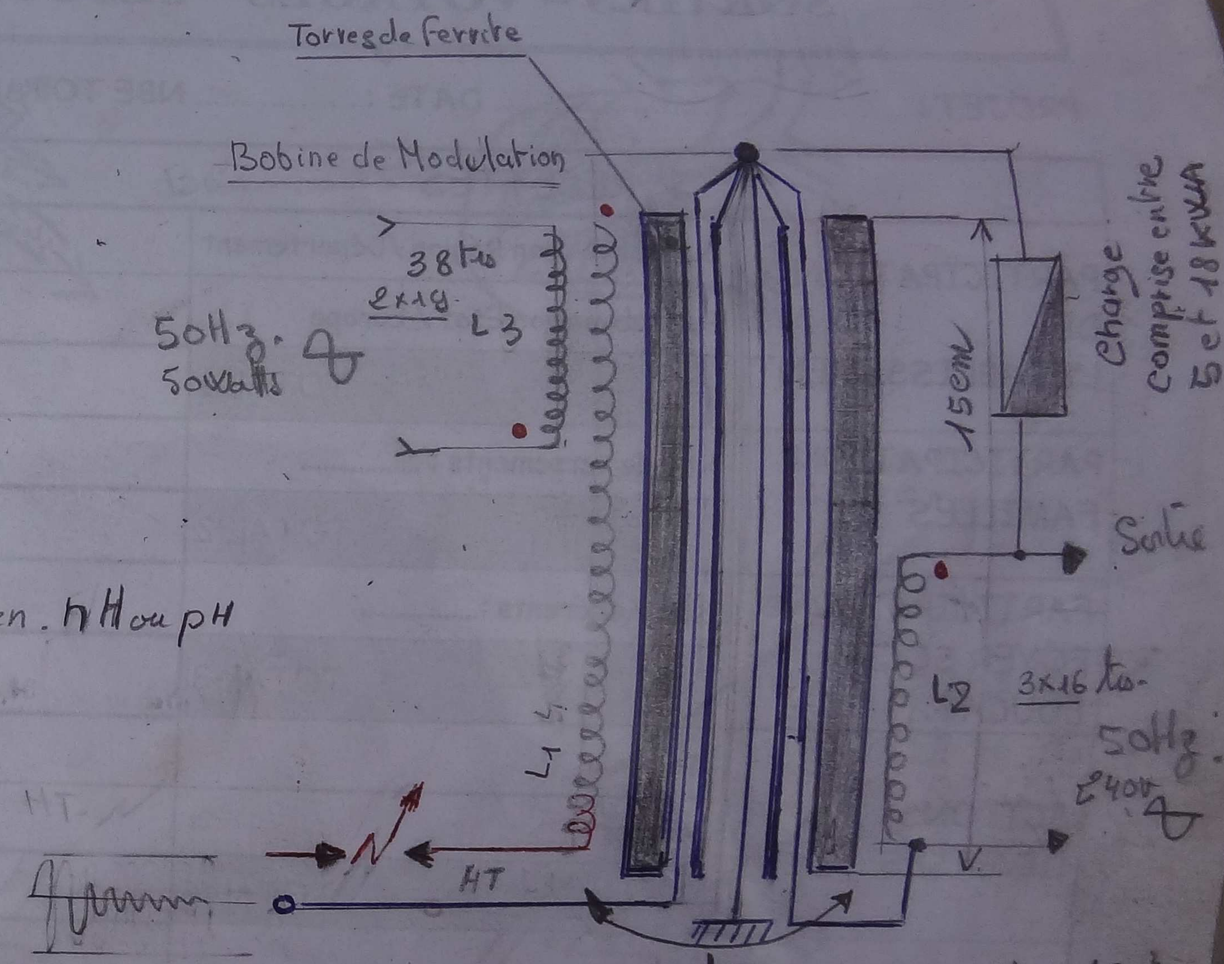

N. tours : L1 = 50 (1×50) 1,5 mm²
Sortie L2 48 (3×17+16+15) 2,5 mm²
Modulation L3 38 (2×19) 1,5 mm²

2000 μH
Torres dans PVC ⌀ 50

fig 5 - page 1

Oscillateur Haute Tension.

N°1

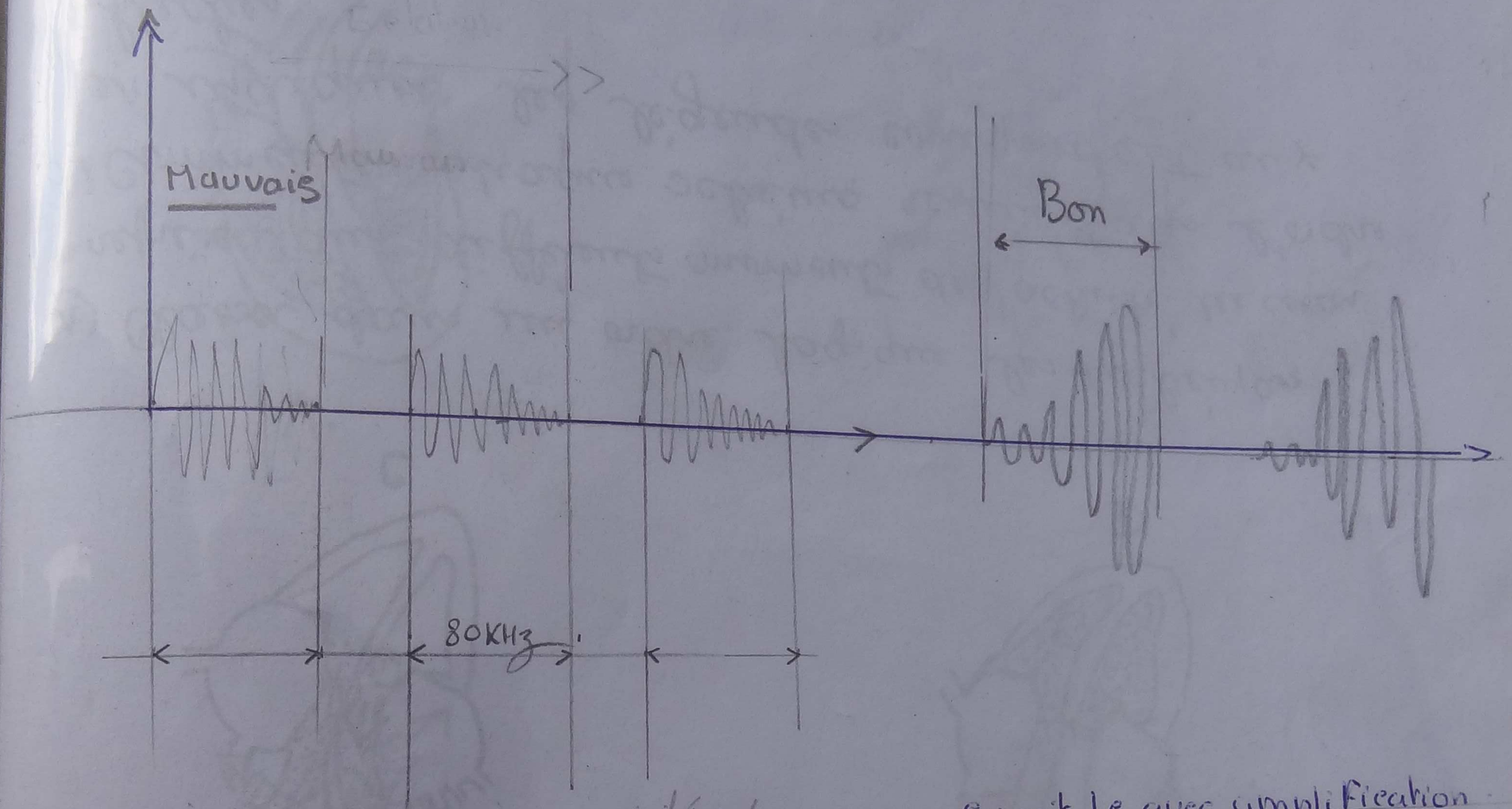

Circuit LC ordinaire avec dérivation

Circuit LC avec amplification

1) Pour provoquer la résonance : des trains d'ondes de haute fréquence transmis à la bobine par l'oscillateur.

2) Maintenir la résonance

Ajustage Fréquence sur (L2)

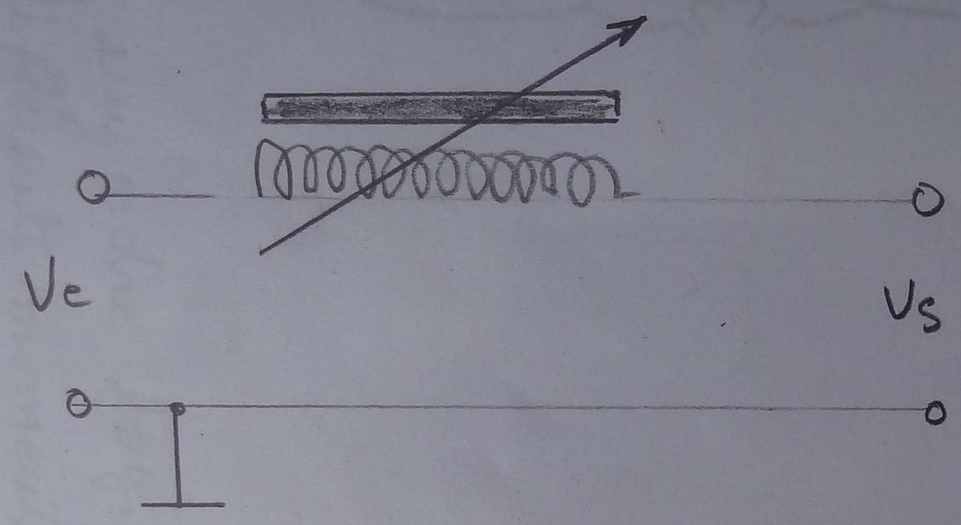

Ajustage fréquence sur Le.

Sur PVC ∅ 50

N° de Tours : 300 ∅ 0,5.

N° de Torres de Ferrite : 12.

AL - Ferrite : 900 14

L(nH) = N² x AL

Fig 5

GENERATEUR "D'ENERGIE LIBRE"

Principe de Fonctionnement.

Page - 1. 2. 3. 4.

Schema Synoptique.

oscillateur. 50Hz.

Ampli. BF. 50, 75 Watts.

oscillateur. Haute. Tension.

Bobine -

sa resonance -

son noyau. capacitif

onde en opposition ≠ 0 = onde Longitudinale

Generateur - d'Energie libre.

Principe de Fonctionnement

- Explication et étude du montage (voir schema synoptique page ....)
- Nous avons une bobine L1 bobinée sur un cylindre de P.V.C Ø50 - et
- d'une Longueur de 14 cm environ. dans lequel se trouve de la Ferrite.
- nous avons un second bobinage L2 relié au cylindre de cuivre au sommet
- de la bobine ; sur lequel l'energie sera recupéré ; et nous avons un
- troisieme bobinage qui ne servira qu'à recevoir la modulation 50Hertz.
- Au coeur de la bobine un cylindre de cuivre constituant le noyau relié
- à nôtre Terre par un gros cable.

- Le cylindre de cuivre joue également le rôle de condensateur, et
- par la même occasion reçoit un montant d'humidité de particule chargées
- venant de nôtre Terre.
- Les Bobinages L1 et L2 ont une fréquence de résonance.
- Il faut trouver la maniere pour que L1 et L2 soit en resonance
- automatique. et en opposition de 180° - pour cette raison L1 est bobinée
- en "cadeaux".
- La résultante de ces 2 fréquences donne naissance à une onde
- Longitudinale.
- La fréquence de resonance est la cause directe du phenomene, il ne
- faut donc pas la perturber.

La. Bobine.

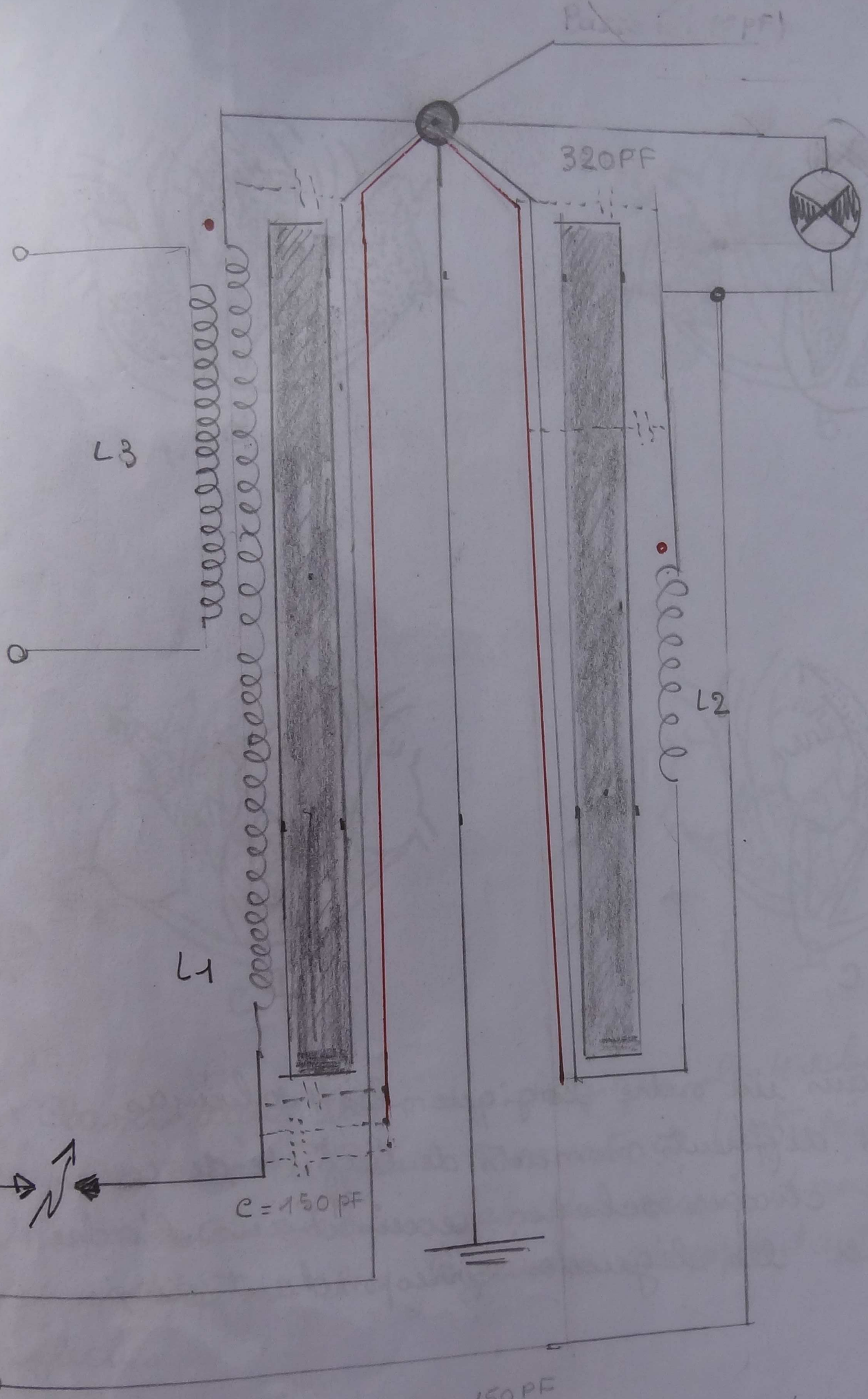

L1 Bobinage en Caduceu $C_{(1)}$ = 150 PF

- L1 et L2 - sont accordés Cycle Le 320 PF - et decalés de 180°

L3 Modulation - Non accordé.

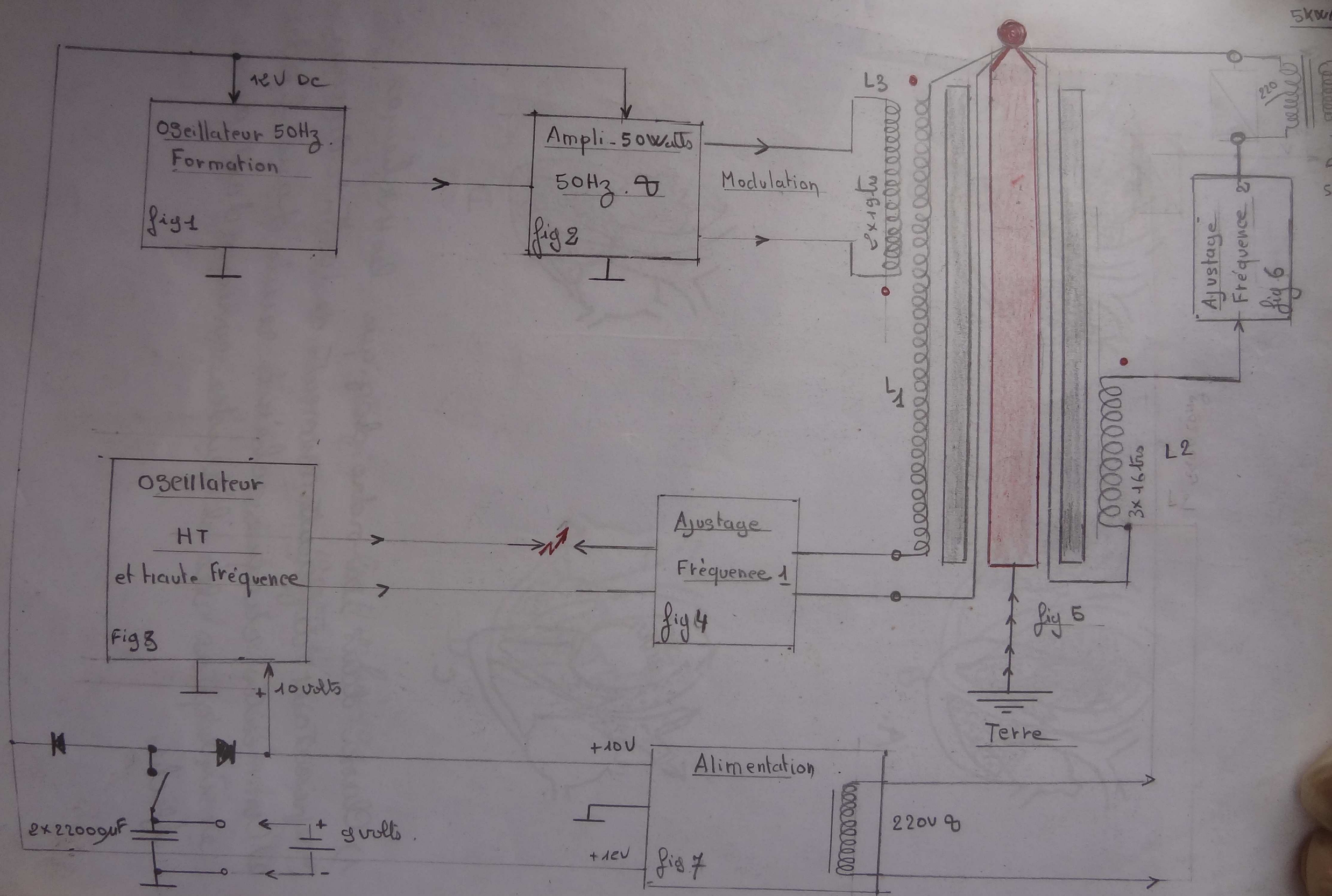

12V DC
Oscillateur 50Hz
Formation
fig 1
Ampli - 50Watts
50Hz
fig 2
Modulation
L3
2x19 tr
L1
L2
3x16 tr
Ajustage
Fréquence 2
fig 6
220
5kW
Oscillateur
HT
et haute fréquence
Fig 3
Ajustage
Fréquence 1
fig 4
fig 5
Terre
+ 10 volts
2x22000µF
9 volts
+10V
+12V
Alimentation
fig 7
220V

en opposition de 180°

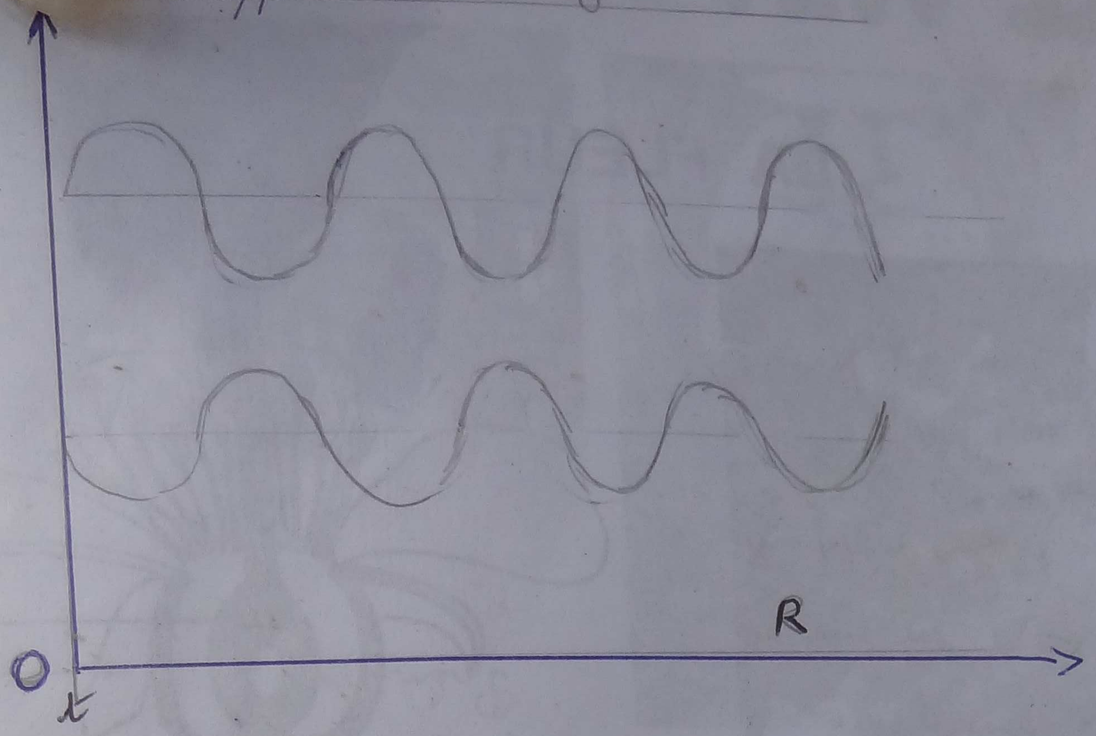

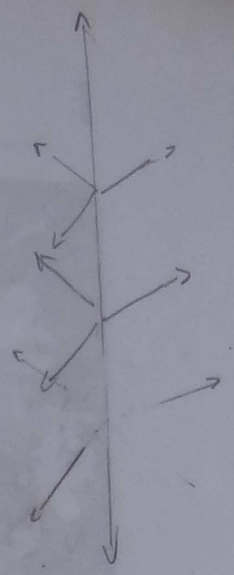

La resultante est une onde nulle, elle ne vibre plus, = 0, c'est une onde Longitudinale. (résultat observé le vendredi 24 mars 2023)

- La haute fréquence est fabriquée par un oscillateur Haute Tension (schema joint) cette haute tension doit être ~~comprise~~ aux environs de 3000 volts. -
et le courant doit être comprise entre 15 et 70 mA.
- Cette haute tension est transmise au bobinage L1 par un éclateur. -

L'oscillateur Haute Tension (2 cas de figure) ci-joint.

1 Un oscillateur haute fréquence, haute tension - à chaine de fréquence.
ou Un oscillateur haute tension - avec système de rechercement et filtrage

Ajustage Fréquence.

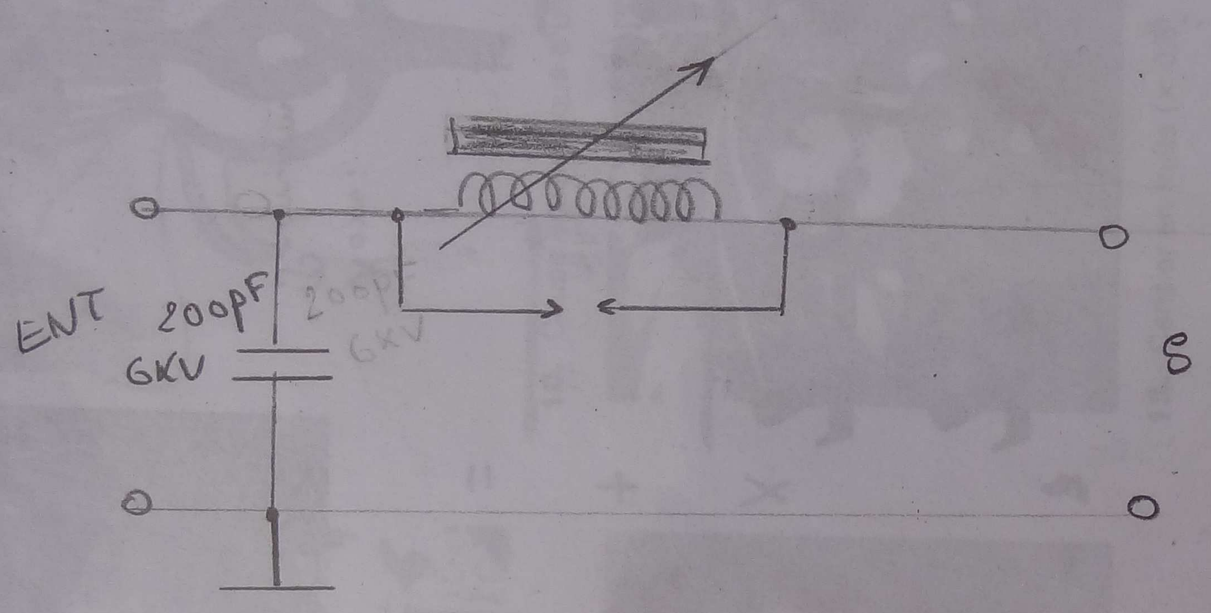

Ajustage fréquence sur L1

P.ve ∅ 50

N de Tours 300 - ∅ du fil 1/10 (emaillé)

N de Torres de Ferrite :

AL : 9014

L en (mH) = N^2 x AL

fig. 4

oscillateur 50Hz - sinus et carré

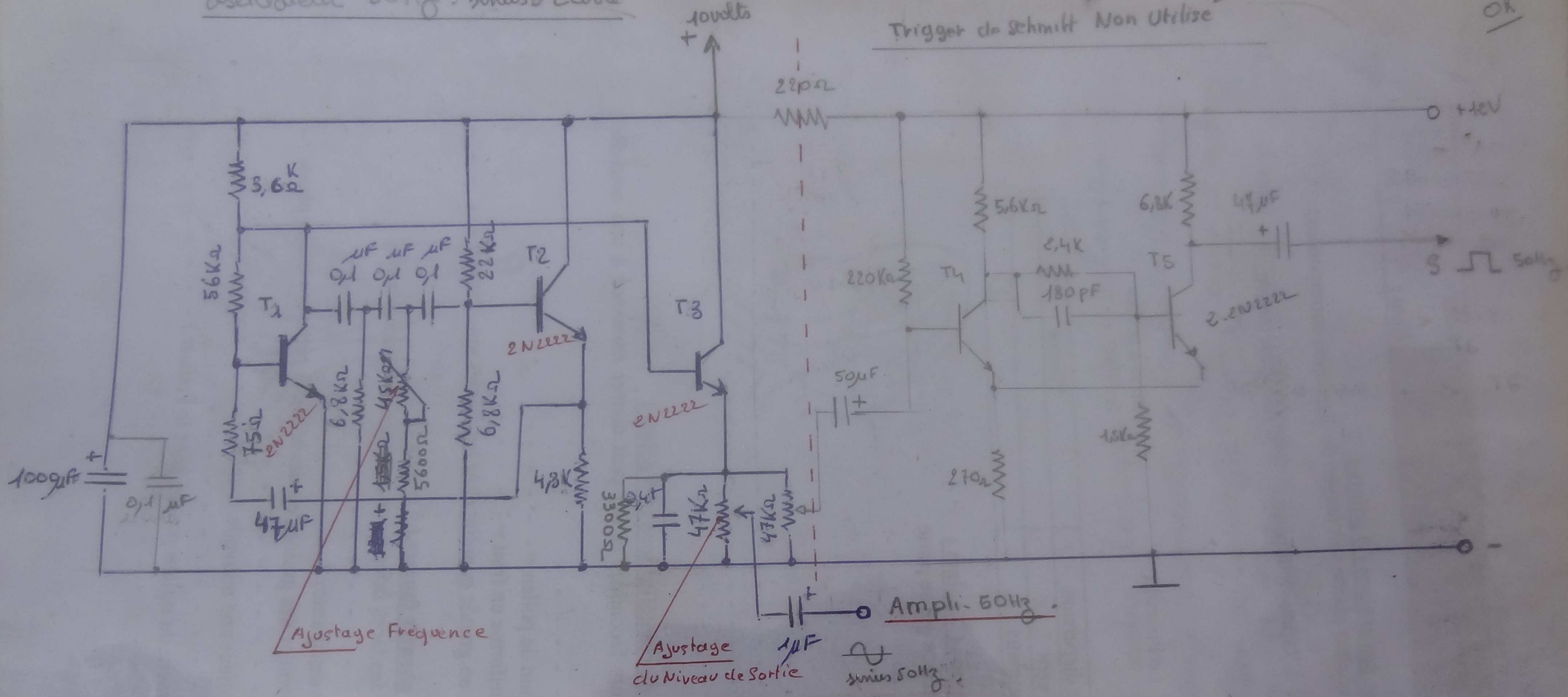

réalisation C1.

T1 - T2 T3 2N2222

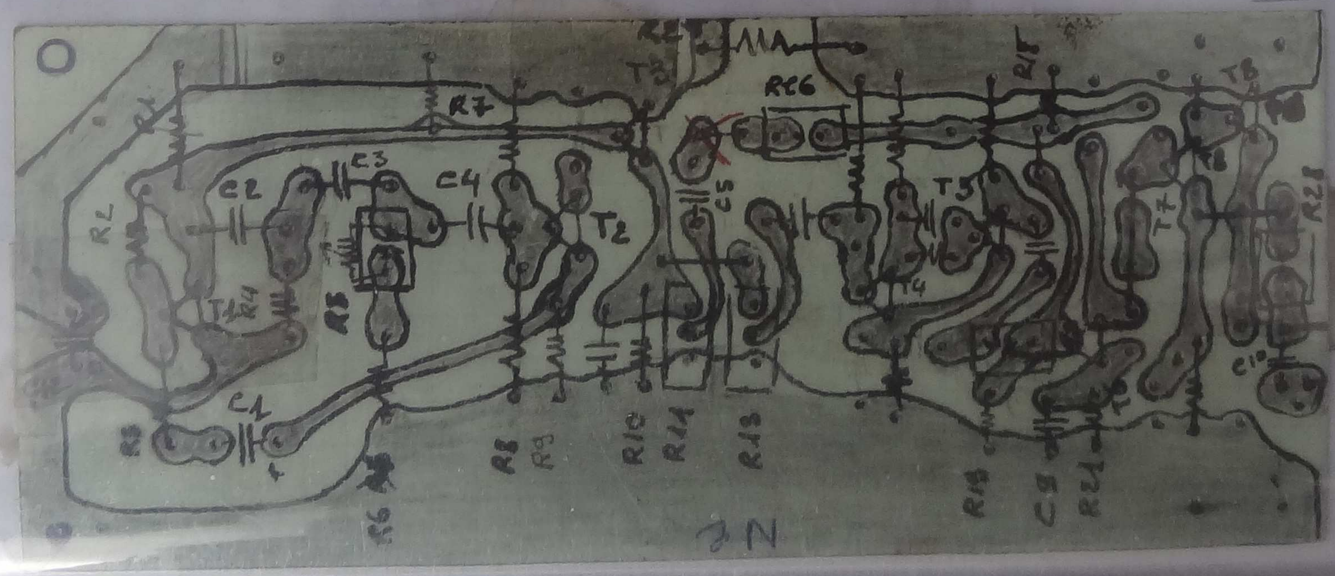

Page 1 fig 1

- I Enroulement CADUCEUS :

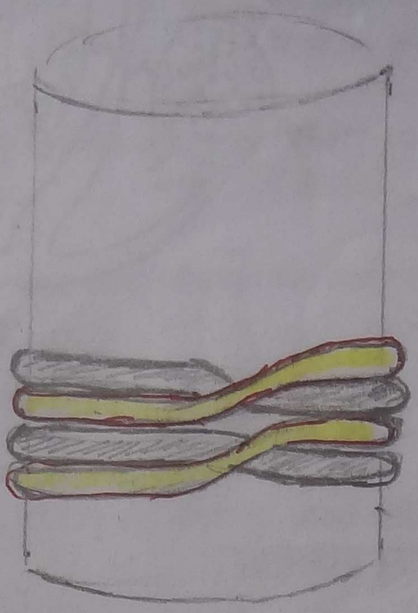

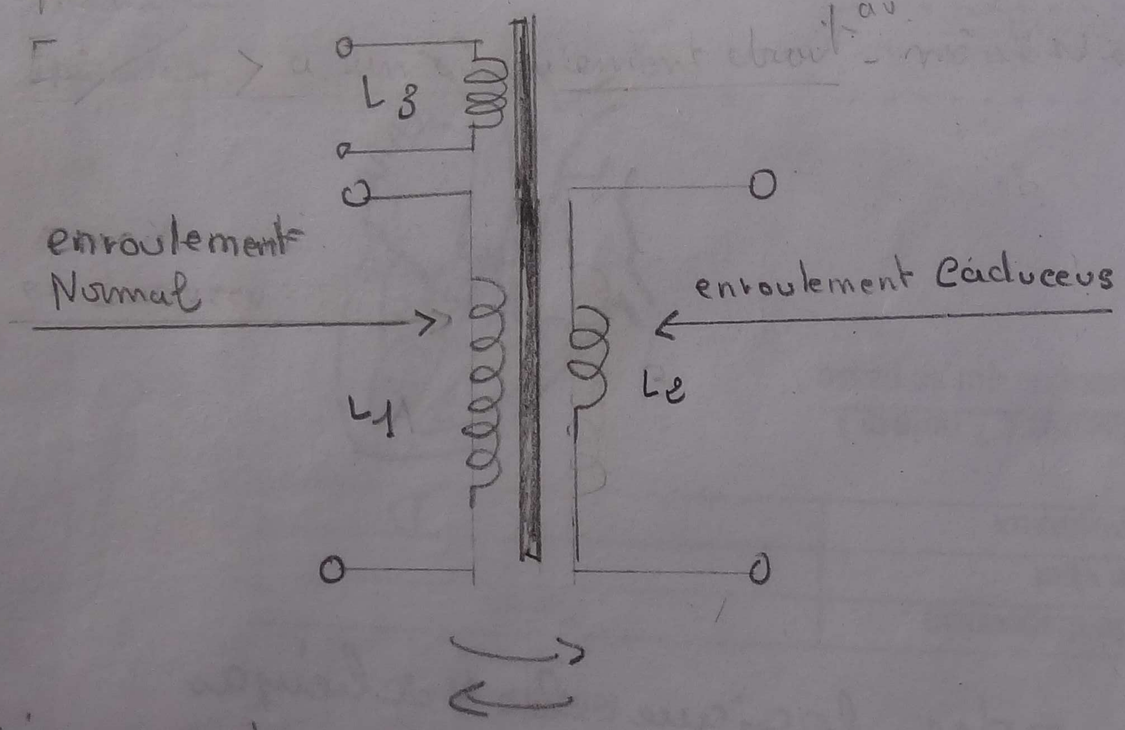

L'enroulement L2 s'accorde sur L1 L1 (3 enroulements sur le même noyau)

L1 = Le (ont sensiblement le même N de tours)

Resonance automatique de L1 et Le.

Réglage et mise au point de l'ensemble

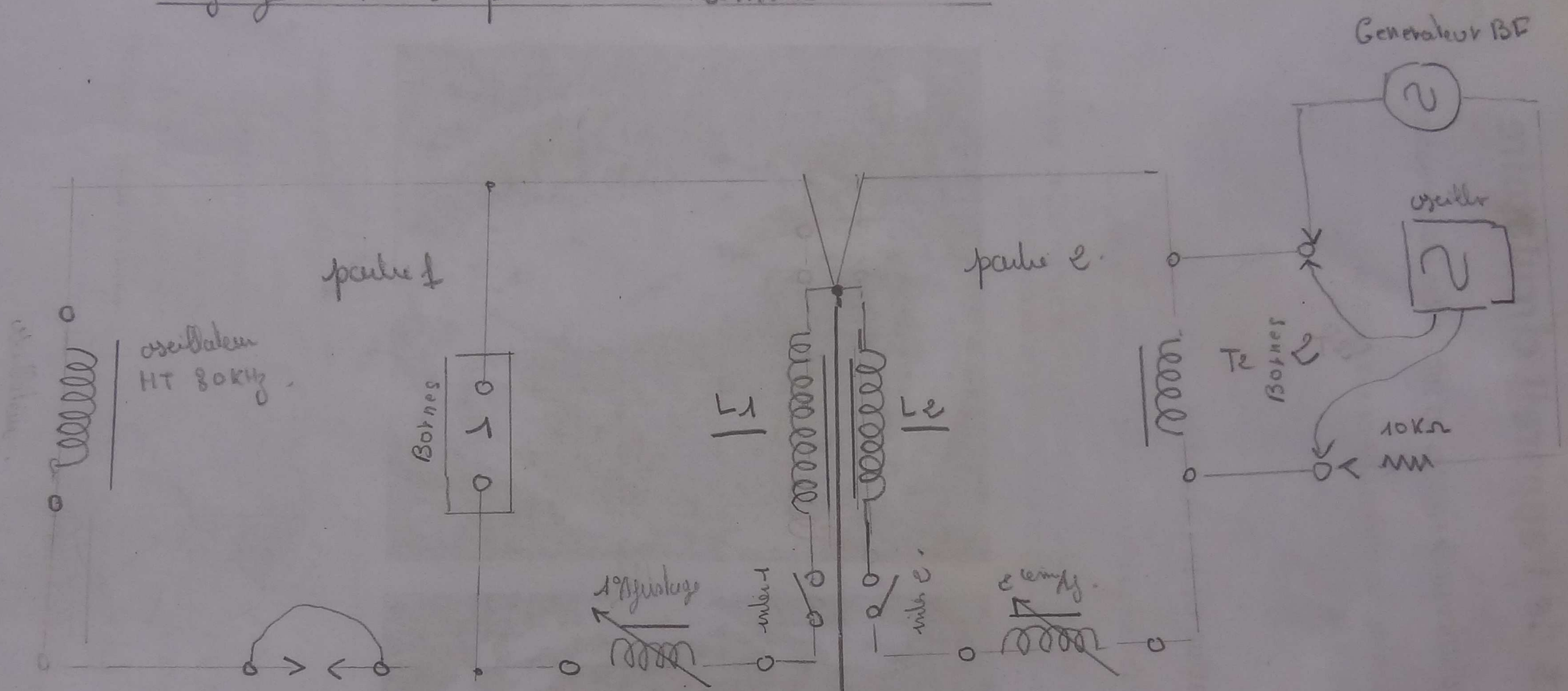

1° operation Utiliser le Generateur et l'oscillo en resonance // maniere "Tesla Coil"

2 operation : obtenir une PREMIERE Resonance Automatique de L1 et L2

3 ème ponté l'eclateur et fermé inter 1 et 2 afin d'obtenir la résonance à la fréquence de l'oscillateur en Agissant sur le fil 2 aux bornes de la partie 2 et même procédé pour la partie 1

4 ème on aura une 3 ème resonance Automatique de L1 et L2, différente de la premiere résonance mesurée

Amplificateurs 50W - 75W - 150W.

Utilisation : 50W 4Ω

U = 12 volts

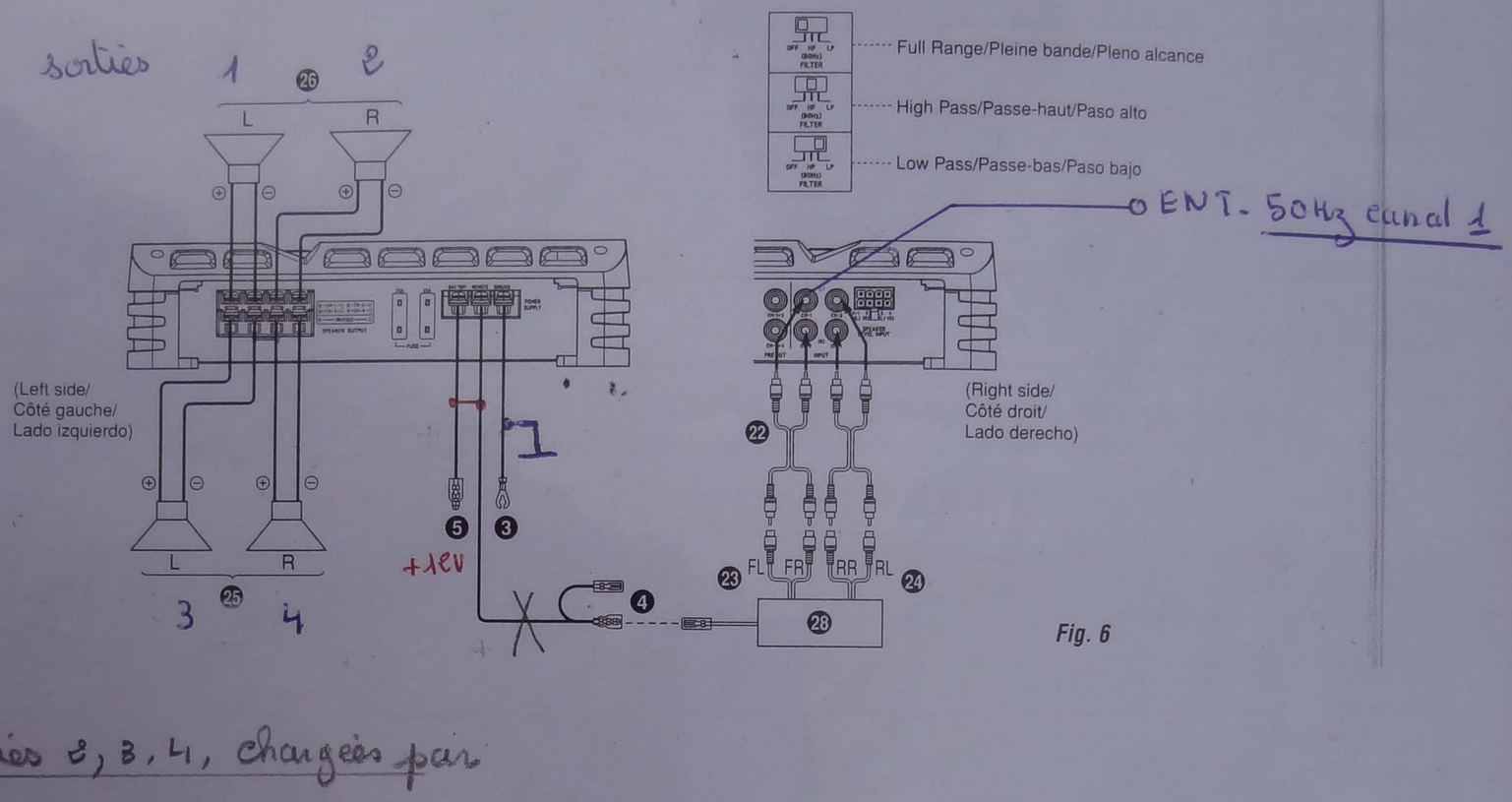

Fig. 6

Sorties 2, 3, 4, chargées par
des resistances de 25W - 4Ω

75 Watts - sous 2Ω

150 Watts - salie 1 et 2 en serie sous 4Ω.

Sortie 1 : vers bobine de Modulation 50Hz.

fig. 2 page 1

fig. 2

Manière de Procédé aux réglages des circuits accordés

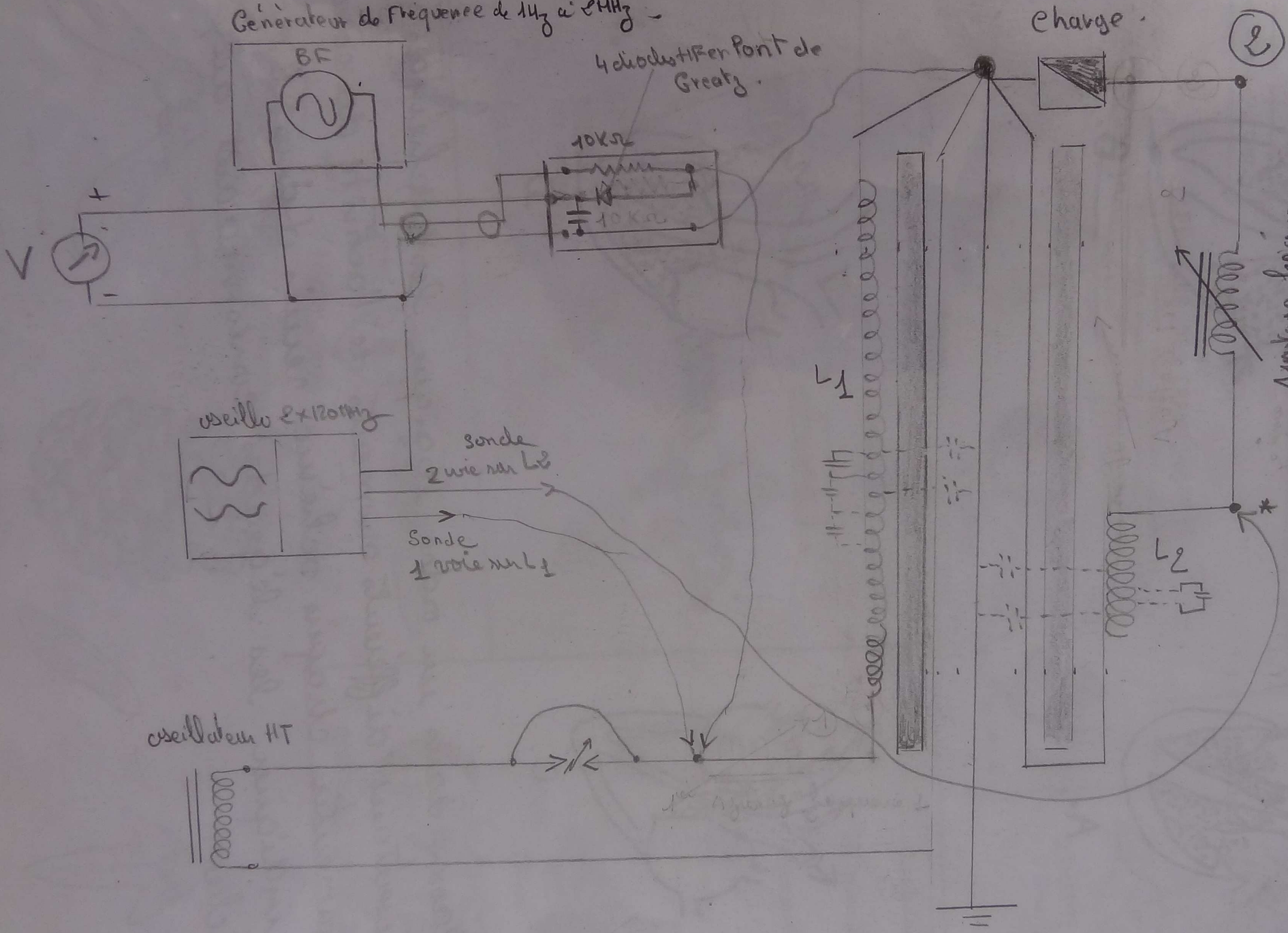

Generateur d'Energie libre

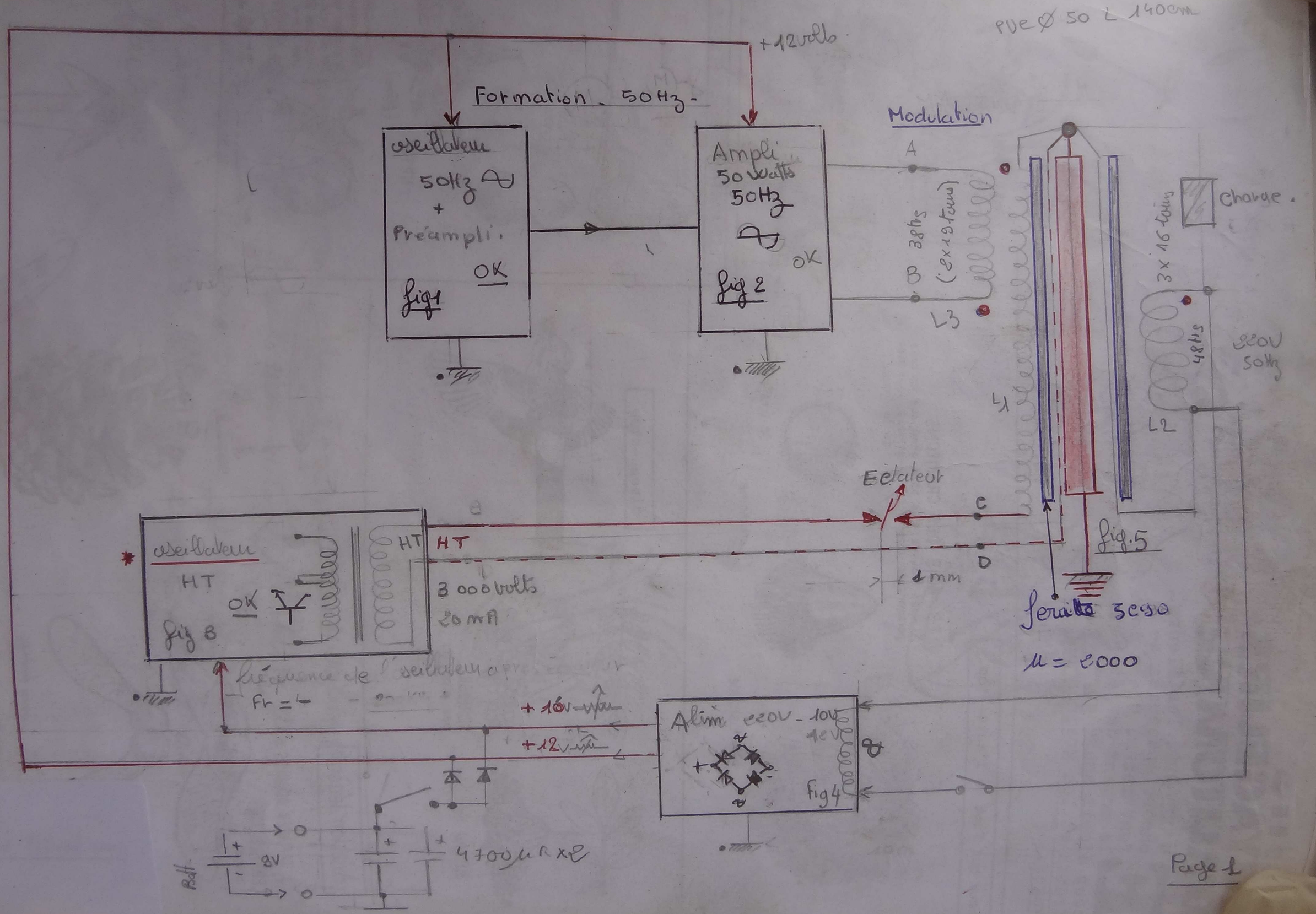

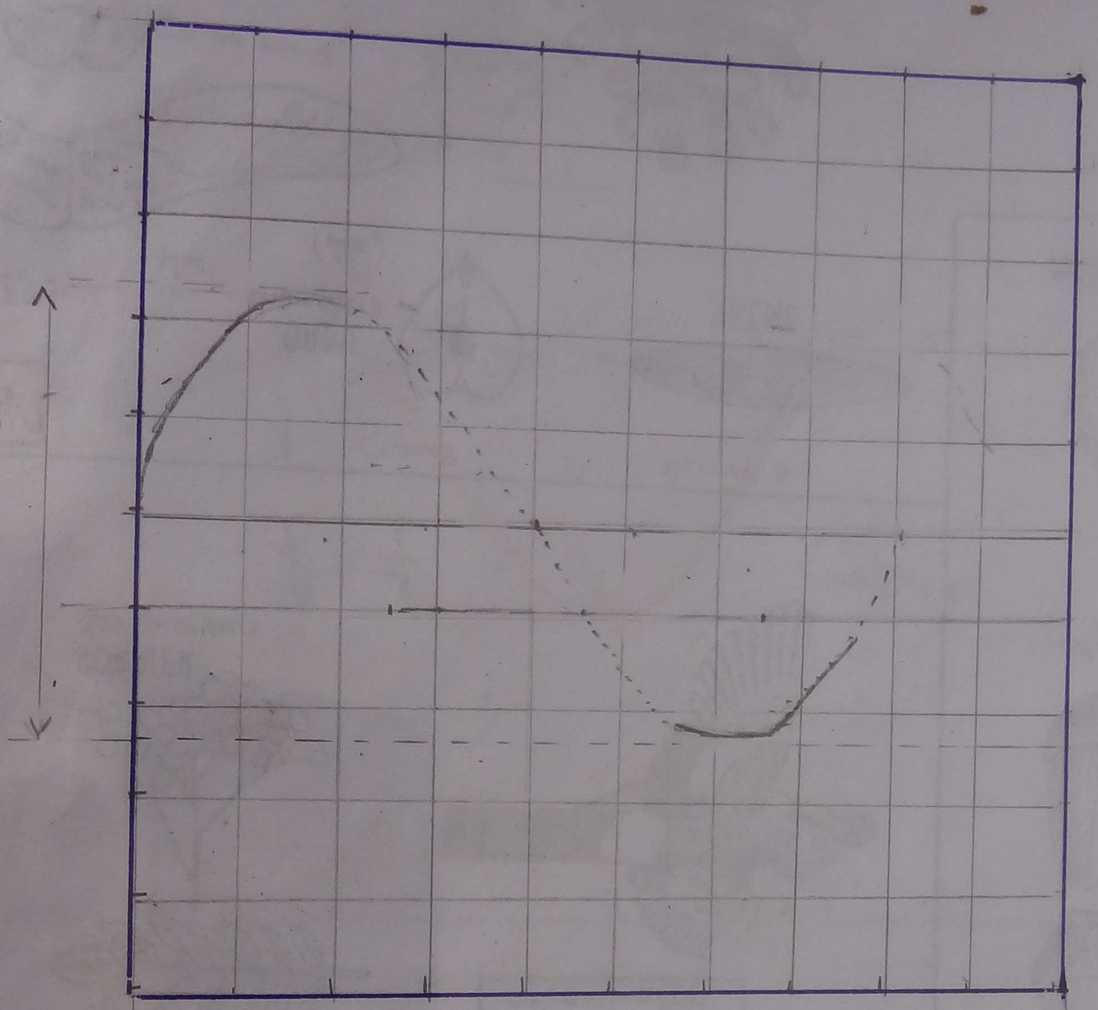

F = 50Hz

VS oscillateur :

F en Hz = $\frac{1}{t}$

t = 20ms.

Fr de l'oscillateur :

50,026 Hz + 0,026

a

49,979 Hz − 0,021

± 0,047 Hz

Bobine de Sortie

Support : tube de PVC ⌀ 50 L 21,5 cm

N de tours : ~~2 50 trs~~ 50 ⌀ du fil ~~2/10~~ 1,5 - Longueur du bobinage 14cm.

fil de cuivre emaillé. ~~65 trs = 3cm~~.

Type de bobinage : spires- jointives. 1⌀ anneaux de Ferrite à l'interieur + cylindre de cuivre à l'interieu ⌀ 18mm.

N de bobines 3. AL : 9014 x1⌀

L1 Bobine primaire (TH) ~~(2 5 trs)~~ 50 trs.

L2 Bobine de Sortie (⌀⌀ou) (48 trs en 3 couches de 17 trs 16 trs 15 trs) (cadveeus)

L3 Bobine de Modulation. (2 x 19 tours) + bobine complementaire.

oscilloscope : ⌀x120 MHz. Generateur BF Fixé à

L1 Sans charge sur L2		* Avec charge réactive	
L1 F(R) 740 KHz.			
U			
L2 F(r) 740 KHz.		80 KHz.	
U			
L2 Fr		614	
U			
L3 Modulation			

et ajustage Frequence.

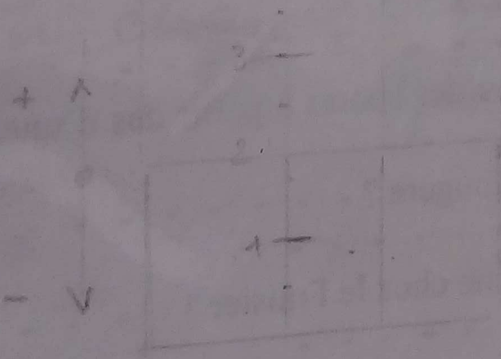

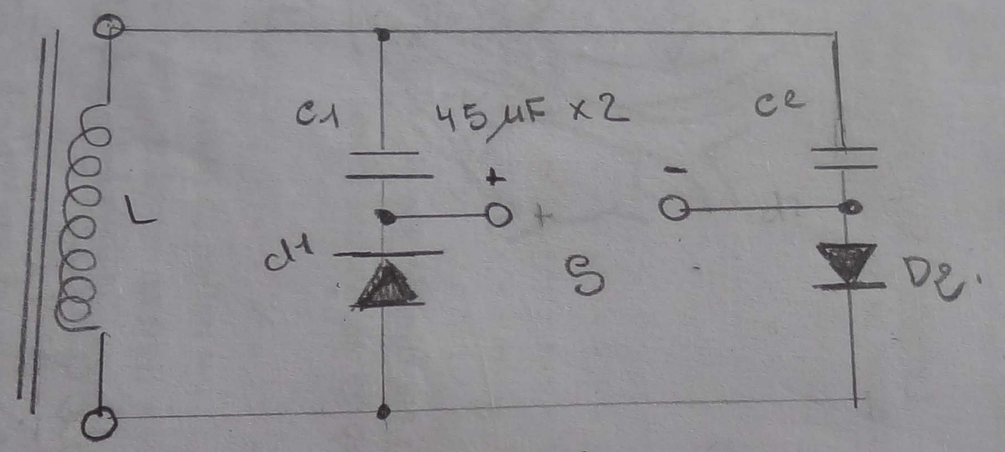

Montage qui permet d'extraire la Tension - sans casser la résonance du circuit

C1 - Ce. 10 µF à 45 µF.

L = soit d'un transformateur ; ou bobine de KAPA.

Ajustage Fréquence (KAPA)

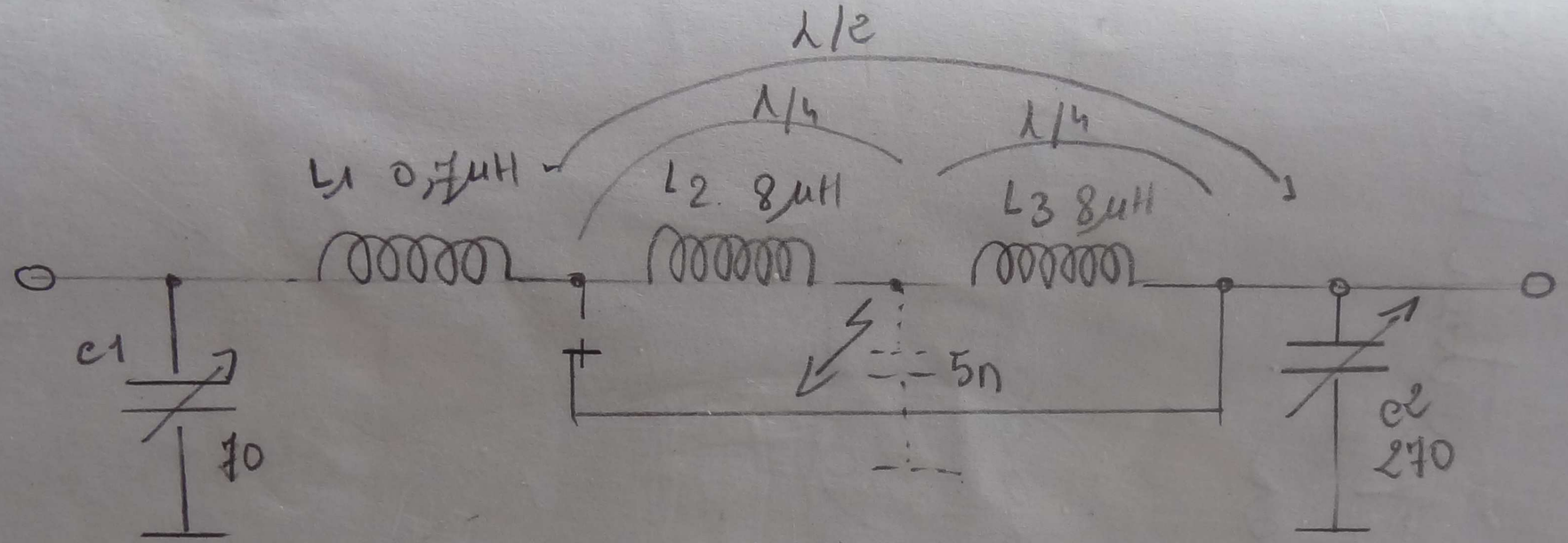

L'effet de peau ou l'effet pelliculaire (skin - effect)

Les courants à haute fréquence ne se propage pas dans les conducteurs comme le courant continu ou à basse fréquence. Au lieu d'utiliser la totalité de la section du conducteur ils se cantonnent dans les couches proches de la surface du conducteur.

la densité de courant décroît de façon exponentielle au fur et à mesure que l'on s'éloigne de la surface.

la formule est la suivante.

$$e = \frac{1}{\sqrt{\frac{\pi \cdot \mu_0 \mu_r \cdot F}{\rho}}}$$

μ_0 - perméabilité magnétique du vide.

μ_r = perméabilité magnétique du conducteur on prendra 1 pour le cuivre.

F la fréquence en Hertz.

r résistivité du conducteur en Wm (10.10-9 Wm pour le cuivre)

sur les fréquences allants d'une centaine de KHz à quelque MHz - il est préférable d'utiliser du fil divisé (multibrin) ce qui augmente la surface de la peau.

fils et cable de litz haute fréquence

KARL SCHUPP AG CH 8125 ZOLLIKERBERG.

Tel. 043 288 10 10 - - www.schupp.ch

320 brinds	0,6/10	Tableau J4	160 - 0,6
420 brinds	8/10		200 - 0,7

Neon Tricnformer 35KHz

- Bobine realisé en fil gaine.
- oscillo. 1 µs.
- Photos -

- Bobine realisé en fil de cuivre emaillé.
- photos. 1. à. 3.
- oscillo. 2 µs.

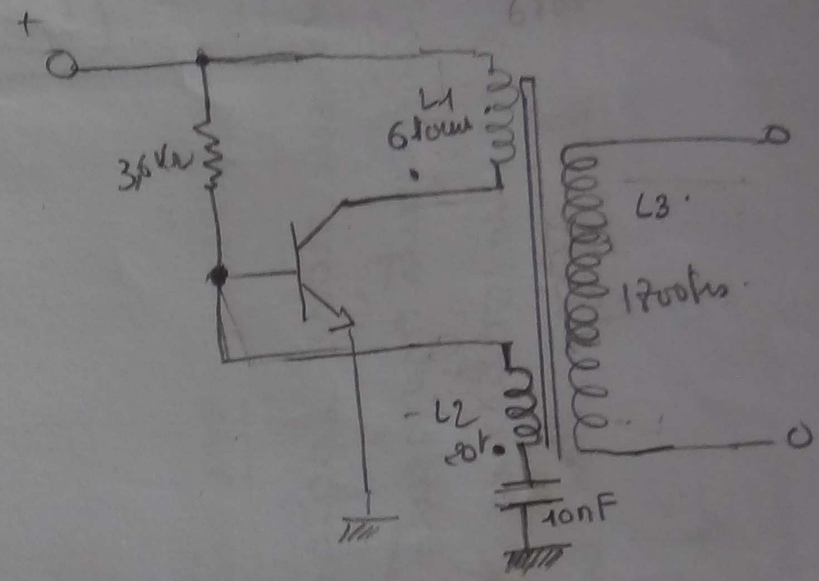

Ferrite Verte.
Bande de Fréquence.
de 50 à 100 KHz. signal sinus déformé.
de 100 KHz à 2,6 MHz. Signal carré.

le AL est donné à 25%.
Tonne de Ferrite.

10 KHz - 100 KHz	100 KHz à 1 MHz
EP80 3E2 - 3E25	3H2 - 3F3 - 3E85

AL

3E25 - Ø 23 x 14 x 7 - 3850 ± 25% (10 KHz à 100 KHz)

1 MHz à 10 MHz -
4E6 - 4E65
AL = 87 ± 25%

3F3 - Ø 23 - 14 x 7 1250 ± 25% (100K à 1 MHz)

=

L1 = 50 tours.
L2 = 38 tours.
L3 = 48 tours.

L(1)

AL 20 Tours 1250 x 20 = 25000

$2000 \times 10^6 \times 50^2 = 800\,000$

AL = 800 000 / 9 = 90 000

$L = N^2 \times AL$. (L = nH)

$N^2 = \frac{2000 \times 10^6}{AL} = \frac{2000\,000\,000}{11250} = 177777,8 = \boxed{421}$ (L1) 50 (9 Tours)

$\frac{2000\,000\,000}{25000} = 80000$

$\sqrt{80000} = 282$ T pour L1

$L_{nH} = 48^2 \times 800\,000 = 1843200000$

$\frac{1843200000}{11250} = 163840$.

$\frac{1843200000}{25000} = \frac{73728}{\sqrt{73728}} = 272$ T pour L3

$N\sqrt{163840} =$ 404 tours (48) (L3)

L2 $38^2 \times 800\,000 = 1155200000$

$\frac{1155200000}{11250} = 102688$

$\frac{1155200000}{25000} = \frac{46208}{\sqrt{46208}} = 274$ T pour L2

$L^2 = \sqrt{102688} = 381$ tours — 38

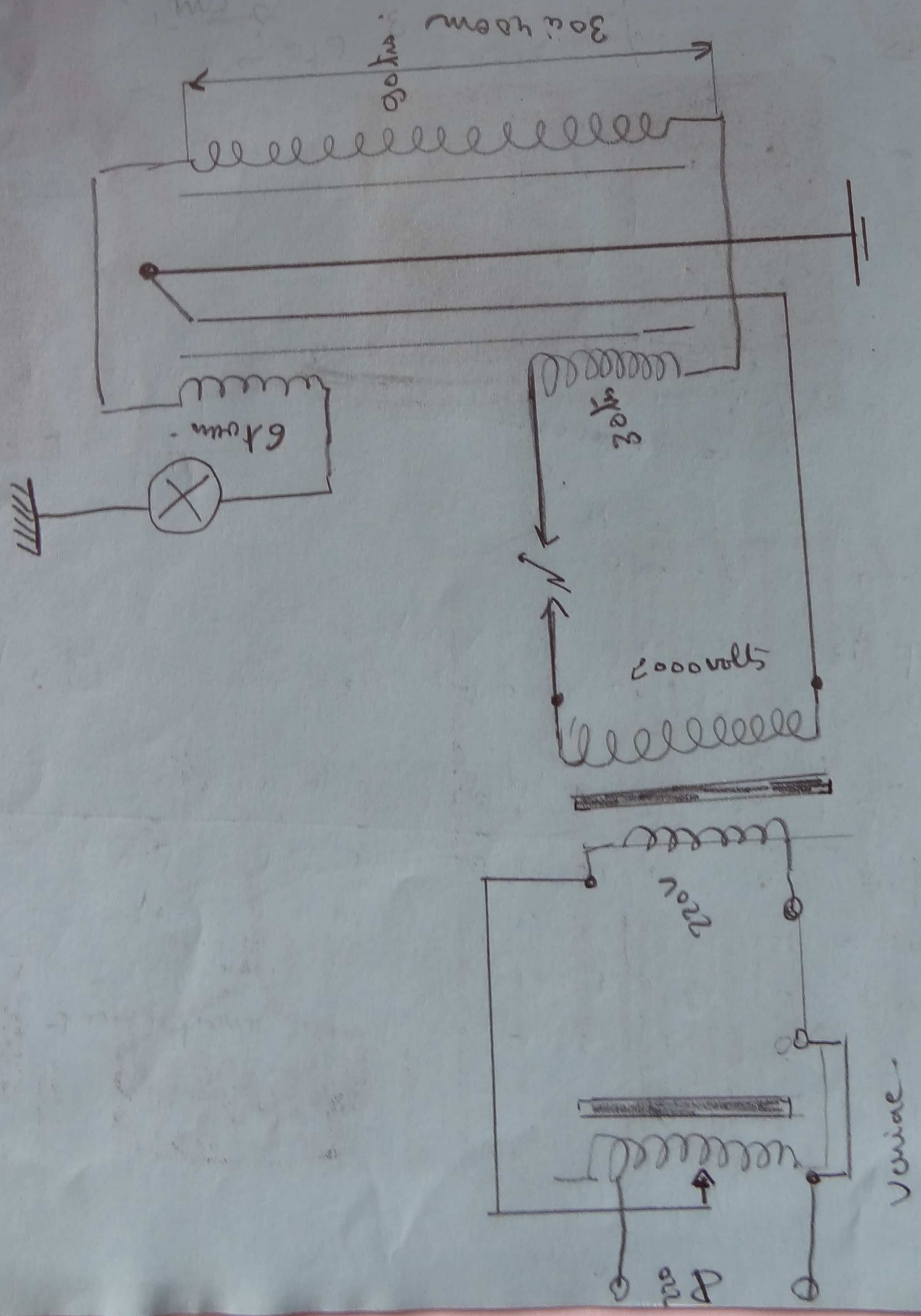

30 i 40 cm
90 ft
6 ft
30 ft
2000 volts
220 v
Variac

Fréquencemètre 350 €

Fréquencemètre HP 5328 - 512 MHz - 3 entrées

06 30 25 59 91 Tr bien

← Valence

RACAL - DANA

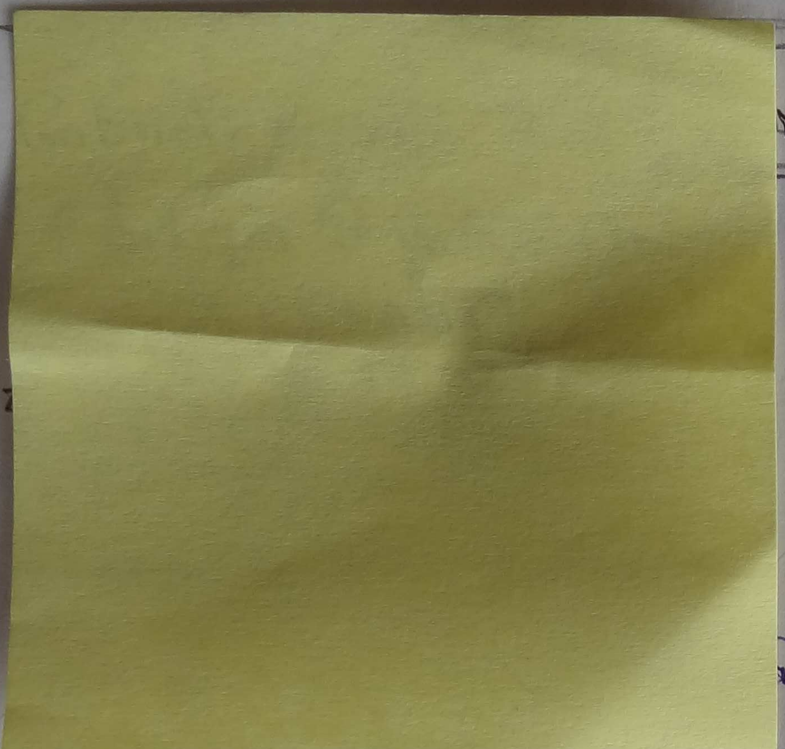

...ille

...) Vertcede.fr »

Fréquencemètre Racca - Dana 03-20 051965

M. David. Pruchnicki.

mardi 31 et le samedi 4 février à la zon artisanale

8 Tores de Ferrite. F = 200KHz - 12 Tores.

AL = 6425 - x 8 = 51400 -

9000 x 11 = 99000

150400

AL - 6000

Calcul de L1

$L = N^2 \times AL$

$L = 2000 mH$

$N^2 = \frac{2000 \times 10^6}{AL} = \frac{2000000}{125000} = 16e80$

$\sqrt{16e80} = 127 = 130$ tours

AL = 9014 x20 = 18080

AL = 800.000

$N^2 = \frac{2000 \times 10^6}{AL} = \frac{2000000}{150400} = 13298$

$\sqrt{\quad} = 115$ tours

380
350
30

Bobine HT.

290 tours - 12 Tores. 1T = 9014

1H | mH | µH | nH.

$290^2 \times 108168 =$ **9000 mH**

Bobine de Scilé

48 tours.

$48^2 \times 108168 =$ 250. ~~000~~ . ~~000~~

= **250 mH.**

F = 200 KHz.

P = 220 PF

$XL = 2\pi \cdot F \cdot e$

$6,28 \cdot 50 \times 2,5 \cdot =$ **785 Ω** - $6,28 \cdot 200.000 \cdot \times 2,5 =$ **3.14 MΩ.**

$XL =$ (HT) $6,28 \times 200.000 \times 9 =$ **11,3 MΩ.**

$XL =$ -

$$Xc = \frac{1}{2 \cdot \pi \cdot f \cdot c} =$$

1) ~~J'ai fait plusieurs tentatives avec differentes bobines et c'est l'un des meilleurs~~
~~Le Tout et dans bure de Tesla.~~

Au lieu de mettre la HT en L1 et en la convertissant à haute tension extrêmement sale que nous faites juste dans le sens inverse, mettre la HT en L2, et le convertir pour abaisser la tension, et la hausse des ampères par L1

l'astuce est de faire entrer en résonance L1 et L2 dans sa forme Inverse

L1 étant de faible inductance en utilisant la TERRE à Traverse une charge crée un reservoir de pseudo dans lequel L1 peut atteindre des Ampères élevés.

L1 Bobine de 6 tours.
L2 Bobine de virage de 90 tours.
L3 l'inverse 30 tours.

L3 est utilisé pour augmenter ou diminuer l'inductance pour aider à appaler les deux.

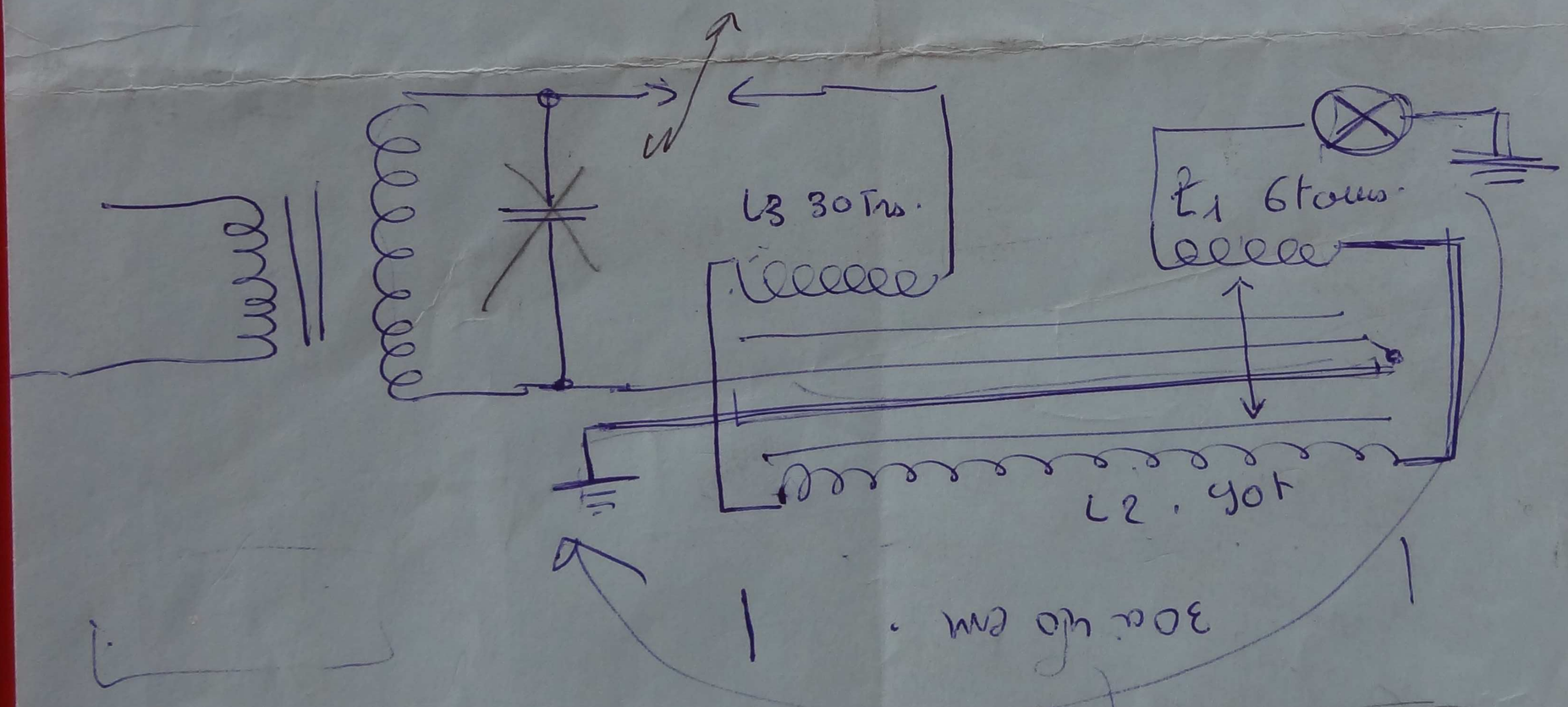

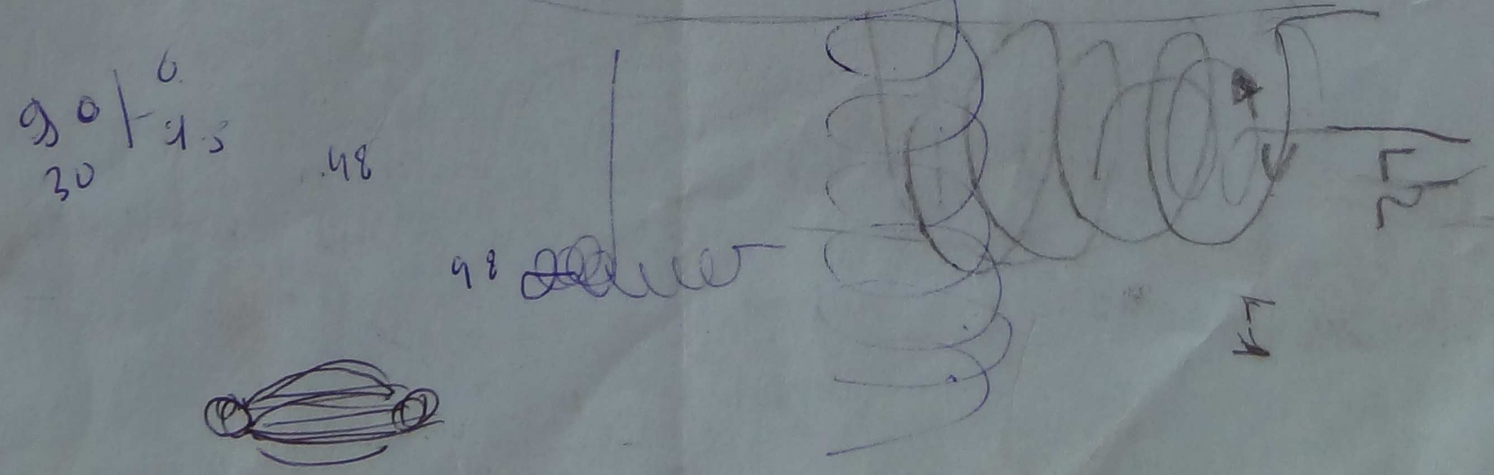

- TI P 8055 -
- perle ferrite -
- plaque circuit imprimé -

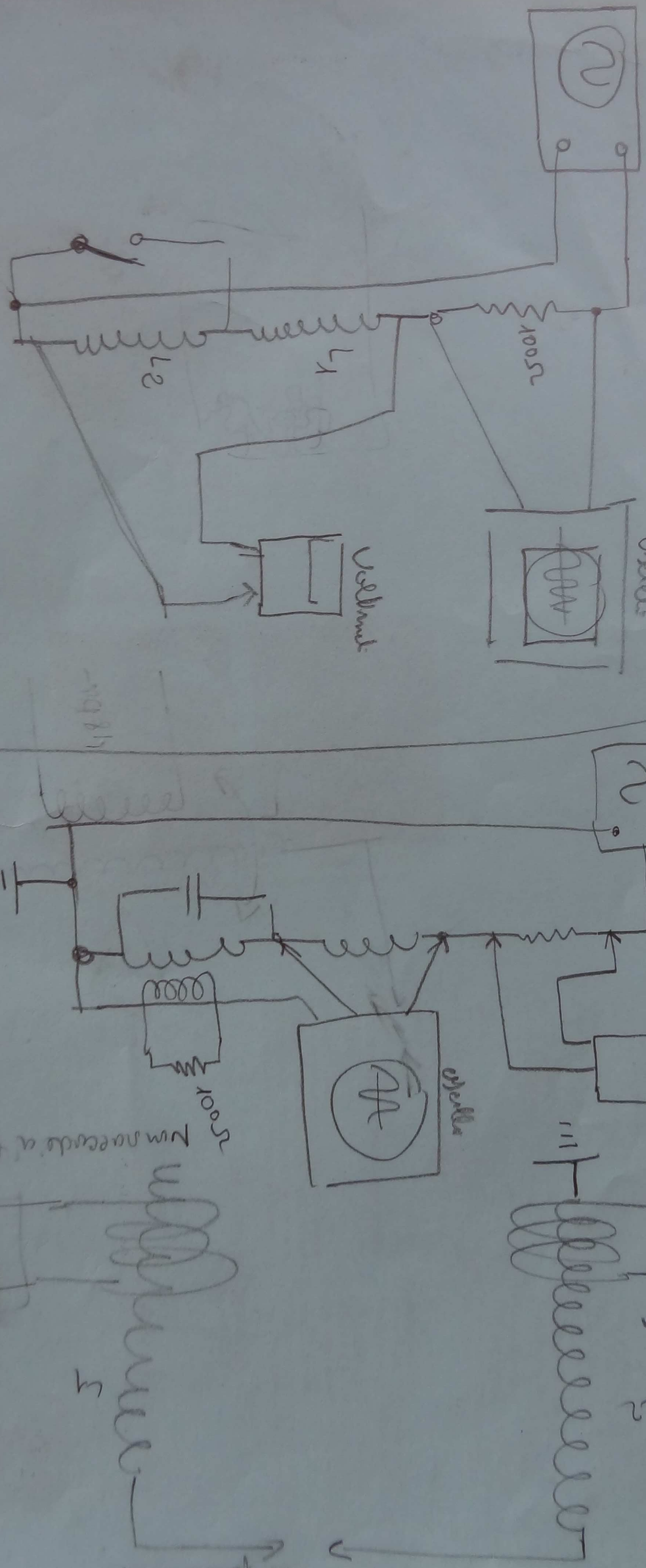

25/01/9

Rapport : Zerouri Anis -

- Vient en classe avec un tamagosh
- Se déplace sans arrêt dans la salle de cours en vue de perturber ses camarades, et de s'amuser.
- Ne fait pas sérieusement & Travail demandé -
- Bavarde
- Agite.

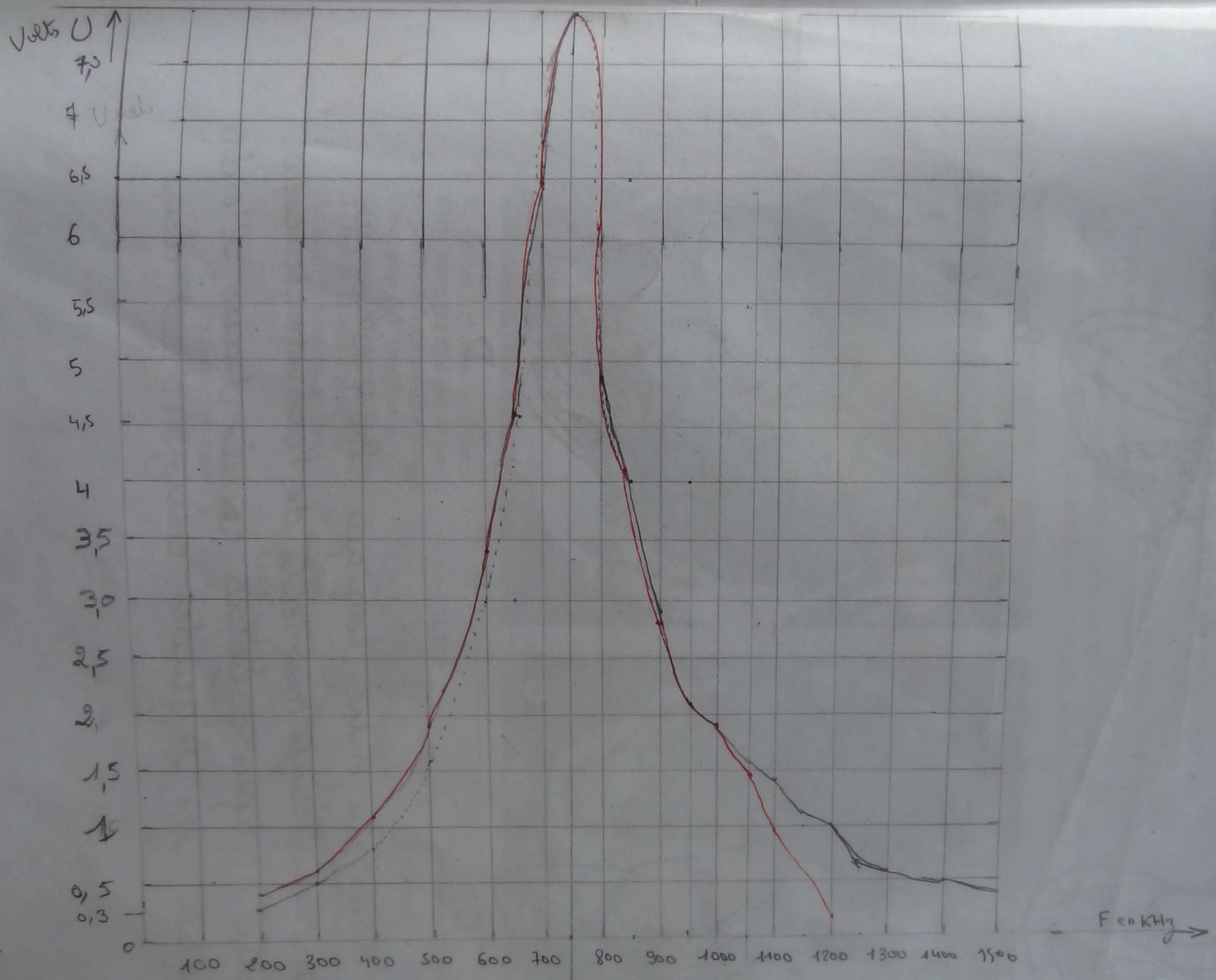

Courbe de résonance Automatique

L1 50 tr

L2 48 tr.

Oscilloscope et Générateur BF en resonance //

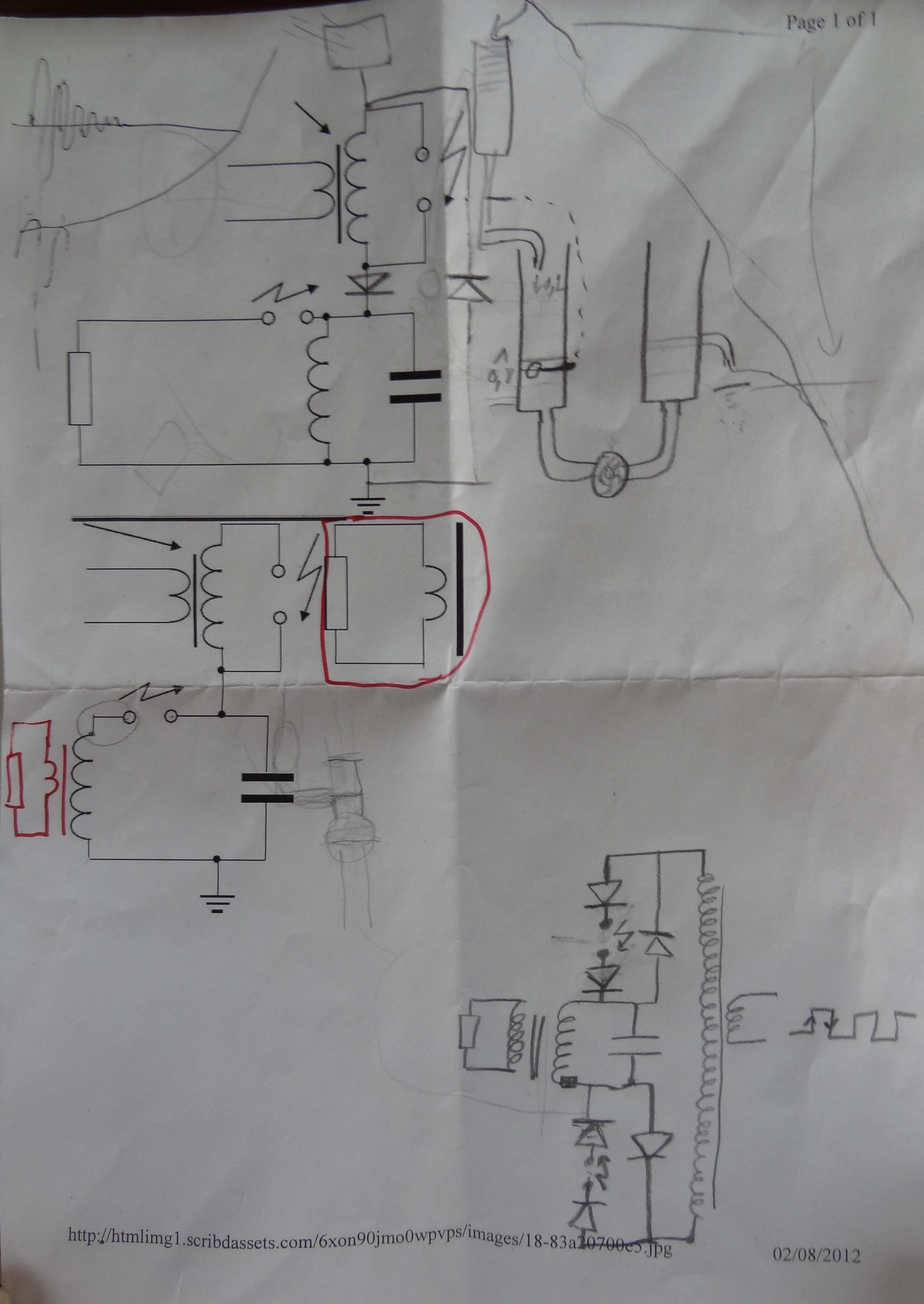

http://htmlimg1.scribdassets.com/6xon90jmo0wpvps/images/18-83a20700e5.jpg

Redressement pour le Générateur HT (maille de contrôle courant et tension)

Pont de Creatz

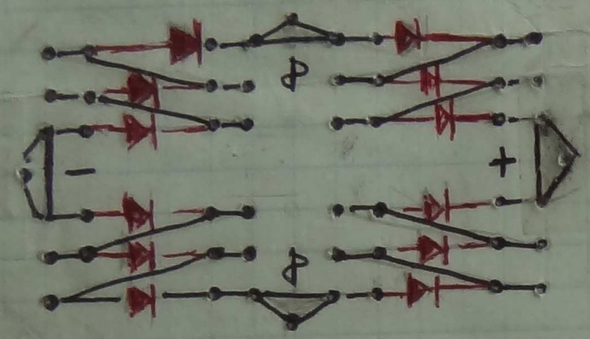

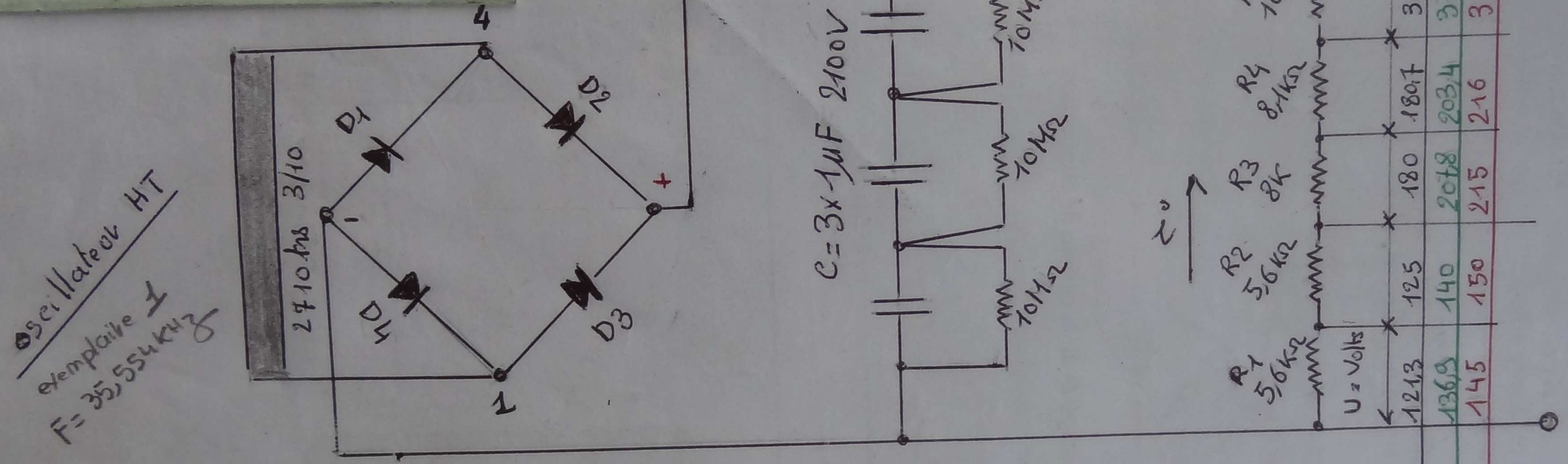

D1 ... D4 Diode HT (Four Mielo Oncles)

1	Alim 13,5V		22 mA	1383V
2	" 15V	3Amp	25,20 mA	1563,1 V
3	16V		26,7 mA	1658 V

R1 à R7 = 62,1 KΩ (57,3KΩ)

Valeur lue à l'appareil de mesure : 62,1KΩ

Règle générale - "eclateur" 1mm = 3 KV

Haute Tension redressée mesure Terminal courant ex. N°2

Secondaire

Transfo. HT-

exemplaire 2.

F= 20, KHz

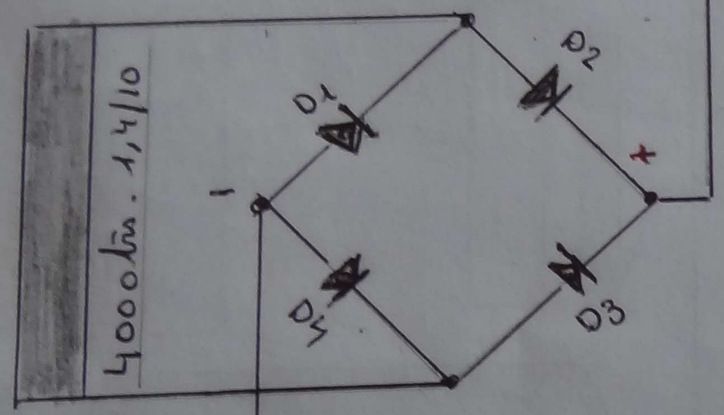

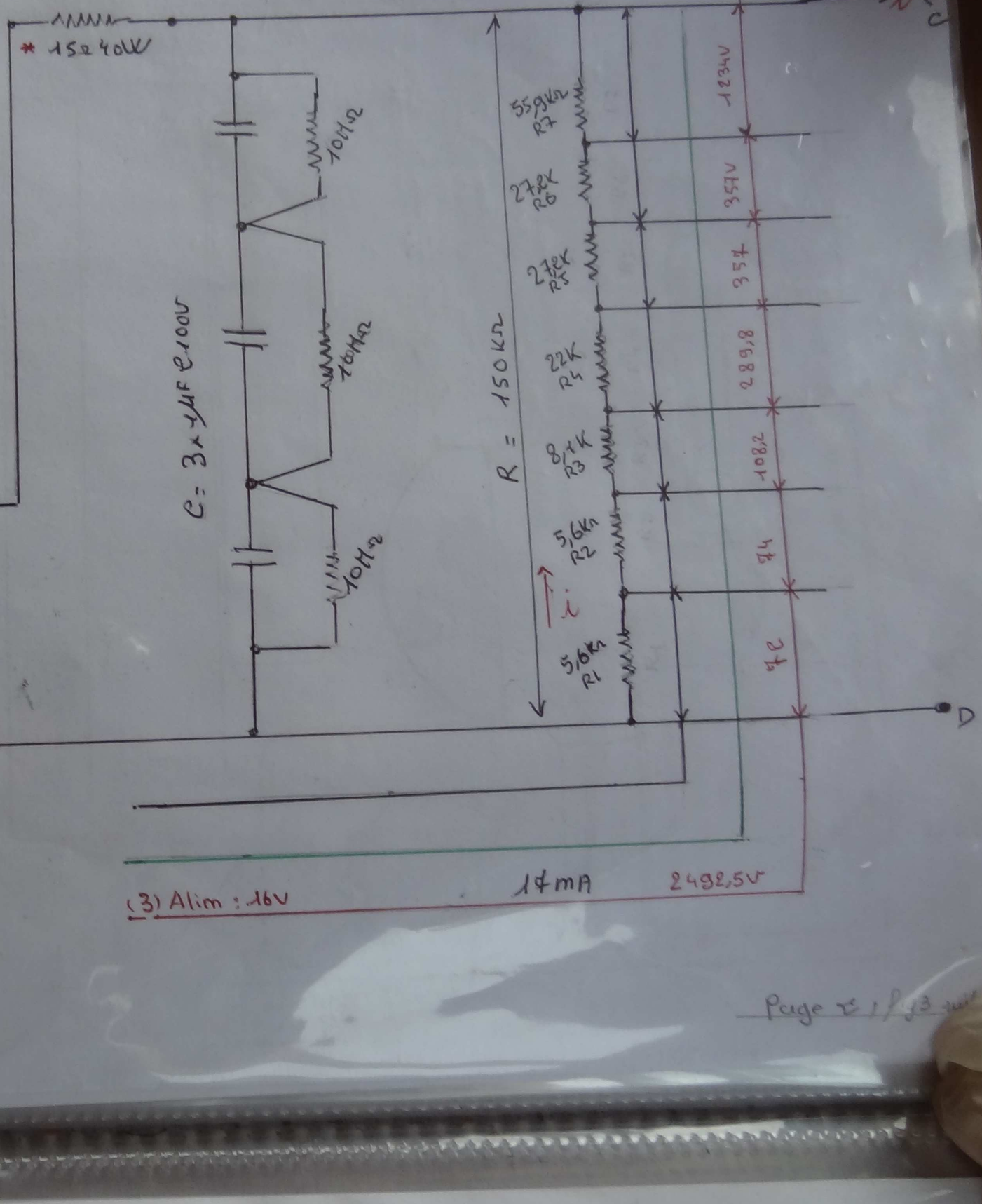

4000 tr. - 2710 = 1290 tr

2500 V - 1658 = 842 V

1290 / 842 = 1,5320 V/t

(3) Alim : 16 V 14 mA 2498,5 V

Oscillateur HT a transistor de puissance (pour HT redressé) N°2

F = 35,554 KHz

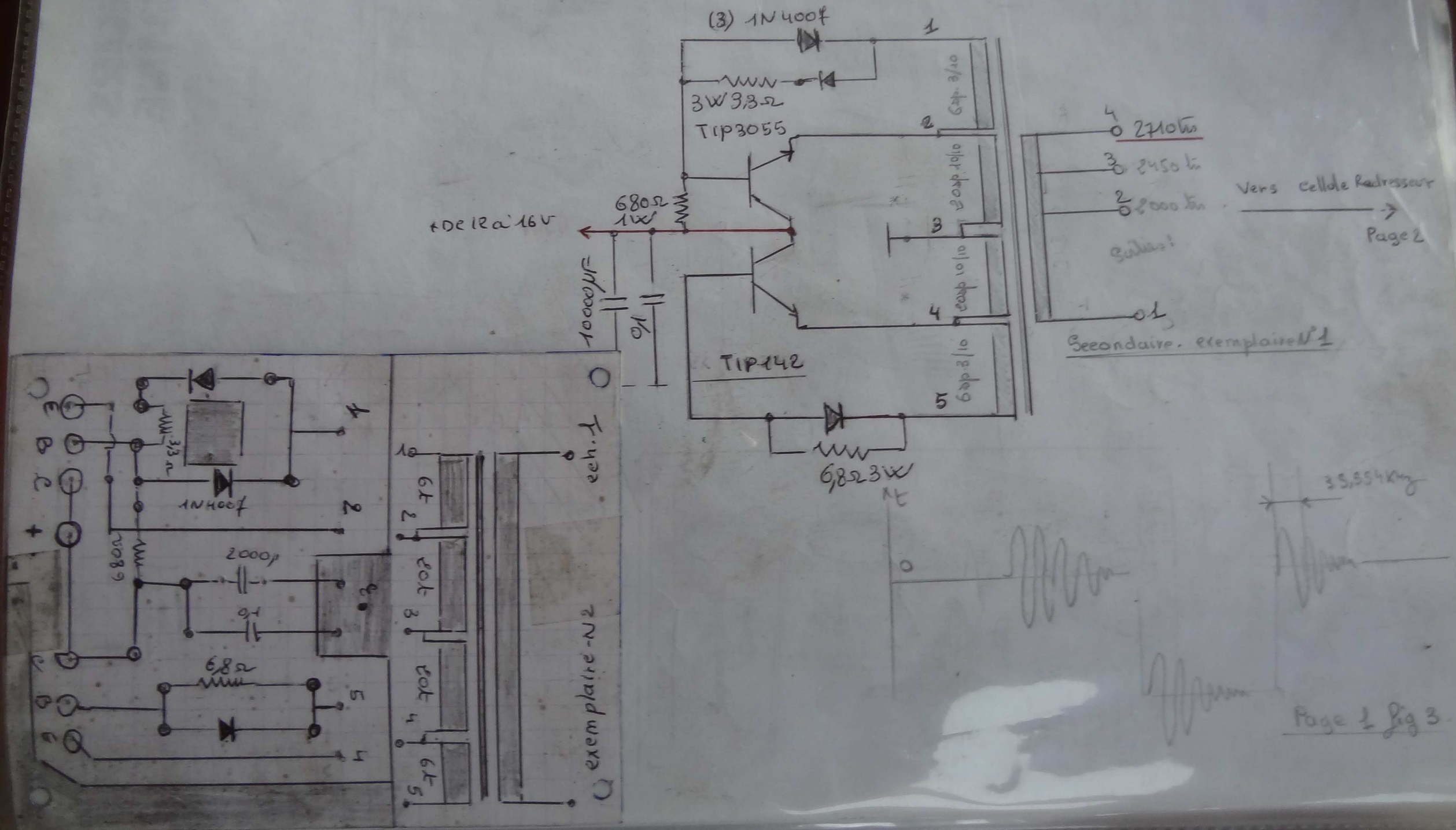

Oscillateur HT, HF: F = 40 Kg Pour HT. non redressée N° 1

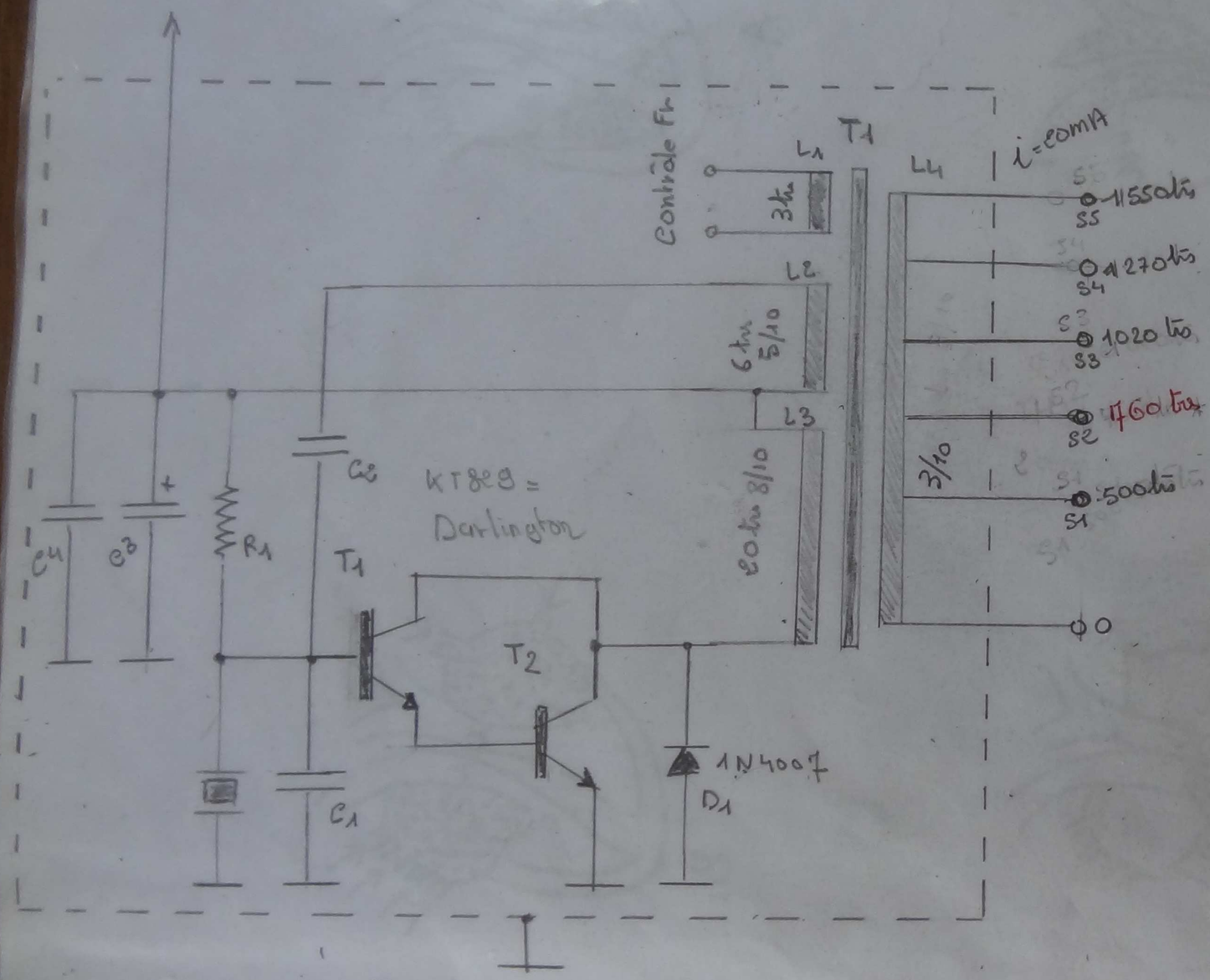

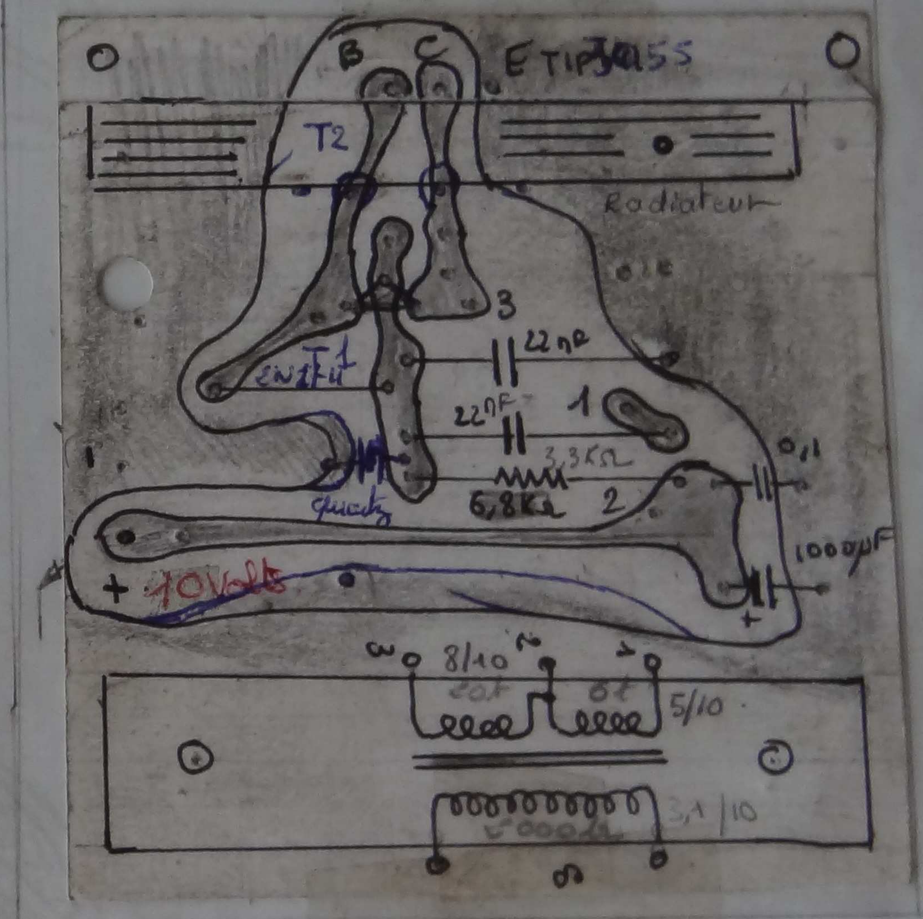

T1 = 2N 1711 T2 = Tip 3055 D1 = 1N 4007

R1 = 3300 Ω
C1 = 22 nF
C2 = 22 nF

C3 = 1000 µF
C4 = 0,1 µF

T1 = Transfo HT
L1 = 3 tr contrôle fréquence
L2 6 tr 5/10
L3 20 tr 8/10
L4 3,15/10

quartz :

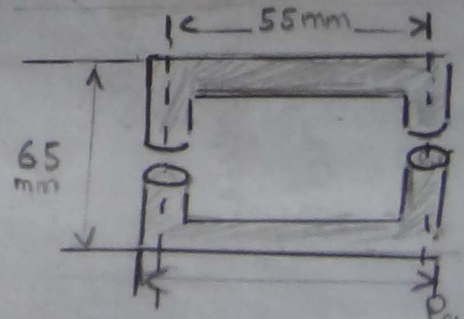

Ø 16 mm
TV - N - B
Ferrite

Page 1 Fig 3 (bis)

Oscilloscope s'enrouvrage

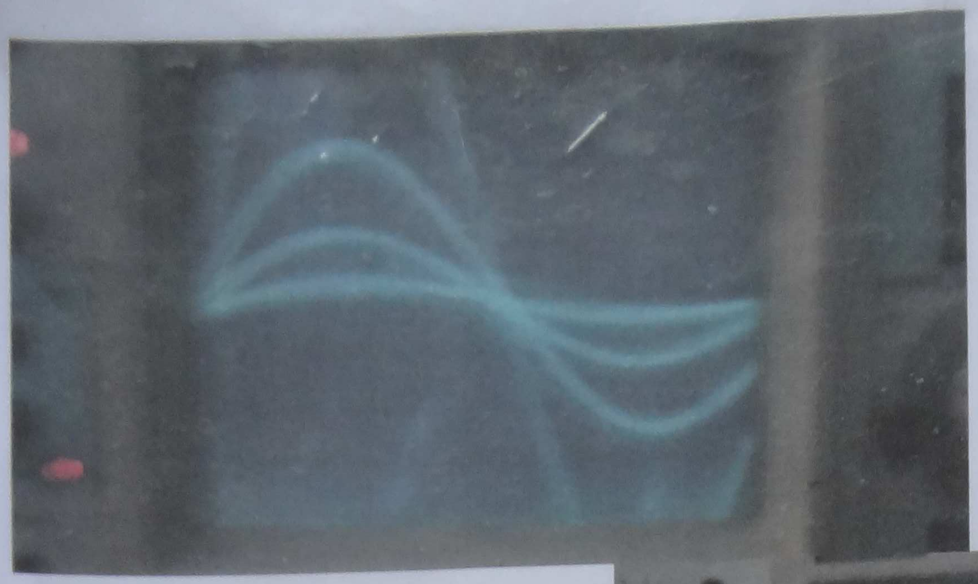

observations :

chaque sinus correspond à 1 étincelle de l'éclateur.

Bobine OV

Fréquence KHz

sachant que :

$F_{en\,Hz} = \frac{1}{t(s)}$.

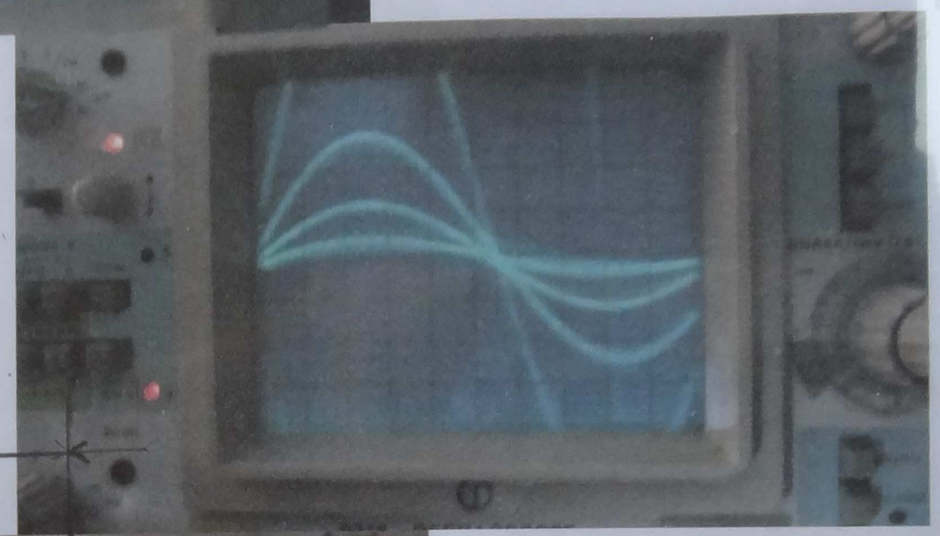

4 oscillations = 80 KHz

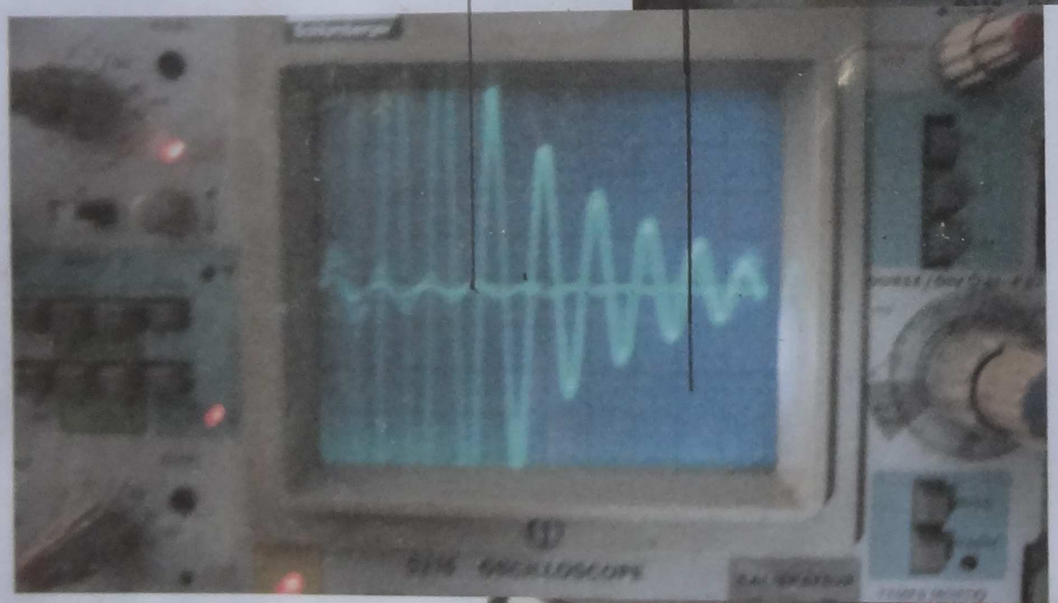

oscillateur HT

Bobine fil guinée

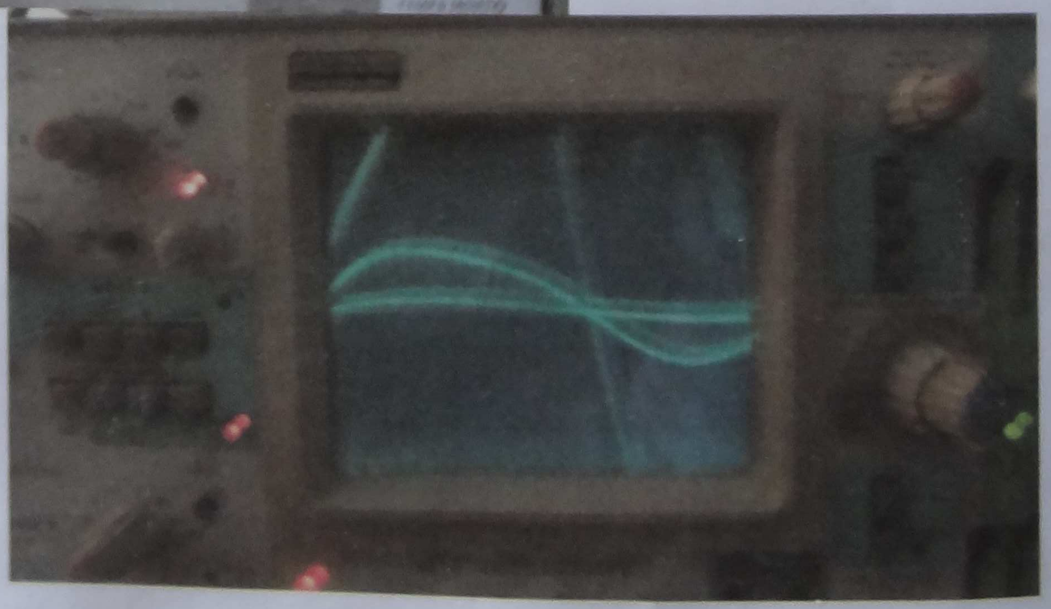



éclateur

2 à 5 KV

ALIMENTATION 220 – 12V

Suite fig 4

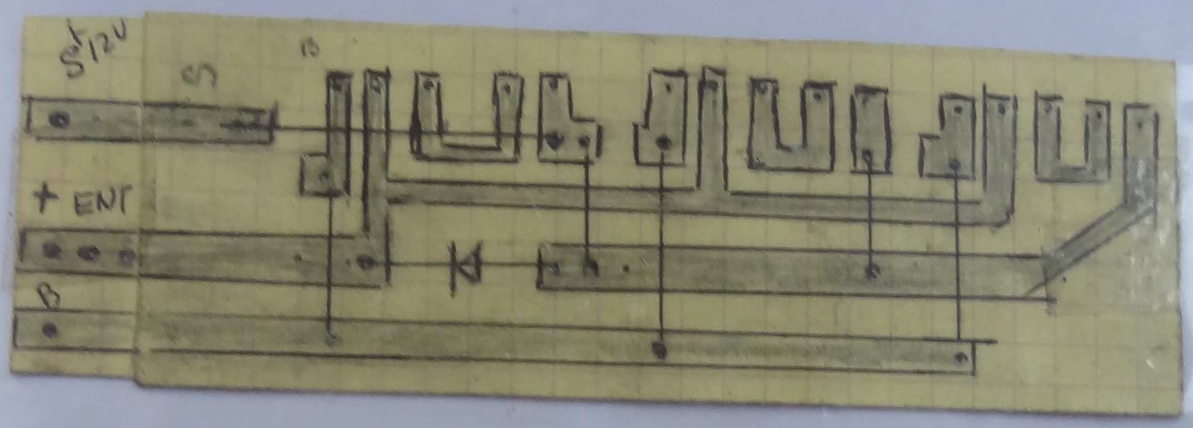

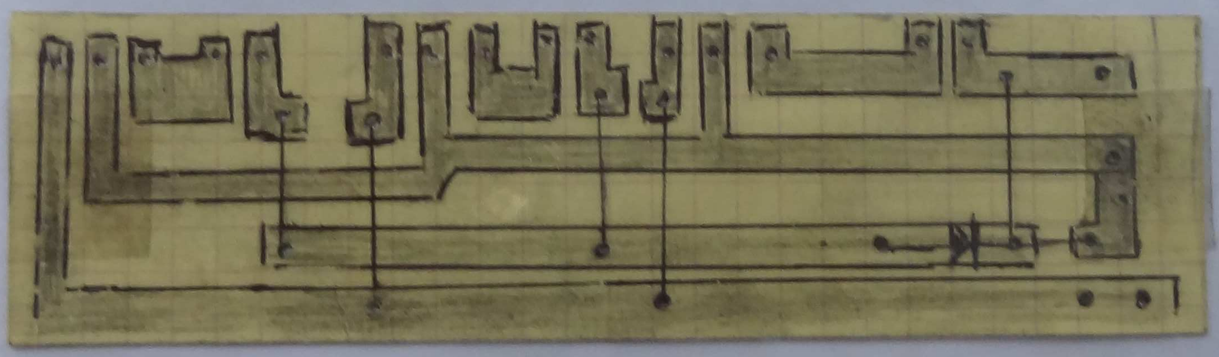

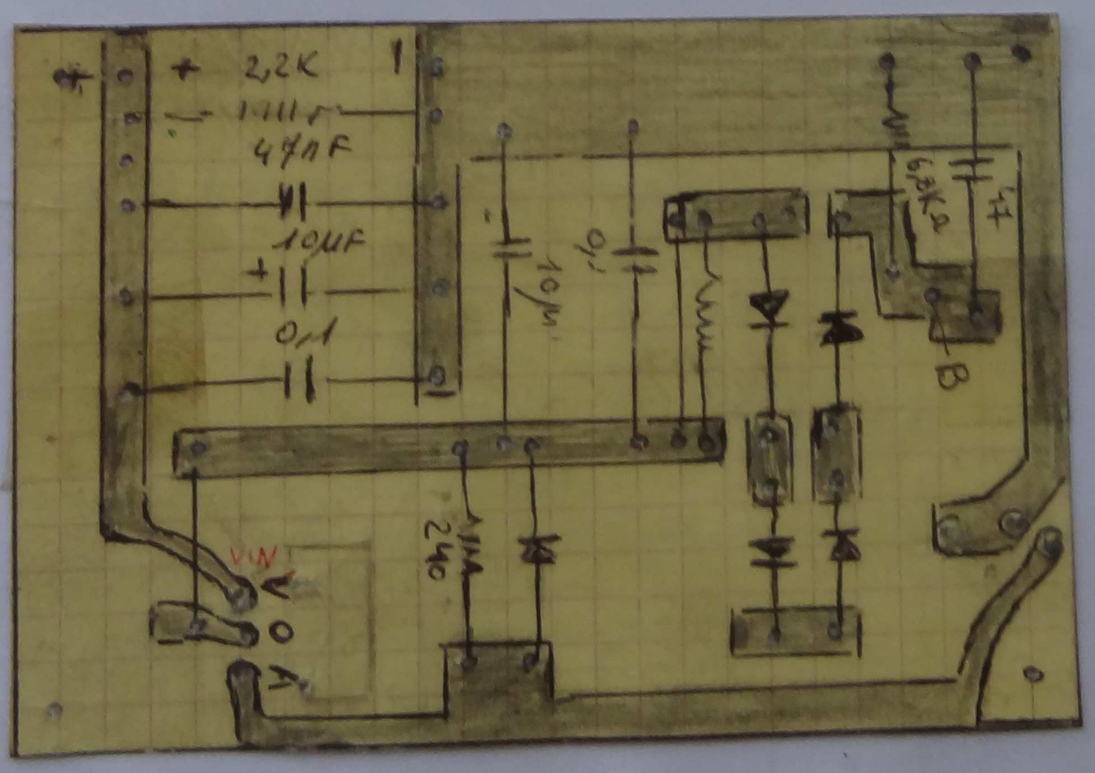

ALIMENTATION - 220 - 18V=

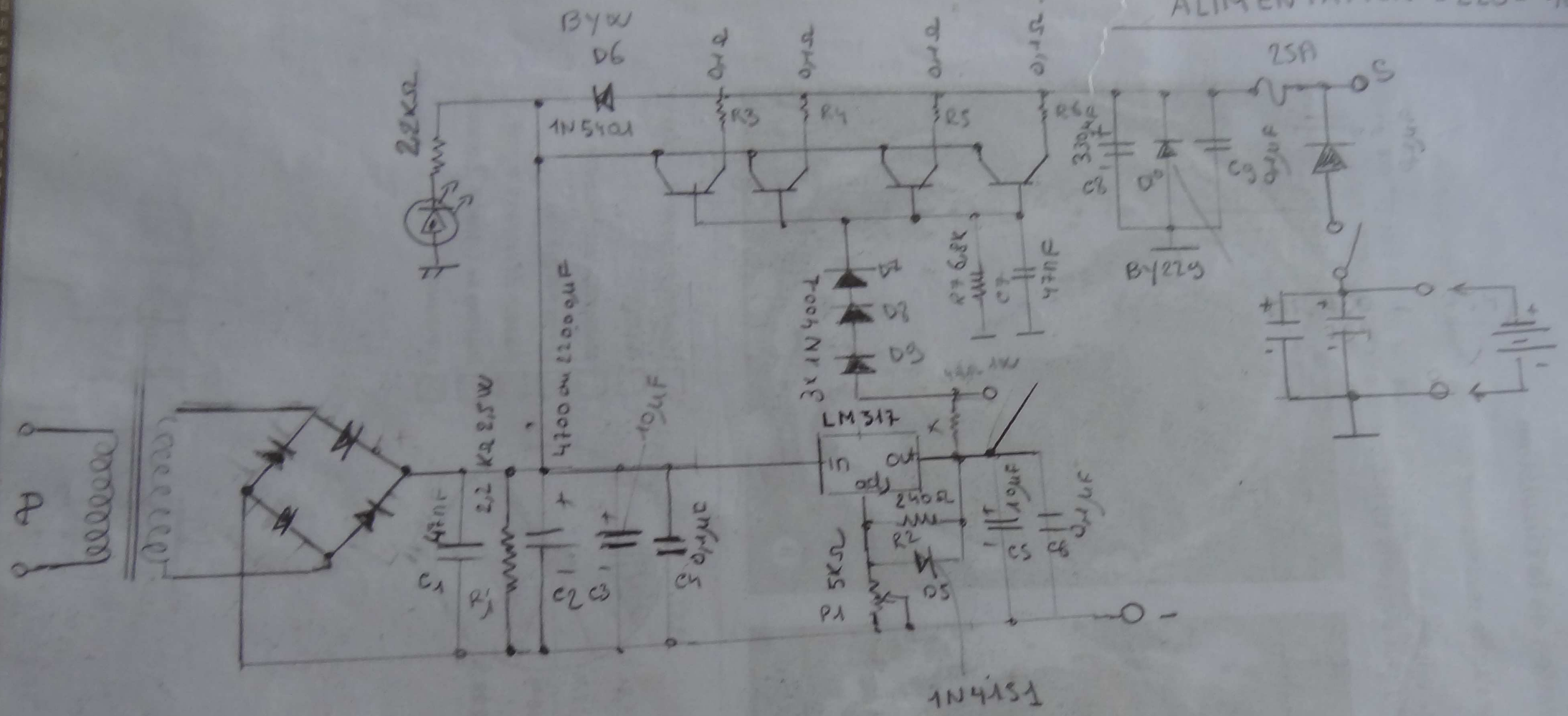

LM317 T (Boîtier TO220)



1N4150
1N4151
1N4148
1N4448
} 1N914

1N5401 = 5408
M750 = BY229
1N4001 = 4007

Fig 1

Réactance capacitive ou capacitance

$$Xc = \frac{1}{2 \cdot \pi \cdot F \cdot C}$$

F = Hertz
C = farad
$2 \cdot \pi = 6.28$

Réactance Inductive

$$XL = 2 \cdot \pi \cdot F \cdot L$$

L = Henry

Réactance en fonction de la pulsation.

la pulsation du signal en radian/seconde est = ω

$$\omega = 2 \cdot \pi \cdot F$$

on peut exprimer XL et Xc en fonction de la pulsation

$$Xc = \frac{1}{C\omega} \text{ et } XL = L\omega.$$

Susceptance

La susceptance est à la réactance ce que la conductance est à la résistance.
Son symbole est B. et elle est exprimé en Siemens (S)

Pour XL et Xc. on a

$$BL = \frac{1}{XL} = \frac{1}{L\omega} \text{ et } Bc = \frac{1}{Xc} = C\omega.$$

et réciproquement.

$$XL = \frac{1}{BL} \text{ et } Xc = \frac{1}{Bc}.$$

Unités de MESURE "Système MKSA"

La self : l'UNITE : le HENRY

1 H	mH	µH	nH
1	000	000	000

le nH = 10^{-9}
le µH = 10^{-6}
le mH = 10^{-3}.

Condensateur : le Farad.

Farad.	µF	nF	PF
1	000	000	000

Ex 470 PF = 0,47nF 3300 PF = 3,3 nF
0,47µF = 470nF
1µF = 1000 000 PF

Resistanee = Ω

MΩ	KΩ	Ω
1	000	000

la Fréquence : le Hertz

MHz	KHz	Hz
1	000	000

temps = Seconde

S.	ms	µs	ns
1	000	000	000

Réalisez et calculez vos selfs

Les selfs ou bobines ont une particularité remarquable : ce sont les seuls composants passifs que l'on puisse fabriquer facilement soi-même, et que l'on doive même fabriquer dans certains cas ; lorsque l'on a besoin de valeurs très faibles notamment. En effet, il suffit d'enrouler quelques spires de fil sur un mandrin, voir même sur « rien » ou « en l'air » comme l'on dit alors, pour réaliser une vraie self.

Cette possibilité étant très souvent mise à profit, surtout dans les montages haute fréquence où des valeurs d'inductances relativement faibles sont généralement nécessaires, nous allons voir comment calculer ces bobines de fabrication « amateur ».

Avant cela, il me faut mettre à mal une idée reçue largement répandue : ce n'est pas parce que vous fabriquerez une self vous-même qu'elle sera plus mauvaise ou moins fiable qu'un modèle du commerce pour peu que vous preniez un minimum de précautions. Bien sûr, les petites inductances moulées, codées par des anneaux de couleur comme des résistances sont très jolies ; mais elles ne sont pas nécessairement de meilleure qualité, surtout pour les faibles valeurs, que vos réalisations personnelles.

Les bobines à une seule couche, sans noyau

Les selfs les plus faciles à calculer sont les selfs dites à air ou sur air, ce qui signifie tout simplement qu'elles sont bobinées sur « rien » pour les plus rigides d'entre elles, ou bien sur un noyau totalement non magnétique (tube en plastique par exemple) pour les autres.

Pour être franc, il n'existe pas de formule permettant de déterminer avec exactitude la valeur d'une self. Les relations que je vais vous proposer sont donc des formules approchées qui donnent un résultat valable à 15 % près environ. Cette approximation doit cependant être relativisée ! N'oubliez pas en effet que la valeur de nombreux condensateurs n'est connue qu'à 20 % près, et encore je ne parle pas des chimiques pour lesquels la tolérance peut atteindre 50 % dès que l'on dépasse le µF !

Pour les selfs à air à une seule couche, c'est à dire celles que vous réaliserez le plus souvent et le plus facilement, la formule la plus connue et la plus précise est celle dite de Nagaoka que voici :

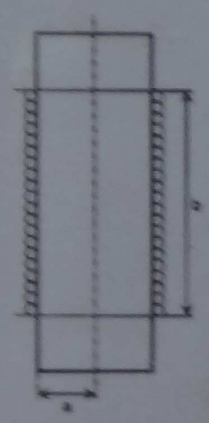

2 . a / b	k	2 . a / b	k
0	1	2	0,526
0,05	0,97	2,5	0,472
0,1	0,959	3	0,429
0,15	0,939	3,5	0,394
0,2	0,92	4	0,365
0,25	0,902	5	0,32
0,3	0,884	6	0,283
0,4	0,85	7	0,258
0,5	0,818	8	0,237
0,6	0,789	9	0,219
0,7	0,761	10	0,203
0,8	0,735	25	0,105
0,9	0,711	50	0,061
1	0,688	75	0,043
1,25	0,638	100	0,035
1,5	0,595	200	0,019

a = rayon de la bobine en cm

b = longueur de la bobine en cm

n = nombre de spires

k = coefficient donné par le tableau

L = inductance en µH

http://www.tavernier-c.com/bobinages.htm

03/03/2012 19:21:53

$L = (0{,}0395 \cdot a^2 \cdot n^2 \cdot k)/b$ (en µH)

Annonces Google

Livret E
8% de Revenus / An ! Sécurisez Votre Futur
Legendre-Patrimoine.com/LivretE

Normes Électrique
Jusqu'à 5 Devis, Pose ou Réparation Pour Tous Vos Travaux D'Electricité
123devis.com/Electricite

Prix Pompe à chaleur
Comparez 5 devis de Pompe à Chaleur contactez des pros qualifiés
www.quotatis.fr/pompe-a-chaleur

HelpDesk, Gestion de Parc
ITIL à un prix raisonnable. ITSM performant et convivial
www.trask-fr.com

amazon.fr

n'apparaît pas dans cette relation, dépend du nombre de spires et de la longueur de la bobine. Il peut presque être choisi librement mais il faut tenir compte des remarques que voici.

La résistance ohmique d'une bobine doit être aussi faible que possible, afin qu'elle se rapproche au mieux du composant parfait de résistance série nulle. On a donc intérêt à choisir du fil aussi gros que possible pour minimiser cette résistance. Ce choix est évidemment limité automatiquement par le rapport de la dimension b au nombre de spires !

Des impossibilités peuvent aussi se manifester. Ainsi, une bobine pour laquelle il faudrait enrouler 1000 spires de fil sur 5 mm de longueur serait irréalisable puisqu'il faudrait alors du fil de 5/1000 de mm ce qui n'existe pas ! Plusieurs passes peuvent donc être nécessaires lors de l'application de cette relation avant de trouver une combinaison de paramètres satisfaisante.

Les bobines à plusieurs couches sans noyau

Si vous faites quelques essais avec la relation précédente, vous vous rendrez compte très vite que pour obtenir des valeurs d'inductances relativement importantes (disons à partir d'un mH) il faut bobiner un très grand nombre de spires.

On arrive alors relativement vite à des blocages tel celui évoqué ci-dessus et de telles valeurs d'inductances doivent être considérées comme incompatibles d'un bobinage à une seule couche. Une première solution passe par la superposition de ces dernières.

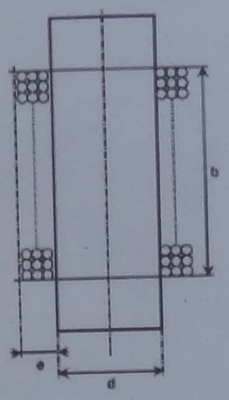

Dans ce cas, la formule de Nagaoka n'est plus utilisable et il faut faire appel à la relation appelée formule simplifiée de Maxwell, qui est la suivante :

d = diamètre de la bobine en m

b = longueur de la bobine en m

e = épaisseur de l'enroulement en m

n = nombre de spires

$$L = (n^2 . d^2) . (d^2 - 2{,}25 . e) / d . (43{,}8 . d + 112{,}5 . b^2)$$

Elle prend en compte l'épaisseur du bobinage et autorise de ce fait plusieurs couches. Malheureusement, cette relation est moins précise que la précédente et ce d'autant plus que le nombre de couches est élevé.

Les bobinages sur pot ferrite

Lorsque l'on veut réaliser un bobine de valeur un tant soit peu importante, la self à air est assez mal adaptée et il faut faire appel à un élément qui concentre les lignes de champ à l'intérieur de la bobine. Cet élément n'est autre qu'un noyau magnétique mais, pour obtenir des résultats relativement précis, il est conseillé de faire appel soit à un tore de ferrite, soit à un pot du même matériau.

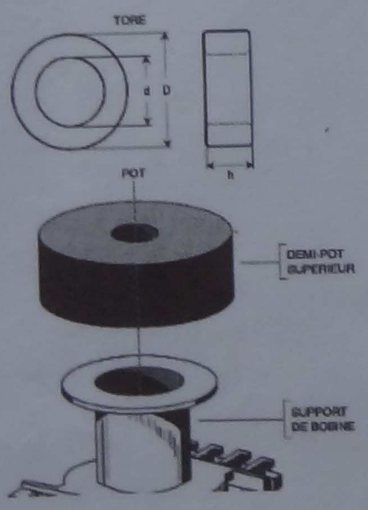

Ces supports, visible sur la figure ci-contre, existent à l'heure actuelle avec des tailles et des références bien précises et, si vous ne les avez pas mélangés dans vos tiroirs, vous pourrez calculer très précisément la self que vous obtiendrez en y bobinant du fil grâce à leur paramètre clé qui est l'inductance spécifique.

Cette donnée est baptisée Al et l'on doit toujours vous la fournir lorsque vous achetez un tel composant. En effet, si vous n'en disposez pas, vous n'aurez aucun moyen de la déterminer et votre pot ou votre tore sera parfaitement inutile. L'inductance spécifique Al dépend du matériau du tore ou du pot car, même si toutes les ferrites se ressemblent, leur composition et leurs propriétés magnétiques varient dans de grandes proportions. Al peut ainsi être compris entre 5 et 1000 environ.

Le calcul d'une bobine réalisée sur un tore ou sur un pot est d'une extrême simplicité puisqu'il fait appel à la relation :

L(nH) N² x AL

AL valeur de la ferrite donné par le fabriquant peut être en nH ou en PH.

$$\frac{1}{R} = \frac{1}{R_1} + \frac{1}{R_2} + \frac{1}{R_3}.$$

$$= \frac{1 \times R_2 \times R_3}{R_1 \times R_2 \times R_3} + \frac{1 \times R_1 \times R_3}{R_2 \times R_1 \times R_3} + \frac{1 \times R_1 \times R_2}{R_3 \times R_1 \times R_2}$$

$$= \frac{R_2 \times R_3 + R_1 \times R_3 + R_1 \times R_2}{R_1 \times R_2 \times R_3}.$$

$$R = \frac{1}{R} = \frac{R_2 \times R_3 + R_1 \times R_3 + R_1 \cdot R_2}{R_1 \cdot R_2 \cdot R_3}.$$

$$R = \frac{R_1 \cdot R_2 \cdot R_3 \cdot \cdot R}{R_2 \cdot R_3 + R_1 \cdot R_3 + R_1 \cdot R_2 \cdot R} =$$

$$R = \frac{R_1 \cdot R_2 \cdot R_3}{R_2 \cdot R_3 + R_1 \cdot R_3 + R_1 \cdot R_2} =$$

Tel. 004155617-0088
KURT- AMstad.

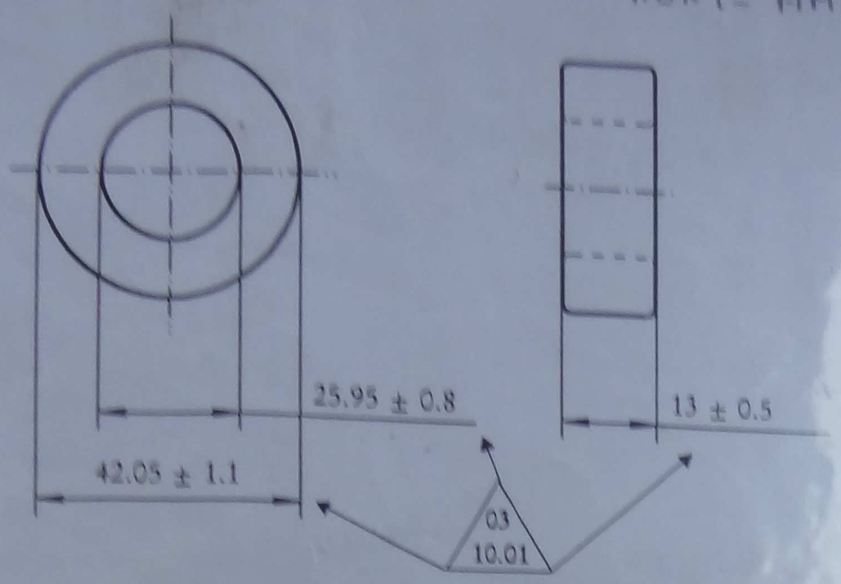

DIMENSIONS ACCORDING TO: / DIMENSIONES SEGÚN: IEC 205

$\Sigma l/A$ (mm^{-1})	$\Sigma l/A^2$ (mm^{-3})	A_e (mm^2)	l_e (mm)	V_e (mm^3)
1.08	0.01	95.75	103.03	9864

ELECTRICAL SPECIFICATIONS / ESPECIFICACIONES ELÉCTRICAS

PROPERTY PROPIEDAD	SPECIFICATION ESPECIFICACIÓN	TOLERANCE TOLERANCIA	UNIT UNIDAD	TEST CONDITIONS / CONDICIONES DE PRUEBA			
				FREQUENCY FRECUENCIA (kHz)	INDUCTION INDUCCIÓN (mT)	EQUIPMENT EQUIPO (1)	TEMPERATURE TEMPERATURA (ºC)
A_L	6425	± 25%	nH/N^2	Up to/hasta 200	≤ 0.1	HP-4284A	25 ± 3

(1) Or similar / O similar

OTHER SPECIFICATIONS / OTRAS ESPECIFICACIONES

VISUAL REQUIREMENTS according to: / ESPECIFICACIONES VISUALES según : GUV-4-0-0/2

High voltage insulation ≥ 2 kV / Aislamiento a alto voltaje ≥ 2 kV

UN-D 28 — Ra in micron (µm)

Tolerances unless otherwise stated / Tolerancias salvo que se establezca lo contrario — DIMENSIONS / DIMENSIONES ± 3% | ANGLE / ÁNGULO — UN-D 603

	NAME / NOMBRE	SIGNATURE / FIRMA	DATE / FECHA
Check / Chequeo	M. Oter	[signature]	03.10.01
Approval / Aprobación	R. García	[signature]	03.10.01
Other / Otro			

GENERAL ROUGHNESS / RUGOSIDAD GENERAL — UNIT / UNIDAD mm.

MATERIAL: Ferroxcube 3E25 according to / según K-7310

SCALE / ESCALA: None / Ninguna — PROJ. EURO / PROY. EURO

TOROID COATED WITH EPOXY — 03 / 10.01

TOROIDE RECUBIERTO CON EPOXY

Bare dimensions : 41.8 x 26.2 x 12.5

TYPE NUMBER / TIPO: TX42/26/13-3E25 — QUOT / COTIZACIÓN: 1643-B

4330 030 4521

1	~~02.06.12~~
1	03.10.01

STATUS / FASE: 92.07.09 — 94.02.25

SHEETS / HOJAS 1 — SHEET / HOJA 110 — 1 — 071

ISSUED BY / CREADO POR: M. CANO /ER — SUPERSEDES / SUSTITUYE A: — DATE / FECHA: 92.03.23 — A-4

GU — PROPERTY OF / PROPIEDAD DE: HISPANO FERRITAS, S.A. - GUADALAJARA, ESPAÑA

06.12 Updated / Actualizado

Ferrite mégatron.

Ø 4c ép 13

de 50Hz à 3,100Hz – Suivi inférieur double



Bande passante 3,2KHz à 2,100MHz.

Ferrite ø4c ep. 18

F de 50Hz à 2500Hz

	10KHz	100KHz	1MHz	10MHz	type de ferrite
	3E25	3H2	3F3 - 3C85	4C6 4C65	
AL	3800		1250 3C90	ø23 87	
	ø23		ø18		

Ferrite épaisseur 15 AL : 6400 nH

18 AL : 9014 nH

TX42 26 13 3C90 AL 6900 nH – µ 2300

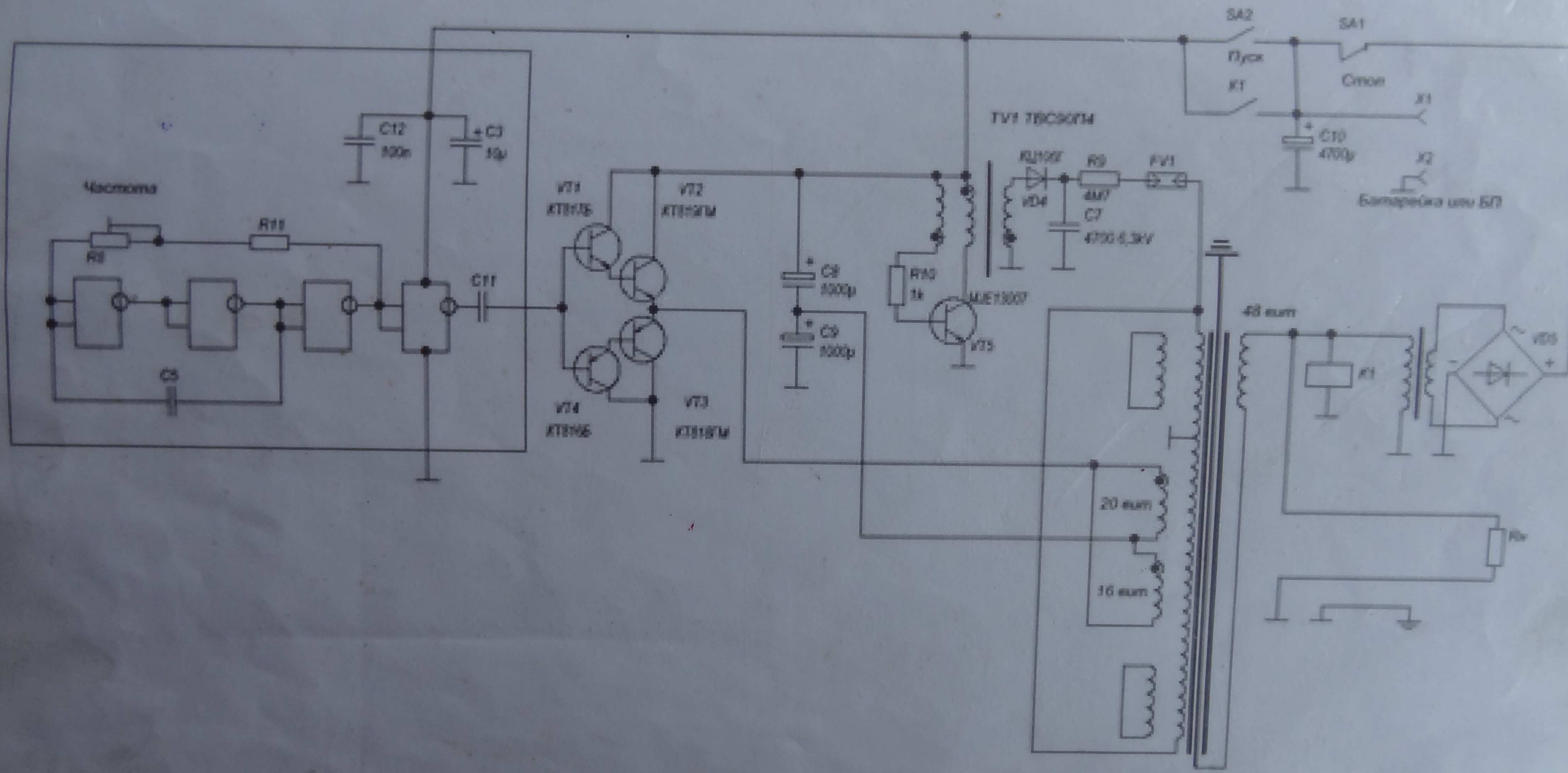

SA2
Пуск
SA1
Стоп
K1
X1
C10
4700μ
X2
Батарейка или БП
TV1 ТВС90ПМ
КЦ106Г
R9
4М7
FV1
VD4
C7
4700-6,3kV
C12
100n
C3
10μ
Частота
R8
R11
C11
C5
VT1
КТ817Б
VT2
КТ819ГМ
VT4
КТ816Б
VT3
КТ818ГМ
C8
1000μ
C9
1000μ
R10
1k
MJE13007
VT5
48 вит
K1
VD5
20 вит
16 вит
Rн

Neon- Transformer 35KHz.

12V- Alim. 3KV - 35Kz 20mA

Radio - shack (EBAY)

Radioshack-

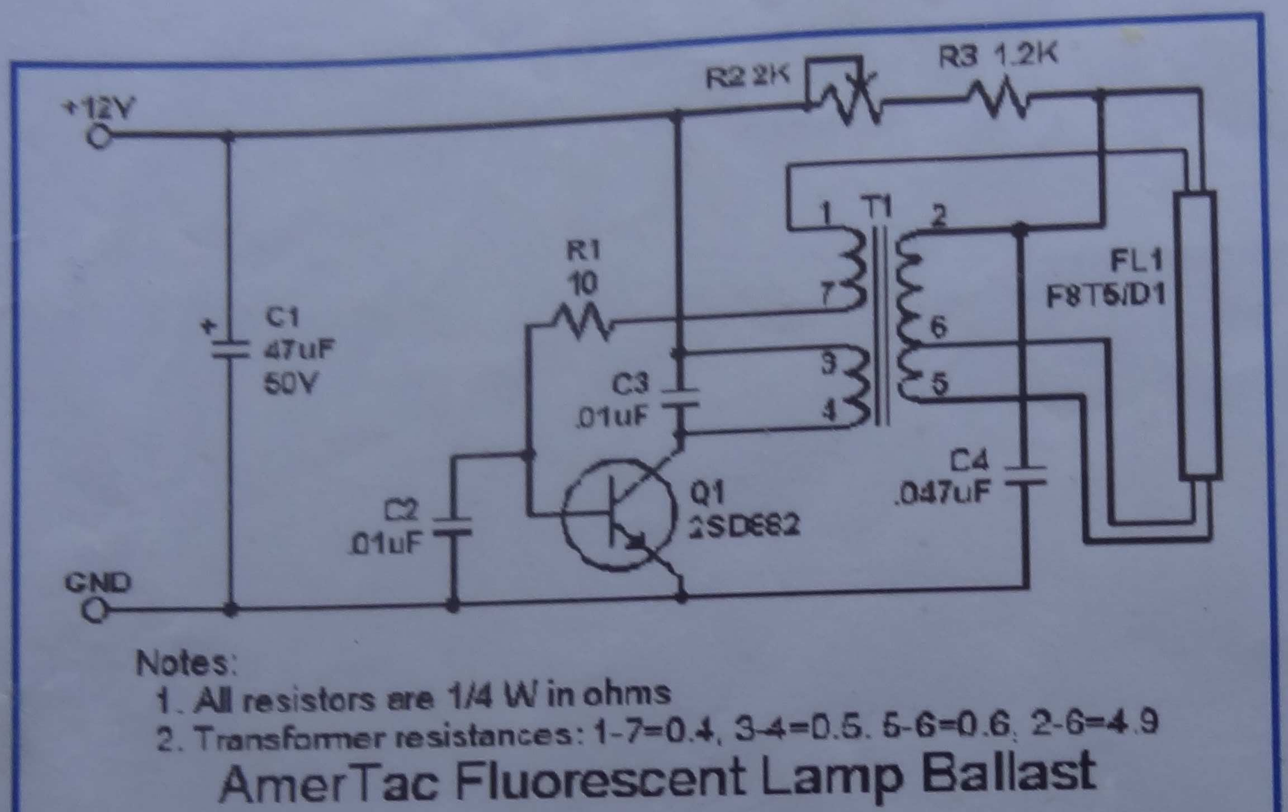

Notes:
1. All resistors are 1/4 W in ohms
2. Transformer resistances: 1-7=0.4, 3-4=0.5, 5-6=0.6, 2-6=4.9

AmerTac Fluorescent Lamp Ballast

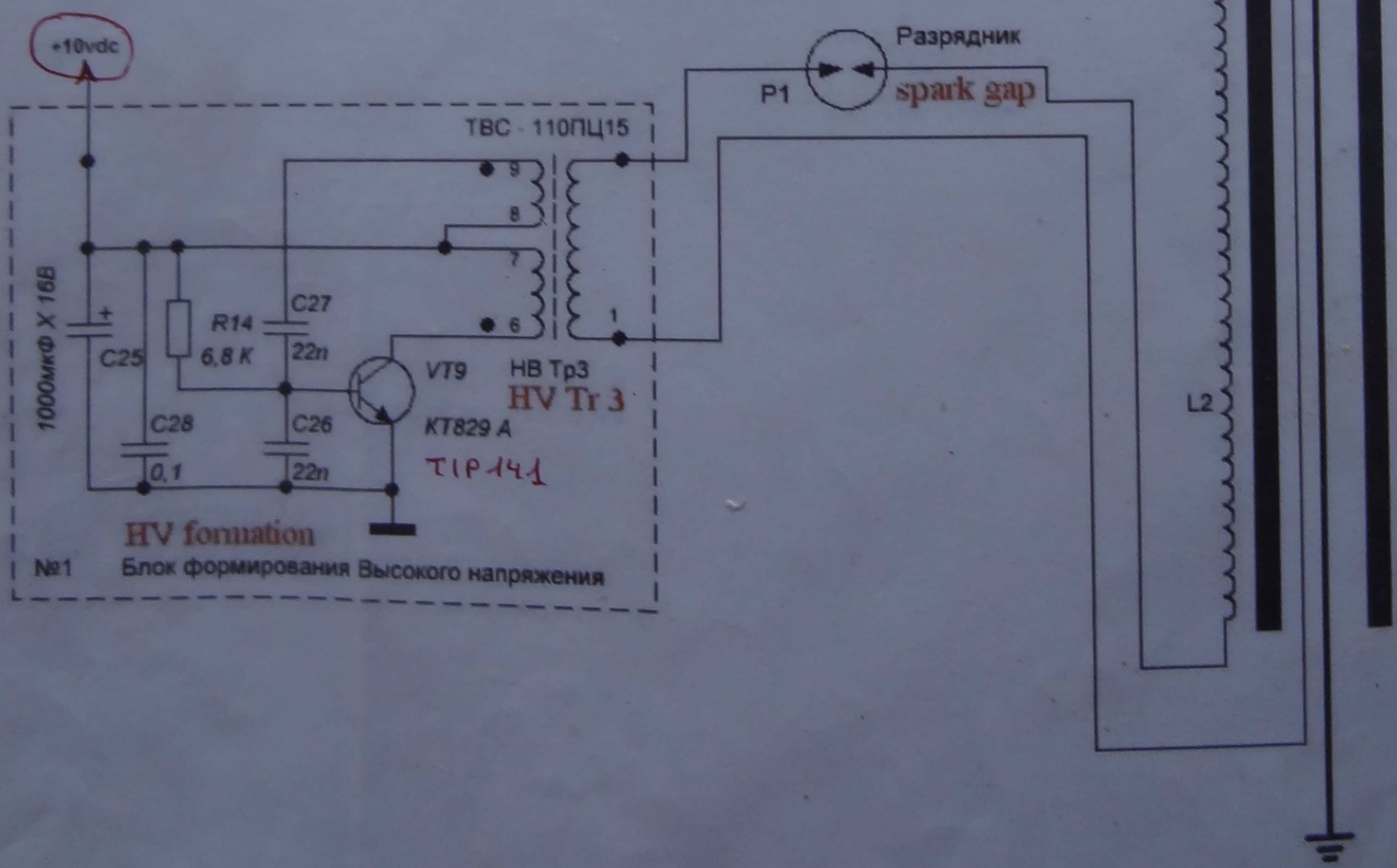

T1 { L1 : 6 Tours 2/10
L2 : 20 Tours 2/10
L3 : 1800 Tours. 1/10

?

10 Tours

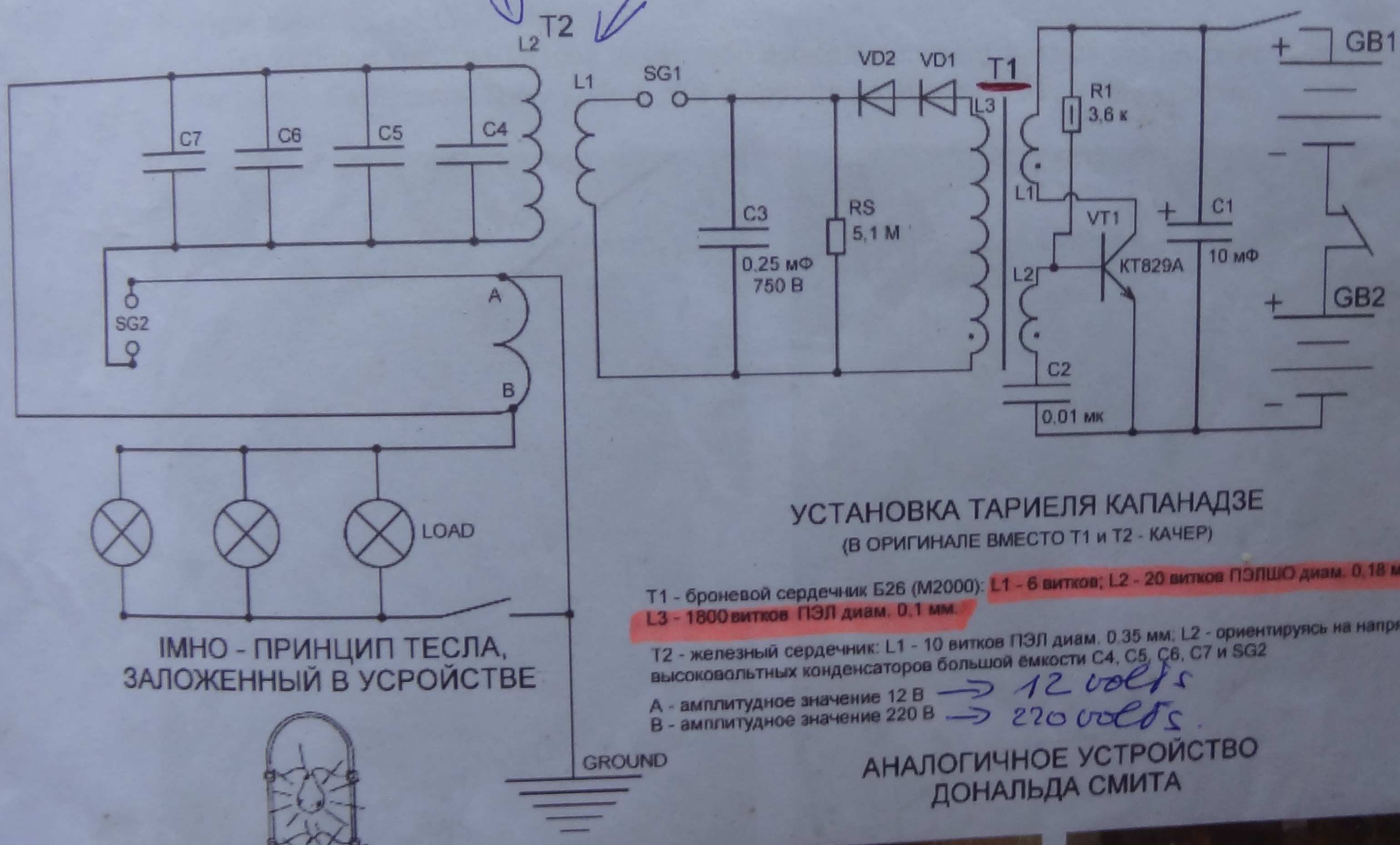

ІМНО - ПРИНЦИП ТЕСЛА, ЗАЛОЖЕННЫЙ В УСРОЙСТВЕ

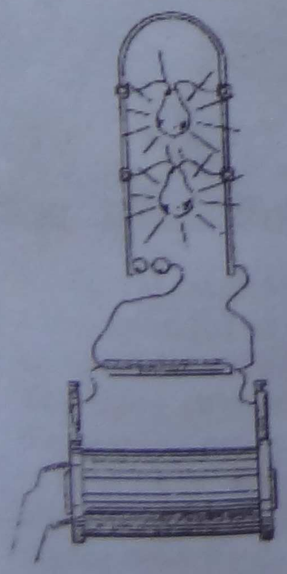

УСТАНОВКА ТАРИЕЛЯ КАПАНАДЗЕ

(В ОРИГИНАЛЕ ВМЕСТО Т1 и Т2 - КАЧЕР)

Т1 - броневой сердечник Б26 (М2000): L1 - 6 витков; L2 - 20 витков ПЭЛШО диам. 0,18 мм; L3 - 1800 витков ПЭЛ диам. 0,1 мм.

Т2 - железный сердечник: L1 - 10 витков ПЭЛ диам. 0,35 мм; L2 - ориентируясь на напряжение высоковольтных конденсаторов большой ёмкости С4, С5, С6, С7 и SG2

А - амплитудное значение 12 В → 12 volts
В - амплитудное значение 220 В → 220 volts.

АНАЛОГИЧНОЕ УСТРОЙСТВО ДОНАЛЬДА СМИТА

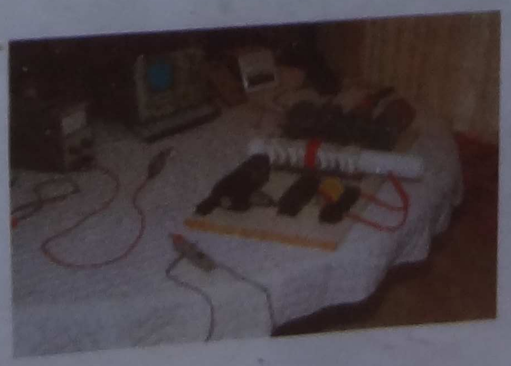

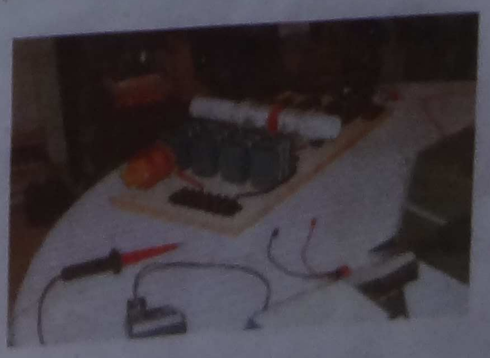

oscillateur HT

Ampli 50Hz

oscillateur 50Hz.

Mod.

Alimentation

Tariel- Kapanadze "Transparent Box" Full vidéo.

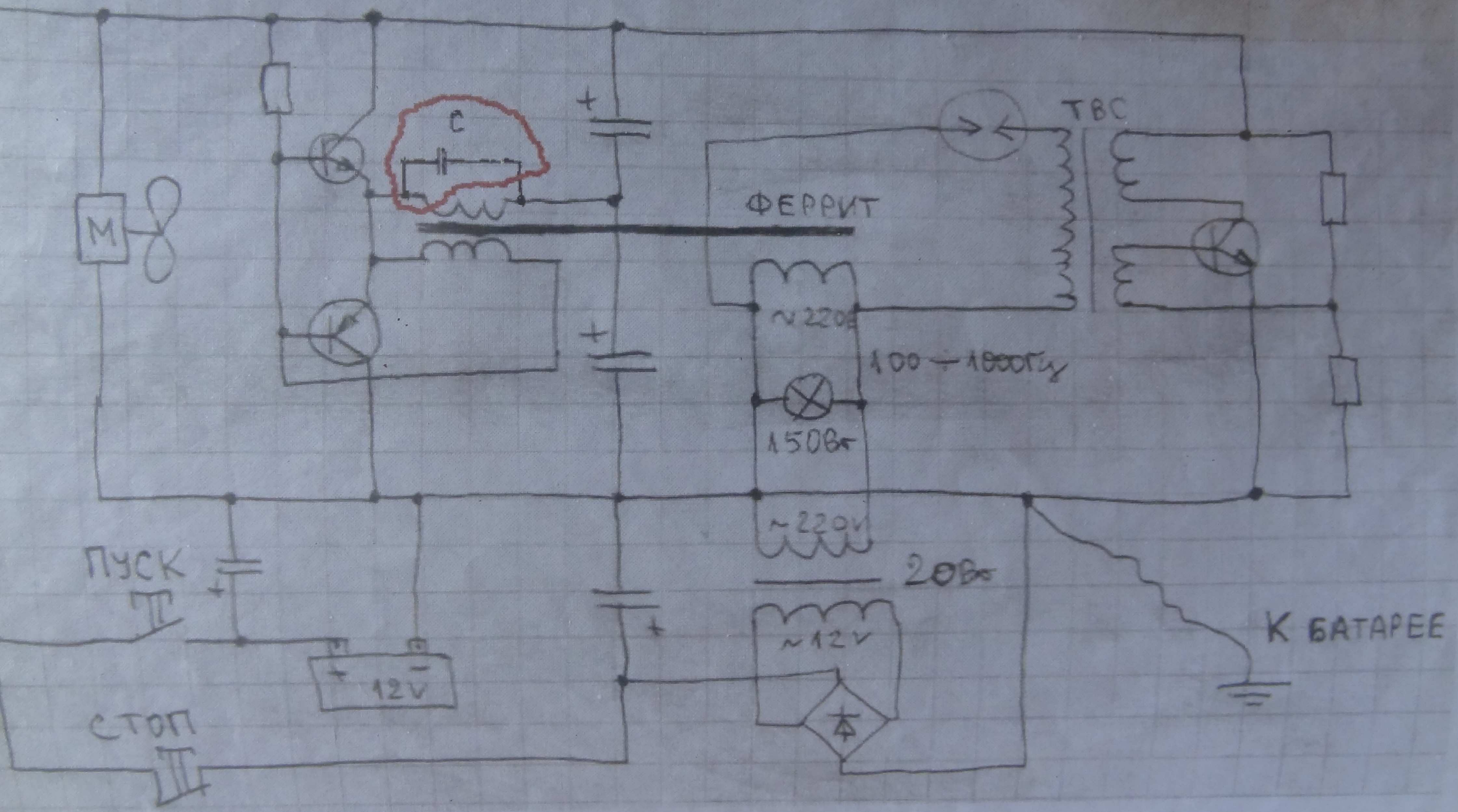

- Nouvelle video Kapanadze. -
  Néon. Transformer -
  Puissance en cadeaux.

- Tariel. Kapanadze. HU generating client SHUGS.
* Brevet International (WO 2008/103129 A1) du 28 août 2008
- Tariel Kapanadze Transparent Box Full Video.
- Kapanadze ARTE. TU Georgien Er findet kostenlose Energie.
- Self running free energy Kapanadze 10 KW
  KAPANADZE. 2004.04.28. 5KW.

Expr.1 replika. Kapanadze.
Expr.2 replika. Kapanadze.
- Replika. Kapanadze expp.3
- Replika - Kapanadze expr.4
  " " expr.5

LABO343 Ecrit le: Dimanche 13 Juin 2010 à 23h13

Etude KAPANADZE

Expert(e)

Groupe: Membres
Messages: 956
Membre n°: 141
Inscrit le: 01/12/2005

1 L' ASPECT MORAL

après avoir vu la démonstration vidéo de Tariel Kapanadze pour l'extraction de l'énergie libre, j'ai commencé à éprouver de la sympathie pour cette personne en tant qu'inventeur dévoué ainsi qu'en tant qu'homme. Nous devons lui donner le niveau de respect qu'il mérite et le mettre au même niveau qu' Edvin Gray, John Bedini, Habbard, B. Grebennikov et le reste de la liste des chercheurs inventeurs de l'énergie libre.

II. L'ASPECT SOCIAL

Il est vrai, l'énergie libre entraine une longue liste de conséquences pour lesquelles nous

nous ne sommes pas intéressés. Le plus grand impact, c'est que cet appareil pourrait remplacer la station électrique ou tout ce que vous pouvez penser comme source d'énergie. Par conséquent, cela peut annihiler toutes les recettes tirées des ressources naturelles comme l'exportation de l'énergie et la partie du produit national brut en rapport avec tous les aspects de l'extraction et du transport des combustibles fossiles. La vie sur terre est constamment en développement. Des vaisseaux spatiaux naviguent à travers le système solaire, mais ici sur terre, jusqu'à maintenant, on utilise massivement les carburants fossiles comme source principale de transport. En conséquence il est impératif que nous, les chercheurs, prenions des mesures pour notre propre protection. Toutes les informations sur la recherche de l'énergie libre devront être publiées en finalité de façon largement ouverte sur internet afin d'être conservés dans la base du mouvement de l'énergie libre.

III. MOTIFS DE BASE

Dans mon explication, je vais essayer d'exclure totalement la présence du générateur, comme on le voit dans le film. Le principe de travail du dispositif de Kapanadze est basé sur l'interdépendance fondamentale et ceci est la base pour l'ensemble du dispositif. Il est tout à fait simple, mais pour expliquer les choses dans l'ordre nous devons construire un certain cadre conceptuel sans aucun préjugé. La figure ci dessus montre le brevet de Tariel Kapanadze. Elle semble tout à fait différente de la boîte verte que nous voyons sur la vidéo, et en plus, on dirait que ça a été amélioré.

IV. SIMPLE CYCLE DE RESONANCE DANS L'ENVIRONNEMENT

Commençons par le début. Un circuit parallèle LC. Charge du condensateur puis décharge du condensateur dans la bobine d'induction. L'induction crée une tension dans l'environnement immédiat de la bobine : poussée douce, poussée, pas d'impulsion brusque. La poussée en retour de l'environnement cause la self induction, charge le condensateur, ce qui cause une résonance dans le circuit. Ainsi, le circuit met en place une onde stable créant la fréquence de résonance. Quelle est la cause de cela? C'est la conséquence de la poussée de l'environnement alentours vers un côté et chargeant le condensateur par absorption de l'énergie créée par la poussée conséquente de l'environnement alentours de l'autre côté. Cent pour cent d'un cycle de résonance se crée sur un pont, lorsque marchent trop de soldats romains. La surface du pont réagit et c'est suffisant pour que le pont entre en résonance et se brise. Permettez-moi de revenir au circuit LC. Je veux changer la capacité dans le sens de la croissance ou de la décroissance. Que se passe-t-il ? L'existence de la résonance persiste, seulement si la fréquence et l'amplitude varie en conséquence de la modification de "l'équilibre de l'énergie" dans le schéma. Du point de vue de l'environnement local, tout est resté comme avant. Il y a, comme auparavant, la résistance électromagnétique,

un schémas au SOS

ndrf) si l'on enlevait le condensateur, nous aurions un simple circuit HF à multiplication de fréquence !!! Un emetteur radio !!!

(54) Title: INDEPENDENT ENERGY DEVICE

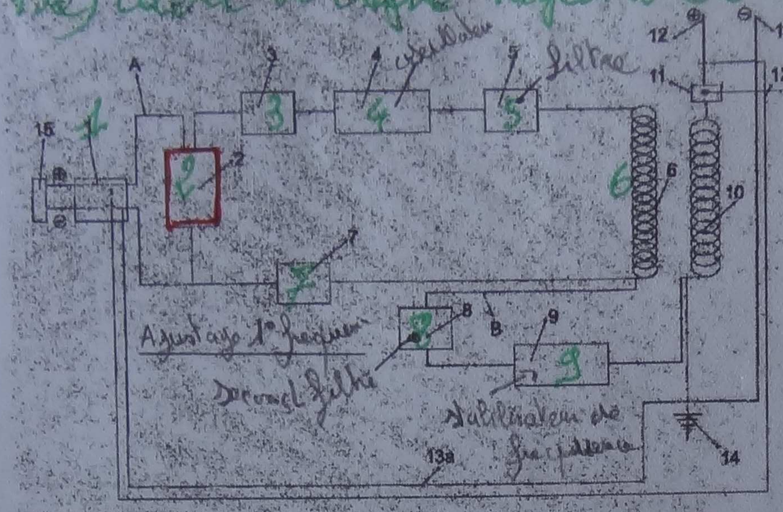

Figure - 1

(57) Abstract: The independent energy device improved with this invention, starts operation with the initial electric energy received from the initial energy supply (15) and afterwards generates energy consistently and is characterized to include power switch (1), capacitor (2), points (3), high frequency generator (4), first filter (5), first bobbin (6), first frequency adjuster (7), second filter (8), frequency stabilizer (adjuster) (9), second bobbin (10), second frequency adjuster (11), exit (phase) (positive) (12), positive self feeding cable (12a), exit (neutral) (13), negative self feeding cable (13a), neutral (grounding) (14), initial power supply (15).

The above figure gives the patenet of Tariel Kapanadze. It looks quite different from the green box we see on the video, and in addition, it looks like it has been imporved appon.

IV. SINGLE SYCLE RESONANCE IN THE ENVIRONMENT

Let start from the beggining. Parallel LC cerquit.

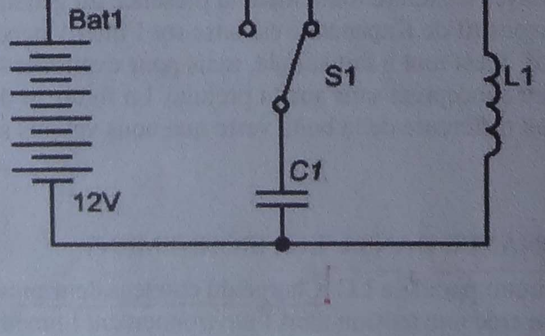

Charge the capacitor. Discharge the capacitor into the induction coil. The induction creates tention in the immediate coild invironment - soft push, push, not sharp impuls.The environment pushes back causing self induction, charing the capacitor, causing consequential

resonance in the cercuit. Thus, the cercuit sets up a stable wave creating the resonance frequency.

What is the cause of that?

It is the consequence of push of the surrounding environment towards one side and charging the cappacitor by abosorbing the energy created by the consequent push from the surounding environment to the opposite side.

One hundred percent one sycle resonance on a bridge, when over it there are marching the roman soldiers. The bridge's serferce pushes back and this is enouph for the bridge to enter in resonance and break.

Lets go back to the LC cerquit.

I will change the capacitence in incremental or the decremental direction.What is happaning?

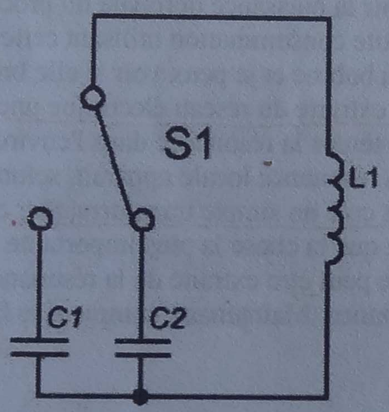

The existence of the resonance is persistent, only it frequency and amplitude change in consequence of the change to "the energy balance"in the schema.

From the point of view of the local environment - everything is staying as it was before. It has, as before, electromangnetic resistance, always trying to equalize the created local gradient from the tension, "elasticity".

In the development of this thought, here comes a question. Is there a natural resonance of the environment. In meaning, could we coincidentally, using our electrical schema, find some kind of uknown to us natural resonance and as a consequance lock on it. I am answering NO!.

For the entire history of radio electrical science and the investigated electrical schema it would have been impossible not to find and lock on such an electromagnetic resonance.

essayant toujours d'égaliser le gradient local créé par la tension, «élasticité». Dans le développement de cette pensée, se pose une question. Ya t-il ici une résonance naturelle de l'environnement ? Dans un sens, pourrions-nous par hasard, en utilisant notre schéma électrique, trouver certaines sortes de résonances naturelles inconnues et en conséquence se boucler sur elles ? Je réponds non! Dans toute l'histoire de la science radio électrique et dans le schéma électrique exploré, il aurait été impossible de ne pas trouver et verrouiller sur une telle résonance électromagnétique. Mais il y a une petite ouverture. C'est le volume de l'environnement, délimité par les côtés de la forme d'un objet matériel, où les ondes électromagnétiques peuvent rebondir. Dans ce volume, nous pouvons observer ce qu'on appelle la résonance de volume, induite non seulement par le processus d'induction, mais aussi par le flux du rayonnement électromagnétique. Mais cette question est pertinente pour la fondation «WSG » et nous n'entrerons pas dans ce débat.

V. DEUX CYCLES DE RESONANCE DANS L'ENVIRONNEMENT

Qu'est ce que je veux ensuite. J'enlève la capacité dans le schéma et à sa place je connecte la bobine à un générateur d'ondes sinusoïdales, favorablement avec de faibles coefficients de variation non linéaires, et j'étudie le même environnement local. Local parce qú'il est créé par la loi de la diminution de la puissance de l'induction électromagnétique en fonction de la distance de sa source. Et merci à Dieu pour cela, sinon nous serions en constante résonance. Afin d'avoir la surveillance de la résonance de l'environnement local, j'ai mis une petite bobine d'induction sur la première bobine et je l'ai connectée à l'oscilloscope.

Qu'est-ce qui se passe? Nous pouvons voir la même résonance de l'environnement, simplement beaucoup mieux, parce que le générateur, en l'absence de capacité, ne pousse pas seulement l'environnement dans une direction, mais aussi le tire dans l'autre. Je peux voir la puissance optimale du processus de fluctuation de l'environnement. J'ai tout de suite pensé à l'ajout d'une petite consommation utilisant cette énergie. Pour ce faire, j'ajoute une ampoule de lumière incandescente sur la bobine et je peux voir si elle brille légèrement. Mais à ce moment je vois que mon générateur a commencé à extraire du réseau électrique une puissance égale à la puissance de l'ampoule incandescente. Dans le même temps la résonance dans l'environnement local a commencé à glisser et j'ai compris que dans l'environnement la résonance locale apparait, selon la définition de la « friction » de Tesla. Tous mes ajouts créés dans le circuit ont créé un simple transformateur et mon énergie libre a été perturbée et a disparu. Avec honte je me rends compte que la chose la plus importante a été perturbée : la résonance de l'environnement local. L'énergie libre ne peut être extraite de la résonance de l'environnement que dans la condition de ne pas perturber cette résonance. Maintenant, comment le faisons-nous?

VI. EVOLUTION DE L'IDEE

Dans ce cas, une aide vient de « Rithmodinamics de U. Ivanov ». Ivanov décrit les développements suivants. Lorsque dans le réseau commun d'énergie Ukrainienne, héritée de l'ex-URSS, la fréquence en Hz a été diminuée il a été constaté un déséquilibre massif, avec de la puissance circulant depuis la Russie vers l'Ukraine. Je l'ai appelé « résonance Xoxliatsky ». Exactement ce qui est important pour nous : l'ensemble de la réaction « rithmodinamique ». Il est intéressant de savoir si Kapanadze était au courant à ce sujet ou simplement s'il a rencontré ce processus accidentellement.

En outre, il est très intéressant si Alfred M. Hubbard (Hubbard Générateur) est au courant au sujet de cette propriété du flux d'énergie ou s'il l'a aussi rencontré accidentellement. Ici, il révèle la réponse à notre question: comment extraire l'énergie libre de la résonance de l'environnement : depuis l'environnement, et non pas depuis le circuit électrique.

VII. DEUXIÈME RESONANCE MELANGEE DE L'ENVIRONNEMENT LOCAL

C'est pourquoi, en utilisant l'analogie avec la fréquence de résonance mélangée locale, nous pouvons extraire l'énergie à partir de la plus grande résonance propre commune, là où existe l'énergie libre cachée. Nous pouvons nous limiter à rechercher les paramètres de la deuxième bobine d'induction et c'est la résonance, créée pour extraire l'énergie de la résonance déjà créée dans l'environnement local de la première bobine d'induction

1. Le volume d'énergie, extraite de la seconde induction doit être l'ampleur de 10 puissance moins un et encore plus, moins de volume de l'énergie, créé dans la première induction.

2. En conséquence de cela, le champ magnétique de la seconde bobine d'induction doit être beaucoup plus petit que le champ magnétique de la première bobine d'induction.

3. En raison de l'exigence du champ magnétique, les mesures physiques et la capacité en Henry de la seconde bobine d'induction doivent être plus petits que la première bobine.

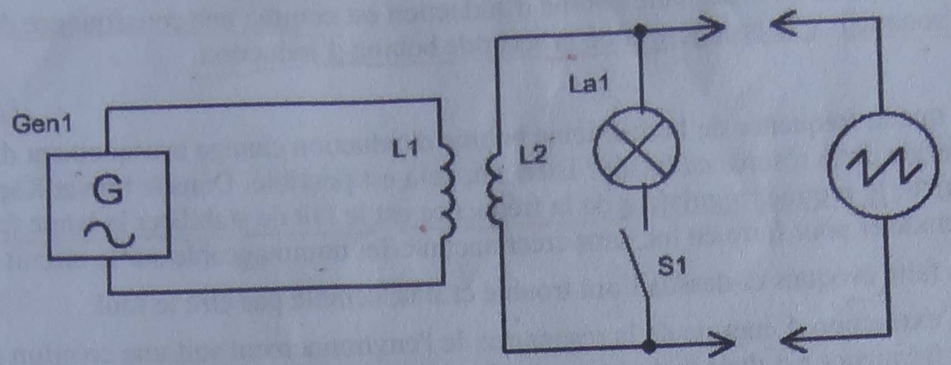

What is happening?

We can see the same resonance environment, just a lot better, because the generator, in the absance of the capacitance, not only is pushing the environment in one direction, but also pulling it in the other.

I can see the fluctuating environmental process' optimal power.

I immediately we think about adding a small consumer using this energy...

To do this, I add an incandecent light bulb to the coil and can see that it lights slightly.

But at this moment I can see that my generator started to extract from the grid power equal to the power of the incandecent light bulb.

At the same time the resonance in the local environment started to drag and I understood that in the environment of the local resonance appeared, according to N. Tesla definition - friction!

All my addings created in the cercuit created a simple transformer and my free energy was disrupted and disappeared.

With a shame I realize, that the most important thing was disrupted - the resonance of the local environment!!!

FREE ENERGY CAN BE EXTRACTED FROM THE RESONANCE ENVIRONMENT ONLY UNDER CONIDTION NOT TO DISRUPT THE RESONANCE !!! NOW, HOW WE DO THAT ??!!

VI. EVOLUTION OF THE DIEA ...

In this case in our help comes Rithmodinamics of U. Ivanov.

Ivanov describes the following develpment.

When in the Ukrainian common energy grid, inherited from the former USSR, the frequency

3) Changeurs de fréquence "Super Hétérodynes" ??

4. L'extraction de puissance de la seconde bobine d'induction est comme une conséquence de la différence entre la fréquence de résonance de la première et de la seconde bobine d'induction.

Pourrait-il arriver que la fréquence de la deuxième bobine d'induction change brusquement dans telle façon d'attirer toute l'énergie de la résonance locale? Bien sûr, cela est possible. Dans le brevet Kapanadze, il y a une description à ce sujet : le premier régulateur de la fréquence est le fait de stabiliser la haute fréquence créée accordée à la demande et pour faire en lui, sans créer aucun effet dommageable sur le circuit de sortie.

Apparemment, les faits évoqués ci-dessus l'ont troublé et il ne semble pas être le seul.

Il se pourrait que l'extraction d'énergie de la résonance de l'environnement soit une création également de résonance, mais la fréquence est dans le domaine de Hz et du dixième de Hz, divergentes de la fréquence de la résonance, créée par la première bobine d'induction.

Quelle devrait être la construction du schéma électrique et quel devrait être la différence dans la fréquence pour remplir ces conditions : nous allons le définir ensuite.

VIII. TROISIEME RESONANCE : LA RESONANCE DE CHARGE

Complétons tout ce qui précède et ajoutons une ampoule de lumière incandescente sur la deuxième bobine, tout revient comme avant d'être, on obtient le même simple transformateur de base et avec lui un mauvais sentiment, que, sans la présentation expérimentale vidéo de Tariel Kapanadze, nous aurions pu arrêter notre effort dans cette direction.

Mais nous continuons à développer notre pensée. Qui nous dit que si l'on ajoute l'ampoule de lumière incandescente sur la deuxième bobine, nous n'allons pas changer et détériorer les conditions de la résonance dans l'environnement ? Même si la deuxième bobine a sa fréquence de résonance calée sur la fréquence de résonance pertinente de la première bobine d'induction. L'origine du problème est claire, elle sera détériorée parce que la deuxième résonance de «bonnes pulsations » se transforme en friction! La même ampoule qui a été utilisée avant quand nous l'avons connectée en parallèle sur l'oscilloscope. Comment pouvons-nous faire? Comment pouvons-nous enlever cette friction? En fait, nous n'avons pas besoin de l'enlever! Qu'est-ce que le courant électrique? Selon l'Institut Militarty : le Proffessor-Major montre le déplacement du courant à travers le schéma électrique: depuis la borne positive de la source de puissance, jusqu'à l'ampoule incandescente ou un autre schéma, et après que la terre, la terre est une source d'énergie. Donc, qu'est le courant électrique ? Est-il seulement un flux de particules chargées, d'électrons à travers le circuit électrique? La meilleure définition semble être donnée par Horowitz et Hill, les auteurs du best- seller « L'art de l'électronique ». Le courant électrique, c'est la vitesse de déplacement d'une charge électrique à un point. Donc, nous avons un problème à résoudre: allumer l'ampoule incandescente. Comment pouvons-nous le faire?

1. Appliquer la différence de potentiel d'une source de courant continu, par exemple un accumulateur.
2. Appliquer la différence de potentiel alternative du réseau électrique.
3. Mais nous pouvons le faire d'une manière différente : connecter l'ampoule de lumière incandescente sur une bobine reliée à un circuit à haute fréquence et l'ampoule de lumière incandescente s'allume sans appliquer de différence de potentiel! Dans ce dernier cas, il n'y a pas courant électrique allant au sol, la source de potentiel de la terre. Dans ce cas, les charges, les électrons, rebondissent à une fréquence élevée et vont briser le filet de cristal du métal. C'est une bonne chose.

Si l'on ajoute une autre ampoule de lumière incandescente au circuit, en prenant des câbles depuis l'ampoule de lumière qui se trouve dans l'inductance et en les reliant à une deuxième ampoule de lumière située en dehors de l'inductance : la seconde ampoule de lumière ne s'allume pas complètement mais chauffe à peine. La seconde ampoule ne sera pas pleinement allumée, parce que la puissance des particules chargées en agitation ne suffit pas pour créer une agitation dans les particules chargées dans le petit volume de la chaîne de la deuxième ampoule incandescente. Nous voyons à nouveau le processus exact de friction. Mais si nous connectons l'une des connexions de la deuxième ampoule de lumière incandescente à n'importe quel grand objet en fer, et même mieux, à la terre, comme le fait M. Kapanadze dans le film, alors le tableau change immédiatement. Nous avons une grande source libre de particules chargées, c'est notre Terre.

Nous n'avons pas à pousser dedans ou à pousser dehors cette quantité limitée de particules chargées étant dans la petite bobine tungstène de l'ampoule de lumière. Nous créons sur l'extrémité libre, un potentiel opposé, capable d'atteindre des centaines de volts, de la même manière car il est en cours de création dans la petite bobine de tungstène située dans l'inductance à haute fréquence. La chose la plus importante que nous recherchons, est de créer, lorsque nous avons volume illimité de particules chargées provenant d'un gros objet,

coils!!!

Could it happen so that the frequency of the second induction coil abruptly changes in a such a way so to attract the entire eneryg from the local resonance?
Of course it can!!!
In Kapanadze's patent there is a description about that:
The first regulator of the frequency (7) is stabalizing the created high frequency according with the demand and make order in it, WITHOUT CREATING ANY HARMFULL EFFECT ON THE EXIT CIRCUIT.
Aparently, the mentioned above was troubling him and seems not only ones ...
It could be sed that extracting energy from the resonance of the environment is creating also resonance, but it frequency is in the realm of Hz and tenth of Hz, divergent from the frequency of the resonance, craeted by the first coil.
What should be the electrical schema construction and what should be the difference in the frequency to fulfill these conditions - we will define afterwards.

VIII. THIRD RESONANCE - THE CHARGE RESONACE

Compleating all the above and adding the incandecent light bulb to the econd coil - everthing comes back as it used to be - we get the same basic simple transformer, and with it a bad feeling, that without the recorded experimental presentation from Tariel Kapanadze, we could have stop our efforts in this direction.

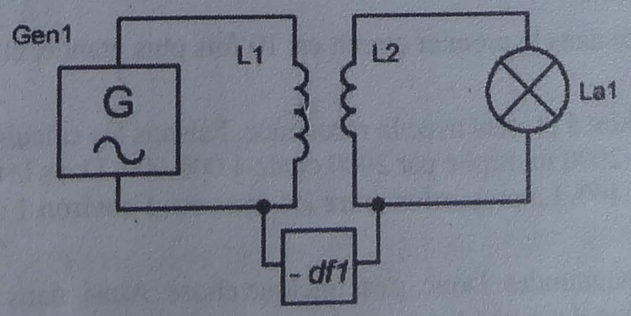

la résonance des particules chargées, dans la masse du fil de cuivre épais, «créée» par la première et la seconde induction. Il n'y a pas de courant électrique dans le sens commun du terme. Il n'y a qu'une "agitation" des particules chargées dans la masse du fil de cuivre épais. Et la charge est attachée à la boîte verte, compte tenu de ces conclusions. C'est pourquoi, "l'agitation" des électrons dans la masse du gros fil, qui a une seconde extrémité absolument nécessairement connectée à la terre, peut être créée lorsqu'une seule extrémité de la seconde bobine d'induction est attachée à elle à travers la charge. Le plus important est qu' il n'y ait pas d'obstacles en cas de friction, pour voir apparaître la troisième résonance : la résonance des particules chargées. Avec votre permission messieurs, je le répète une fois de plus: il n'y a pas de courant électrique, comme c'est défini dans sens commun : il n'y a que des frictions. C'est pourquoi la prise de sortie exposée dans la boite verte est basée sur la haute fréquence. La charge la plus optimale dans ce cas est la charge active (non réactive), ce qui est exactement la nature de la charge d'une ampoule incandescente. Ce fait crée par lui-même une manière totalement nouvelle de faire face à la charge réactive dans le genre des moteurs électriques et similaires. Mais la meilleure des charges réactives, c'est que dans ce type de circuit, nous pouvons créer une résonance supplémentaire, une résonance spécifique à la charge extraite. Nous demandons nous-mêmes la question pertinente suivante: comment faire pour joindre la large diffusion du travail du moteur en courant alternatif en 50 Hz à ce type de circuit électrique? Pour ce faire, M. Kapanadze utilise un onduleur en 50 Hz, comme c'est spécifié sur le schéma de brevet au numéro 11.

IX. ALORS, QU'EST CE QUE NOUS AVONS ?

Nous avons examiné trois conditions, trois systèmes résonants, qui doivent être mis en place afin d'obtenir de l'énergie libre.

1°.Une haute tension et un environnement de haute fréquence résonnante, créés dans la première bobine d'induction.

2°. Une résonance à haute fréquence dans la seconde bobine d'induction, mais cette résonance doit être en basse tension et avoir une fréquence et une puissance différentes par rapport à la résonance dans la première bobine d'induction.

3°.Une résonance galvanique des particules chargées dans le corps du fil de cuivre épais,

mis à la terre à une extrémité pour recevoir le montant illimité de particules chargées afin de lutter contre la loi du processus de friction dans la résonance galvanique. Parce que dans les appareils mis au point tout s'influence mutuellement et le processus de friction de la résonance galvanique influence la résonance dans la première bobine d'induction.

4°. De façon spécifique et différente de la méthode traditionnelle, le mode de connexion de la charge de travail.

Ce qui suit est très intéressant pour régler le ratio de la puissance résonante dans la première et seconde bobine :

Constatant que la boîte verte a un éclateur d' environ 1 mm à 1,5 mm d'entrefer, la tension doit être de l'ordre de 2000 Volts. La fréquence appliquée à l'éclateur devrait être d'environ 150.000 à 200.000 Hertz.

Cela vient à calculer le courant : 5000 watts divisé par 220 volts égale 23 ampères, c'est exactement ce que l'ampèremètre affiche dans le film.

Il advient alors que la puissance dans le premier circuit est 10 fois plus grande, et elle est de l'ordre de 50.000 watts.

Est-ce vrai? Ici nous avons affaire à présent avec la résonance. Faisons les calculs d'une façon différente. Dans la première bobine nous avons 2000 multiplié par 2000 égale 4.000.000. Dans la deuxième bobine nous avons 220 multiplié par 220 égale 48.400. La proportion entre les deux est d'environ 1 à 82. Ou approximativement 100 fois.

Il s'agit d'une différence de 2 magnitudes. Donc, c'est quelque chose. Ainsi, dans l'environnement résonant local de la première bobine d'induction il y a une pulsation de puissance de 500.000 watts, et nous pouvons extraire la toute petite puissance de 5.000 watts. On peut comparer avec le bruit fait par une formation militaire (100 soldats) de sorte qu'on ne sent pas le manque d'un homme (5000 watts).

Regardons maintenant la fréquence :

Si, dans la « résonance hohlatski » la diminution de la fréquence dans le système énergétique a été de 0,5 hertz, c'est 1% de 50Hertz. 1% de 200.000 hertz égale 2.000 hertz.

Il arrive que la fréquence de la deuxième bobine est 100 fois plus petite, donc de l'ordre de 2.000 hertz. Il semble qu'il ya une dépendance définie entre la puissance et la fréquence. Mais c'est pour les futures recherches.

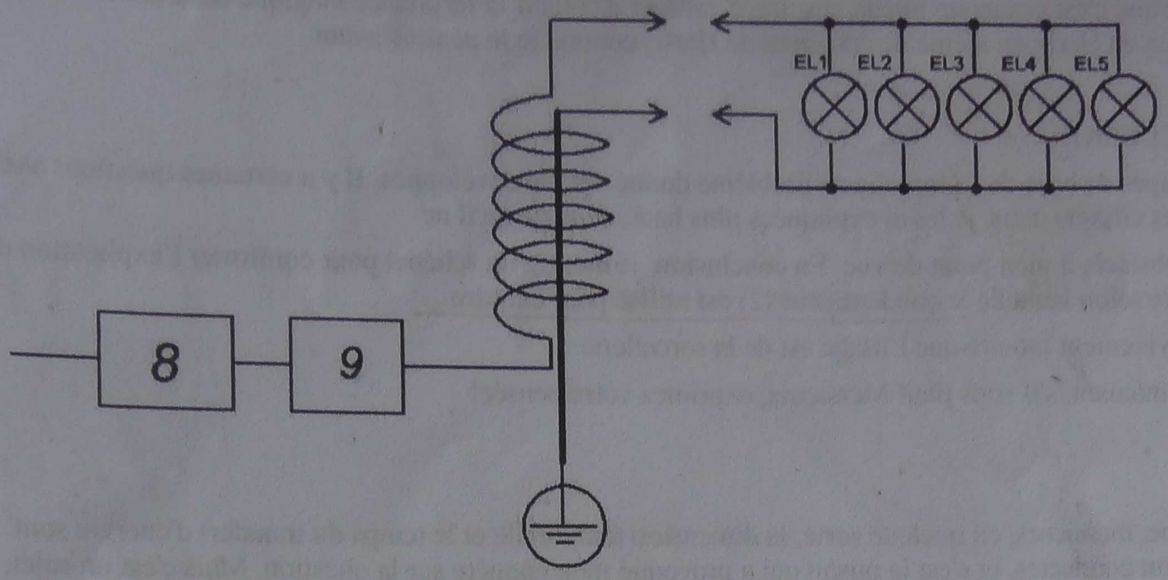

The most important is that, there is no obsticles in case of friction, for appearance of the third resonance - the resonance of the charged particles.

With your permission gentelemnt, I repeat one more time: there is no electrical current, as is nown in the common sence, only frictions. This is why the outlet exposed by the green box is high frequency based!

The most optimal load in this case is the active load, witch is exactly what is the nature of the load of an incandecent light bulb.

This fact creates by itself a toataly new way of dealing with the ractive load in the kind of electrical motors and similar. But the best of the reactive loads is that in this type of circuit we can create an additional resonance, a resonance specific to the load extracted!

We are asking ourselfes the next relevant question: how to attach the wide spread alternating current motor working on 50 Hz to this type of electric circuit?

To do this, Mr. Kapanadze is using a common amplitude modulator for 50 Hz, noted on the patent schema as number 11.

IX. SO, WHAT DO WE HAVE?

We looked at tree conditions, tree resonant systems, that need to be in place in order to get free energy.

Il semble que c'est beaucoup mieux ensuite, d'essayer d'obtenir la résonance magique dans la deuxième bobine d'induction en Hertz ou même des dizaines de Hertz, comme je le pensais avant.

X. CONCLUSION

Les principes de base de l'approche du problème donné ont été développés. Il y a certaines questions avec la théorie des circuits mais, je les ai expliquées plus haut, de sorte qu'il ne

font pas obstacle à mon point de vue. En conclusion, je montre un schéma pour confirmer l'explication de Kapanadze selon laquelle le condensateur (2) est utilisé pour extraire ...

"Et voici vivement montré que l'usage est de la sorcellerie.

Donc, maintenant, s'il vous plaît Messieurs, exprimez votre pensée!

P.S

En principe, messieurs, en quelque sorte, la dimension temporelle et le temps du transfert d'énergie sont étrangement connectés, et c'est la raison qui a provoqué mon enquête sur la question. Mais c'est un sujet, pour une conversation beaucoup plus sérieuse.

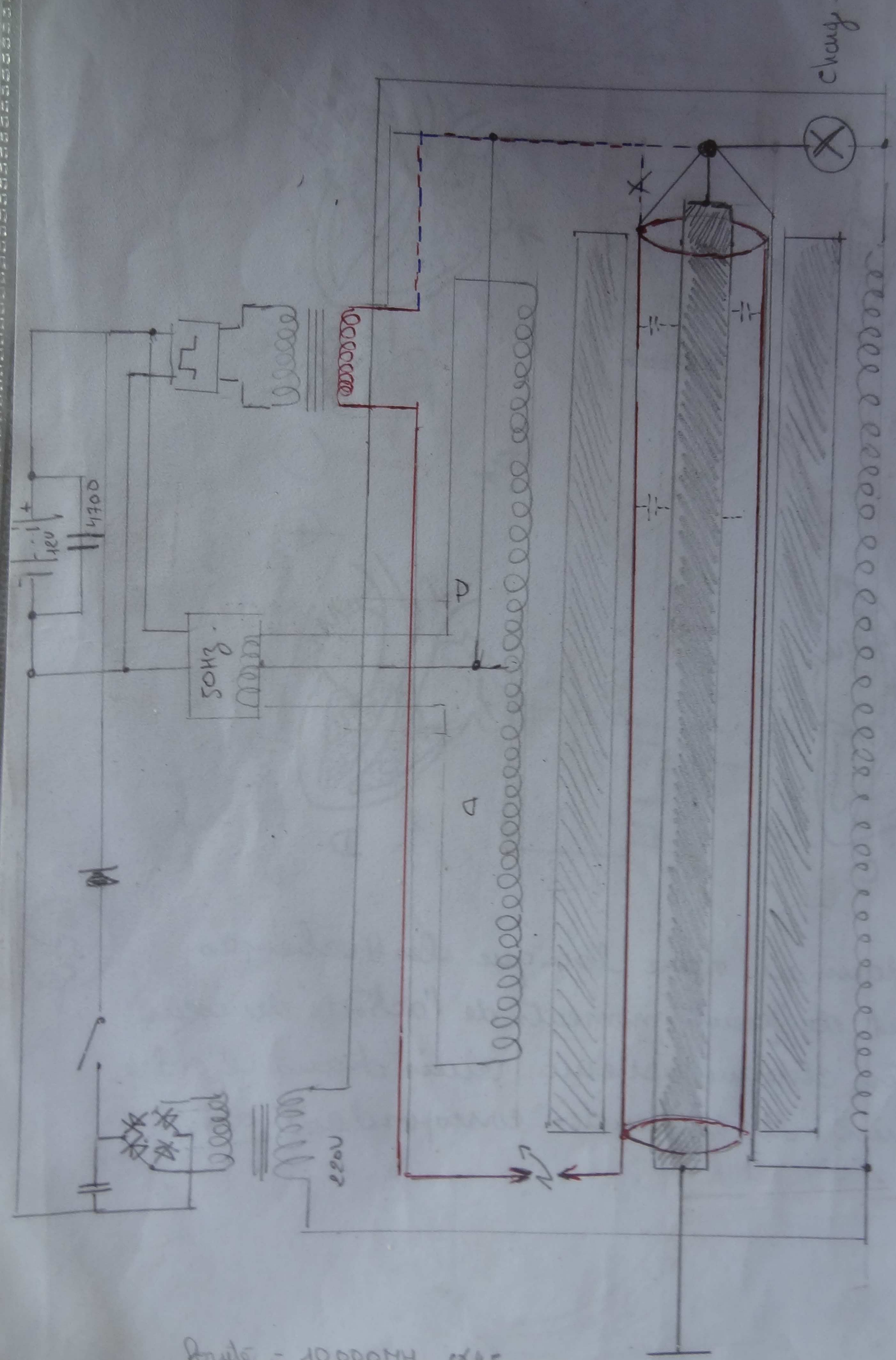

Pouté = 10000MH

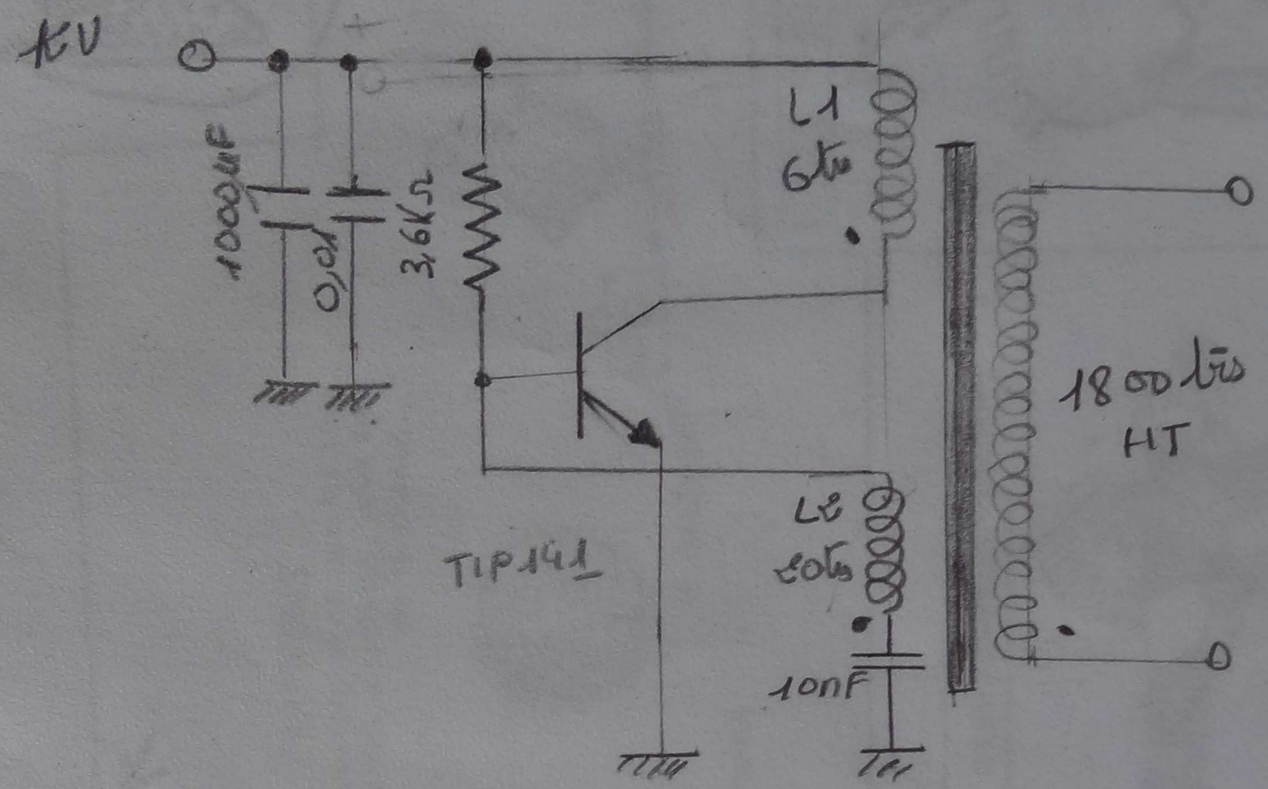
KV
1000µF
0,01
3,6KΩ
L1
6tr
1800 trs
HT
L2
20tr
10nF
TIP141

TIP14C_ 147 - (complementaire) clarlingtons (L34)

VEBmax		100V
VCE	"	100V
VEB	"	05V
TC	max	10A
P TOT		125 WC
H Fc		500MN
TC POUR HFE		10A

TIP141_ ou 14C

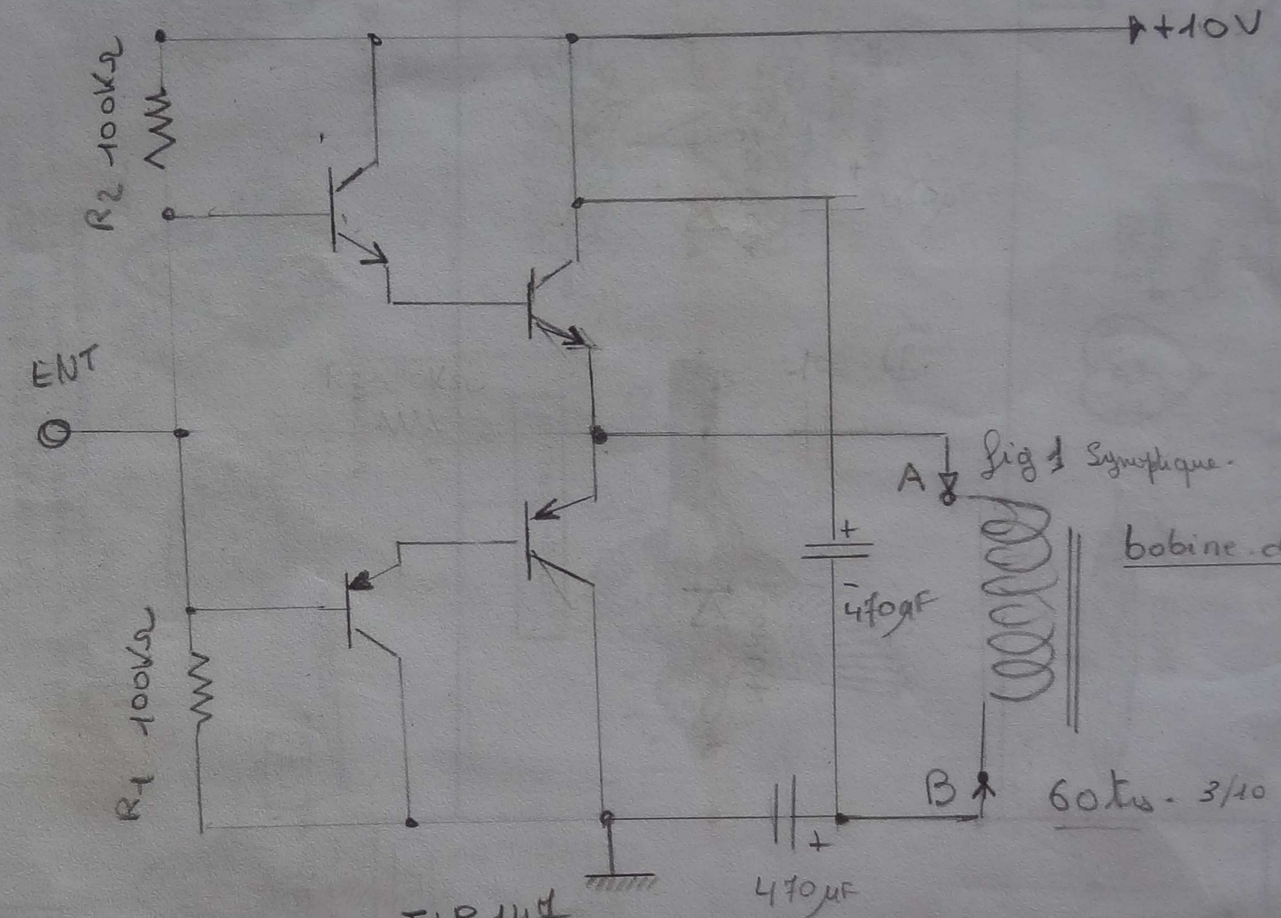

fig 1 Synoptique.

bobine de Modulation

60 tr - 3/10

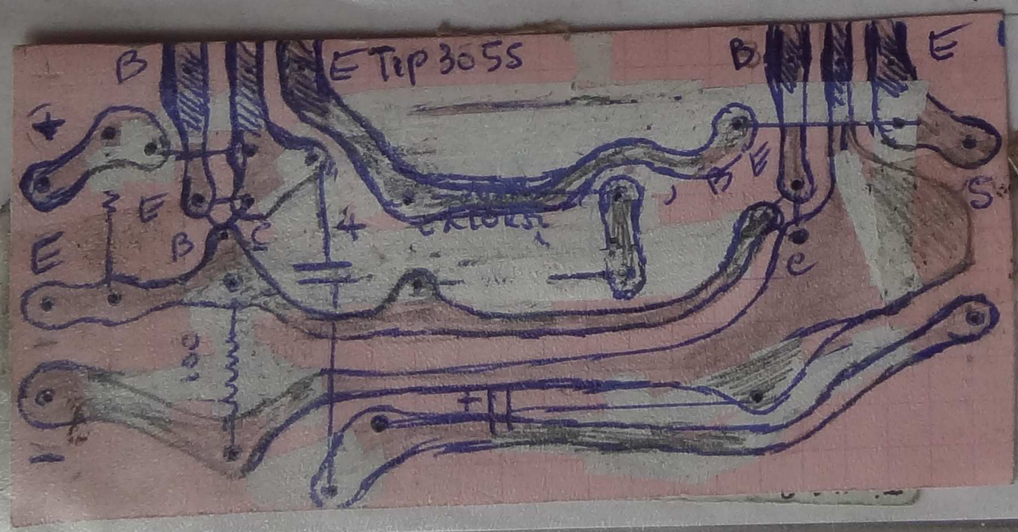

ération 50Hz, classe B.

fig 2

Version 1

Pic1.GIF (Image GIF, 2633x609 pixels) - Redimensionnée (51%)

http://ut27972.narod.ru/Book_2/85_Book_2_part_85.files/Pic1.GIF

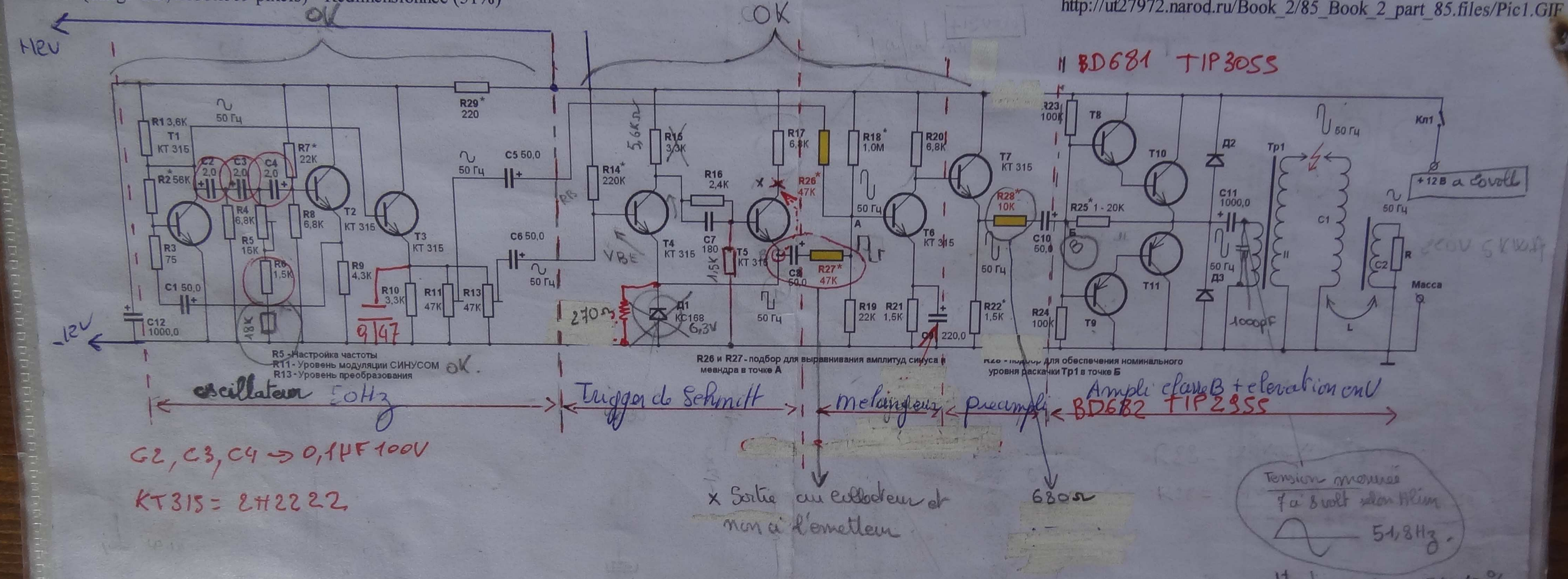

• T0 [illegible] T8 - T10 = TIP 142 (NPN) Darlington
• L34 T9 - T11 = TIP 147 (PNP) "
Gain = 1000

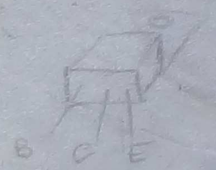

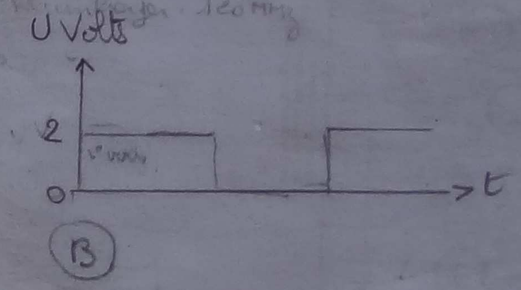

Mesures oscillo Schlumberger 2×100 MHz

Pic1.GIF (Image GIF, 2633x609 pixels) - Redimensionnée (51%) http://ut27972.narod.ru/Book_2/85_Book_2_part_85.files/Pi GIF

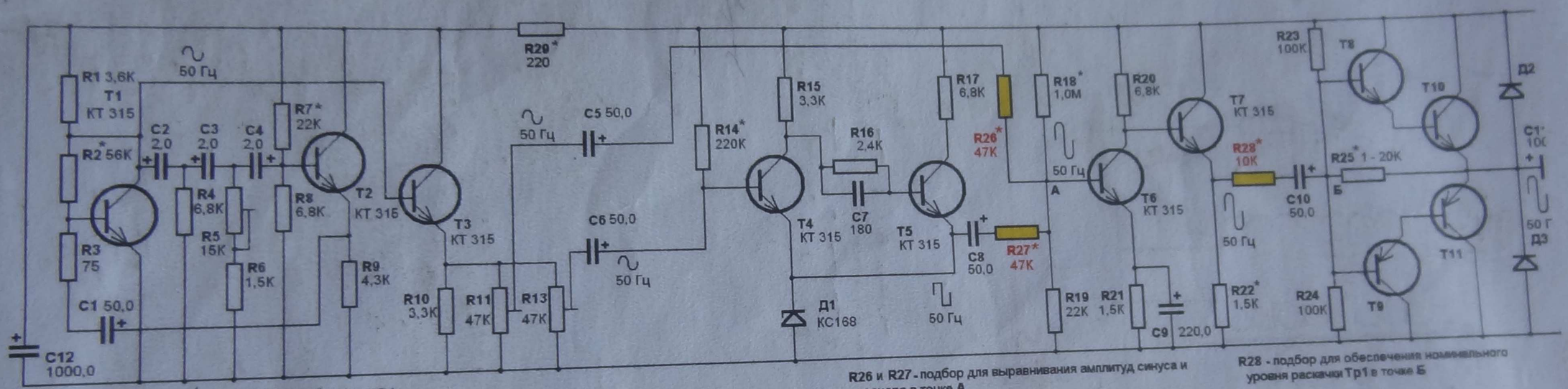

R5 - Настройка частоты
R11 - Уровень модуляции СИНУСОМ
R13 - Уровень преобразования

R26 и **R27** - подбор для выравнивания амплитуд синуса и меандра в точке А

R28 - подбор для обеспечения номинального уровня раскачки Тр1 в точке Б

Pic1.GIF (Image GIF, 2633x609 pixels) - Redimensionnée (51%)

http://ut27972.narod.ru/Book_2/85_Book_2_part_85.files/Pic1

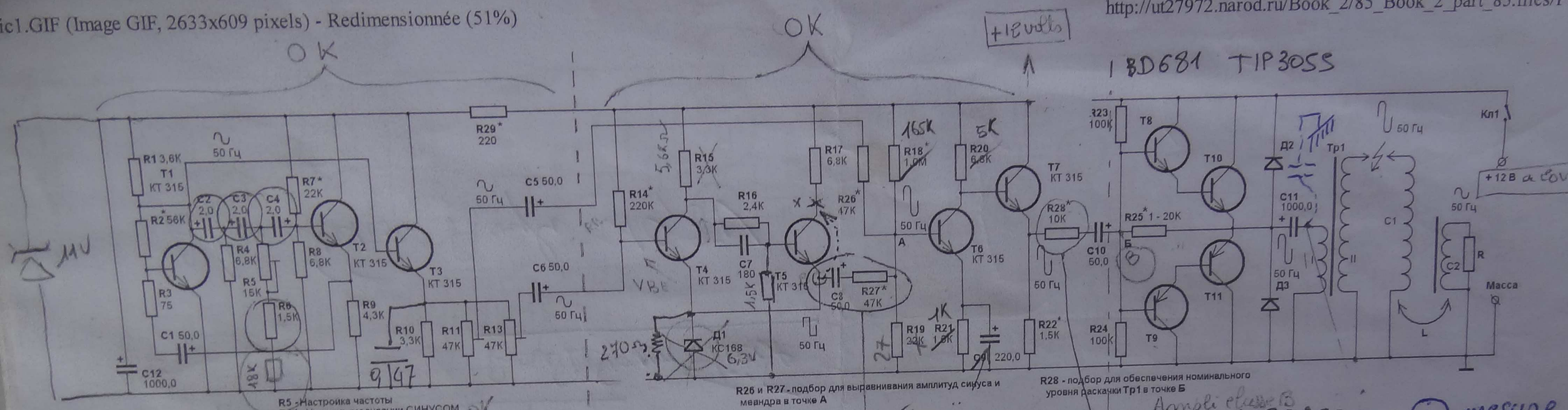

C2, C3, C4 → 0,1MF 100V

KT315 = 2N2222

- TO247 T8-T10 = TIP142 (NPN) Darlington
- L34 T9-T11 = TIP147 (PNP) "

Gain = 1000

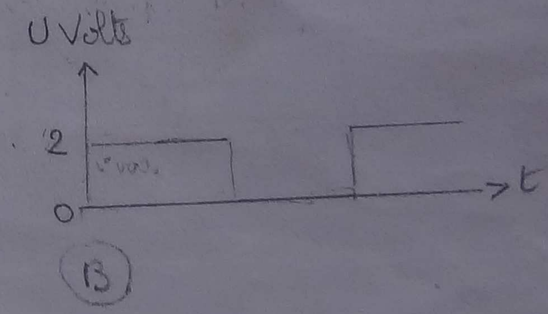

Верхний ряд - ФОРМЫ модулирующих напряжений, создающих ИСКРОВОЙ ПРОБОЙ в среде.

Нижний ряд - ФОРМЫ демодулированных (продетектированных) токов в соленоиде С2.

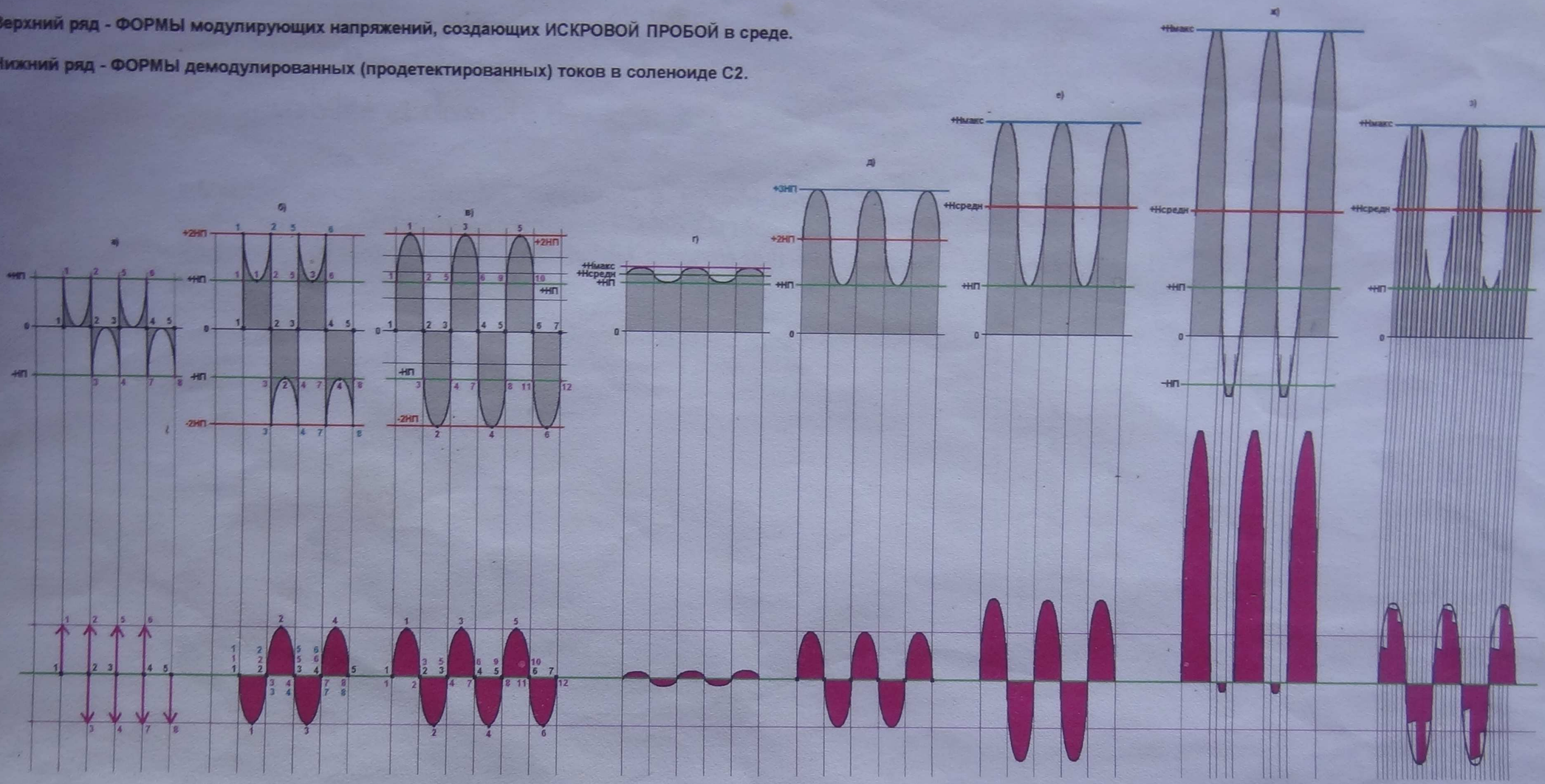

http://ut27972.narod.ru/Book_2/85_Book_2_part_85.files/Pic2.JPG

АНАЛОГОВЫЙ канал возбудителя, генерируемая форма сигнала - МЕАНДР С ЯМКАМИ

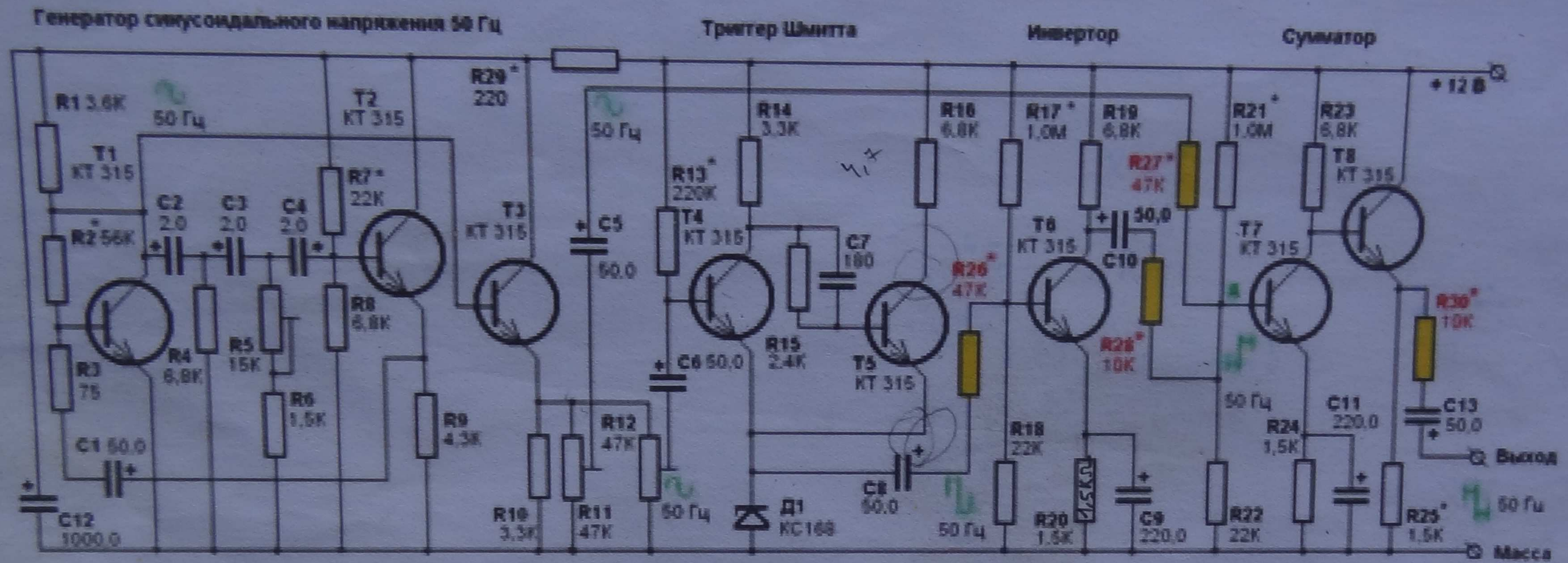

R5 - Настройка частоты
R11 - Уровень модуляции СИНУСОМ
R12 - Уровень преобразования

R27 и R28 - подбор для выравнивания амплитуд синуса и меандра в точке А
R26 - подбор для развязки каскадов

R30 - подбор для обеспечения номинального уровня раскачки Тр1 в точке Б

EC EC CC

Ce montage semble plus cohérent que le précédent et surtout plus en accord avec la valeur de C9 (220µF) ce qui conduit au signaux - - - - - - - - et pas du tout aux signaux ... comme indiqué sur le précédent schémas